

# DIE LUNGENPHTHISE

ERGEBNISSE VERGLEICHENDER  
RÖNTGENOLOGISCH-ANATOMISCHER  
UNTERSUCHUNGEN VON

S. GRÄFF UND L. KÜPFERLE

BILDERTEIL

# DIE LUNGENPHTHISE

ERGEBNISSE VERGLEICHENDER  
RÖNTGENOLOGISCH=ANATOMISCHER  
UNTERSUCHUNGEN

VON

SIEGFRIED GRÄFF  
A. O. PROFESSOR DER PATHOLOG. ANATOMIE  
HEIDELBERG

LEOPOLD KÜPFERLE  
A. O. PROFESSOR DER INNEREN MEDIZIN  
FREIBURG I. B.

MIT 221 BILDERN  
10 PHOTOGRAPHISCHEN TAFELN  
UND 8 STEREOSKOPENBILDERN  
IN BESONDEREM BANDE · SOWIE  
3 FARBIGEN BILDERN IM TEXT

BILDERTEIL



SPRINGER-VERLAG BERLIN HEIDELBERG GMBH 1923

ISBN 978-3-642-98633-8      ISBN 978-3-642-99448-7 (eBook)  
DOI 10.1007/978-3-642-99448-7

ALLE RECHTE, INSBESONDERE DAS DER ÜBERSETZUNG IN  
FREMDE SPRACHEN, VORBEHALTEN.

COPYRIGHT 1923 BY SPRINGER-VERLAG BERLIN HEIDELBERG  
URSPRÜNGLICH ERSCHIENEN BEI JULIUS SPRINGER IN BERLIN 1923  
SOFTCOVER REPRINT OF THE HARDCOVER 1ST EDITION 1923

## Inhaltsverzeichnis.

	Bild	Textseite
<b>Normales Thoraxbild mit Lappengrenzen und Feldereinteilung</b> . . . . .	1	8—10
<b>Einheitsbilder:</b> Der exsudative Herd . . . . .	2—4	47
Die produktive Herdbildung . . . . .	5—7	47—48
Der indurierte Herd und die Zirrhose . . . . .	8—11	48—49
Die frisch entstandene Kaverne . . . . .	12—14	49—50
Die abgekapselte Kaverne . . . . .	15—17	50
 <b>Bilder zum Fall 1—52:</b>		
Fall 1: Hämato-gen-disseminierte azinös-produktive Phthise (Miliartuberkulose)	18—21	51—52
Fall 2: Über beide Lungen ausgebreitete azinös-nodöse und nodös-indurierende Phthise; Höhlenbildungen in den oberen Teilen beiderseits . . . . .	22—24	52—54
Fall 3: Hämato-gen-disseminierte produktiv-nodöse Phthise (großknotige „Miliar“-Tuberkulose) . . . . .	25—26	54—56
Fall 4: Lobulär-exsudative Phthise der ganzen linken Lunge und der oberen Hälfte der rechten Lunge. Kavernen in den oberen Teilen beiderseits. Emphysem der basalen Lungenteile rechts . . . . .	27—30	56—58
Fall 5: Hämato-gen-disseminierte azinös-exsudative und azinös-produktive Phthise. Kleine Höhlenbildungen in der rechten Lungenspitze . . . . .	31—34	58—60
Fall 6: Zirrhötisch-kavernöse Phthise der rechten Lunge mit Pleuraobliteration und Brustkorbschrumpfung; zirrhötische Phthise der mittleren Teile der linken Lunge (sog. Hilusausbreitung) . . . . .	35—38	60—63
Fall 7: Indurierend-zirrhötische Phthise der ganzen rechten Lunge; Höhlenbildungen in den oberen Teilen. Pleuraobliteration mit Thoraxschrumpfung und Zwerchfellpleuraschwarte. Indurierend zirrhötische Phthise der oberen Hälfte der linken Lunge. Emphysem der basalen Lungenteile links . . . . .	39—42	63—67
Fall 8: Lobulär-exsudativ-käsige Phthise der ganzen rechten Lunge mit großer Höhlenbildung in den oberen Teilen. Induration des Lungengewebes medial von der Höhle. Vereinzelte, über die rechte Lunge verstreute nodöse Herde. Nodös-produktive Phthise der mittleren und unteren Teile der linken Lunge. Schrumpfung der rechten Seite infolge Pleuraobliteration . . . . .	43—49	67—71
Fall 9: Nodöse und nodös-indurierende Phthise beider Lungen. Kavernen in beiden Spitzenteilen. Indurierend-zirrhötische Herde in den oberen und mittleren Teilen der rechten Lunge. Pleuraobliteration rechts mit sekundärer Schrumpfung . . . . .	50—53	71—73
Fall 10: Lobulär-exsudative und nodös-indurierende Phthise der rechten Lunge mit großer Kaverne. Pleuraobliteration und geringe Thoraxschrumpfung rechts. Vorwiegend nodöse Phthise der linken Lunge. Randständiger Pleuraerguß links . . . . .	54—57	73—77
Fall 11: Lobulär bzw. lobär-exsudative Phthise mit großer Höhlenbildung in den oberen Teilen der rechten Lunge . . . . .	58—60	77—80

	Bild	Textseite
Fall 12: Lobulär-exsudative Phthise mit Höhlenbildung in den oberen Teilen der rechten Lunge. Nodös-indurierte Herde in den mittleren und unteren Teilen der rechten Lunge. Ausgedehnte fibrös abgekapselte Höhlen in den oberen Teilen der linken Lunge. Indurierte und verkäste Herde in den oberen Teilen der linken Lunge. Emphysem der basalen Teile beiderseits. Brustkorbschrumpfung bei Pleuraobliteration links . . .	61—64	80—83
Fall 13: Hämatogen-disseminierte, tuberkulär-exsudative Phthise (Miliartuberkulose). Geschwollene Hiluslymphknoten . . . . .	65—66	83—84
Fall 14: Hämatogen-disseminierte produktive Phthise (Miliartuberkulose). Vergrößerte paratracheale Lymphknoten . . . . .	67—69	84—86
Fall 15: Hämatogen-disseminierte, produktiv-nodöse Phthise (Miliartuberkulose)	70—72	86—87
Fall 16: Hämatogen-disseminierte, azinös-produktive Phthise (Miliartuberkulose). Serös-fibrinöse Perikarditis. Kleiner serös-fibrinöser Pleuraerguß beiderseits . . . . .	73—76	87—89
Fall 17: Nodös-indurierende beidseitige Lungenspitzenphthise. Kreideherd in den oberen Teilen der rechten Lunge; verkreidete Lymphknoten rechts (Primärkomplex) . . . . .	77—79	90—91
Fall 18: Vereinzelt indurierte Herde in der rechten Lungenspitze und in den mittleren Teilen beider Lungen. Indurierte bzw. verkäste Lymphknoten beiderseits. Pleuraobliteration links mit geringer Thoraxschrumpfung	80—83	91—93
Fall 19: Nodös-indurierende und lobulär-exsudative beidseitige Spitzenphthise mit kleiner Kaverne in der rechten Spitze . . . . .	84—87	93—95
Fall 20: Nodös-produktive Phthise beider Lungen. Große Lymphknotenpakete, besonders paratracheal und im rechten Hilusgebiet . . . . .	88—91	96—98
Fall 21: Nodös-indurierende Phthise beider Lungen. Große, von induriertem Gewebe umgebene Höhle in den oberen Teilen rechts . . . . .	92—96	98—102
Fall 22: Lobulär-exsudative und nodöse Phthise der linken Lunge; nodöse und lobulär-exsudative Phthise der rechten Lunge mit Kaverne; rechtsseitiger Pleuraerguß . . . . .	97—100	102—104
Fall 23: Beidseitige indurierend-zirrhatische Phthise, links über die ganze Lunge ausgebreitet mit zahlreichen Kavernen. Schrumpfung links infolge Pleuraobliteration. Nodös-indurierende Herde in den mittleren Lungenteilen rechts mit Emphysem . . . . .	101—104	105—107
Fall 24: Indurierend-zirrhatische Phthise beider Lungen, links über die ganze Lunge ausgebreitet mit Pleuraobliteration und Thoraxschrumpfung; rechts über die obere Hälfte ausgebreitet. Höhlenbildungen in den oberen Teilen beiderseits. Nodös-indurierende Herde rechts unten . .	105—109	107—111
Fall 25: Diffuse, zirrhatische Phthise der linken Lunge; Kavernenbildung in den oberen und mittleren Teilen. Pleuraobliteration und sekundäre Thoraxschrumpfung links. Herdförmig indurierend-zirrhatische Phthise der rechten Lunge. Emphysem in den mittleren und basalen Teilen der rechten Lunge . . . . .	110—113	111—114
Fall 26: Indurierend-zirrhatische Phthise in den oberen Teilen beider Lungen; rechts oben exsudative Veränderungen mit Zerfallshöhle. Nodös-indurierende Herde in den mittleren Teilen der rechten Lunge. Beidseitiger Zwerchfellhochstand . . . . .	114—117	114—117
Fall 27: Indurierend-zirrhatische Phthise in den oberen Teilen beider Lungen; nodös-indurierende Herde in den mittleren und basalen Teilen beiderseits. Emphysem beider Lungen. Herzvergrößerung (kleiner Herzbeutelerguß) . . . . .	118—120	117—119
Fall 28: Diffuse zirrhatische Phthise der ganzen rechten Lunge mit Kavernen in den oberen und basalen Teilen. Pleuraobliteration und starke Schrumpfung der rechten Thoraxseite. Nodös-indurierende Phthise der oberen Hälfte der linken Lunge mit Zirrhose und Kavernen in den Spitzen. Starkes Emphysem der linken Lunge . . . . .	121—125	120—122

	Bild	Textseite
Fall 29: Zirrhotische Phthise der kranialen Teile beider Lungen mit Kavernen. Indurierend-zirrhotische Herdbildungen in den mittleren und basalen Teilen der rechten Lunge. Emphysem in den mittleren Teilen der rechten und in den mittleren und basalen Teilen der linken Lunge. Pleuraobliteration mit Thoraxschrumpfung rechts . . . . .	126—129	123—125
Fall 30: Diffuse, indurierend-zirrhotische Phthise der ganzen rechten Lunge mit Höhlenbildungen in den oberen Teilen. Vorwiegend indurierend-zirrhotische Phthise der linken Lunge. Verkäste Herde zwischen den Indurationen. Schrumpfung der rechten Thoraxseite durch Pleuraobliteration . . . . .	130—134	125—129
Fall 31: Über beide Lungen ausgebreitete, vorwiegend lobulär-exsudative bzw. exsudativ-käsige Phthise. In den oberen Teilen beiderseits auch indurative Veränderungen. Kavernensystem in den oberen Teilen der linken Lunge. Kaverne in den Spitzenteilen rechts. Pleuraschwarte und Schrumpfung links oben . . . . .	135—137	129—132
Fall 32: Lobär-käsige Phthise der ganzen linken Lunge mit ausgedehnten Zerfallshöhlen. Lobulär-exsudative Herde in den oberen und in den mittleren Teilen der rechten Lunge . . . . .	138—140	132—135
Fall 33: Lobär-käsige Phthise der ganzen linken Lunge mit ausgedehnten Zerfallshöhlen. Lobulär-exsudative und vereinzelte azinös-nodöse Herde in der rechten Lunge . . . . .	141—143	135—137
Fall 34: Lobär-exsudative Phthise der rechten Lunge; Höhlenbildung in den oberen Teilen. Exsudative und indurierende Herdbildungen in den oberen Teilen der linken Lunge. Nodöse, nodös-indurierende und exsudativ-käsige Herde in den mittleren Teilen und in den medial gelegenen basalen Teilen der linken Lunge . . . . .	144—147	138—140
Fall 35: Lobär-exsudative Phthise der linken Lunge mit Höhlenbildungen. Indurierte Herde in der rechten Lungenspitze. Verkreidete und verkäste Lymphknoten rechts . . . . .	148—152	141—143
Fall 36: Über die obere Hälfte beider Lungen ausgebreitete, vorwiegend lobulär-exsudative Phthise mit großen Höhlenbildungen in den oberen und seitlichen Teilen beider Lungen. Vereinzelte nodöse und nodös-indurierende Herde in den mittleren Teilen beider Lungen. Pleuraobliteration beiderseits. Emphysem in den basalen Teilen beider Lungen . . . . .	153—157	144—148
Fall 37: Indurierend-zirrhotische Phthise beider Lungen mit großen Höhlenbildungen. Exsudativ-käsige Herde zwischen den indurierten Herden. Emphysem der basalen Lungenteile mit erweiterten, gestreckten Gefäßen . . . . .	158—161	148—151
Fall 38: Indurierend-zirrhotische Phthise der oberen Teile beider Lungen mit großen Höhlenbildungen. Emphysem der basalen Teile beiderseits mit erweiterten Gefäßen . . . . .	162—164	151—154
Fall 39: Lobulär- bzw. lobär-exsudative Phthise der linken Lunge; große Höhlenbildung in den oberen Teilen. Lobulär-exsudative Phthise der oberen Teile der rechten Lunge mit großer Höhlenbildung. Nodöse und nodös-indurierende Herde in den mittleren und unteren Teilen der rechten Lunge . . . . .	165—168	154—157
Fall 40: Große, von fibrösem Gewebe umgebene Höhle in den oberen Teilen der rechten Lunge. Indurative Veränderungen in den vorderen und neben dem Herzen gelegenen Teilen der rechten Lunge. Kleine Höhle in der linken Lungenspitze. Indurative und zirrhotische Veränderungen in den oberen Teilen der linken Lunge. Frische exsudative Veränderungen in den basalen Teilen der linken Lunge . . . . .	169—171	157—160
Fall 41: Nodös-indurierende Phthise der ganzen rechten Lunge; Höhle in der Spitze. Große, über zwei Drittel der linken Lunge einnehmende Höhle der linken Lunge. Induration der basalen Lungenteile . . . . .	172—176	161—164

	Bild	Textseite
Fall 42: Lobär bzw. lobulär-exsudative Phthise der ganzen linken Lunge; große Höhlenbildungen in den oberen und mittleren Teilen. Schrumpfung der linken Thoraxseite infolge Pleuraobliteration. Nodös-indurierende Herde in den oberen Teilen, azinös-nodöse Herde in den mittleren Teilen der rechten Lunge . . . . .	177—178	164—166
Fall 43: Linksseitiger Pleuraerguß mit teilweiser Kompression der linken Lunge. Geringe Rechtsverdrängung des Herzens . . . . .	179—182	166—168
Fall 44: Linksseitiger Pleuraerguß und Herzbeutelerguß . . . . .	183—187	169—170
Fall 45: Großer linksseitiger Pleuraerguß, Rechtsverdrängung des Mediastinums. Vereinzelte nodöse und nodös-indurierende Herde in der rechten Lunge	188—190	171—172
Fall 46: Lobär-käsige Phthise (käsige Pneumonie) der ganzen linken Lunge. Zerfallshöhlen in den oberen und unteren Teilen der linken Lunge. Partieller Pneumothorax links mit Rechtsverdrängung des Herzens. Zahlreiche nodöse und nodös-indurierende Herde in den oberen und mittleren Teilen der rechten Lunge. Kleine Zerfallshöhle. Schrumpfung der linken Brustkorbseite . . . . .	191—195	172—175
Fall 47: Linksseitige nodös-indurierende Phthise mit Spitzenkaverne. Rechtsseitiger Pyopneumothorax . . . . .	196—199	175—178
Fall 48: Rechtsseitiger Pyopneumothorax. Starke Linksverlagerung von Herz und Mediastinum . . . . .	200—203	179—182
Fall 49: Partieller linksseitiger Pneumothorax mit eitrigem Erguß. Rechtsverlagerung des Herzens . . . . .	204—206	182—184
Fall 50: Lobär- bzw. lobulär-exsudative Phthise (käsige Pneumonie) in den oberen Teilen der linken Lunge mit kleinen Zerfallshöhlen in den Spitzenteilen. Vereinzelte nodös-indurierende Herde in den mittleren Teilen der rechten Lunge. Linksseitiger Pleuraerguß (auf dem Röntgenbilde nicht dargestellt) . . . . .	207—210	184—186
Fall 51: Lobulär-exsudative Phthise der ganzen linken Lunge. Höhlenbildungen in den oberen Teilen. Vereinzelte lobulär-exsudative Herde in den Spitzenteilen und in den unteren Teilen der rechten Lunge. Große paratracheale Lymphknotenpakete . . . . .	211—213	187—189
Fall 52: Käsige Phthise der ganzen rechten Lunge. Großes System von Zerfallshöhlen in den oberen Teilen der rechten Lunge. Zerfallshöhle in den Spitzenteilen der linken Lunge. Nodöse Herde in den oberen, mittleren und unteren Teilen der linken Lunge. Primärkomplex links . . . . .	214—221	189—193

#### Photographische Tafeln (Röntgenbilder) <sup>1)</sup>:

Tafel	I	Einheitsbild: Die exsudativ-käsige Herdbildung . . . . .	2—4	47
		„ Die produktive Herdbildung . . . . .	5—7	47—48
	II	„ Der indurierte Herd und die Zirrhose . . . . .	8—11	48—49
	III	„ Die frisch entstandene Kaverne . . . . .	12—14	49—50
		„ Die abgekapselte Kaverne . . . . .	15—17	50
	IV	Normales Thoraxbild . . . . .	1	8—10
		Fall 1: Hämatogen-disseminierte azinös-produktive Phthise (Miliartuberkulose) . . . . .	18	51—52
	V	„ 2: Azinös-nodöse und nodös-indurierende Phthise mit Höhlenbildungen . . . . .	22—24	52—54
		„ 3: Hämatogen-disseminierte produktiv-nodöse Phthise . . . . .	25—26	54—56
	VI	„ 4: Lobulär-exsudative Phthise mit Kavernen beiderseits . . . . .	27—30	56—58
		„ 5: Hämatogen-disseminierte (vorwiegend) azinös-exsudative Phthise . . . . .	31—34	58—60

<sup>1)</sup> Die photographischen Tafeln können zum Vergleich mit den Bildern der einzelnen Fälle leicht herausgelöst werden.

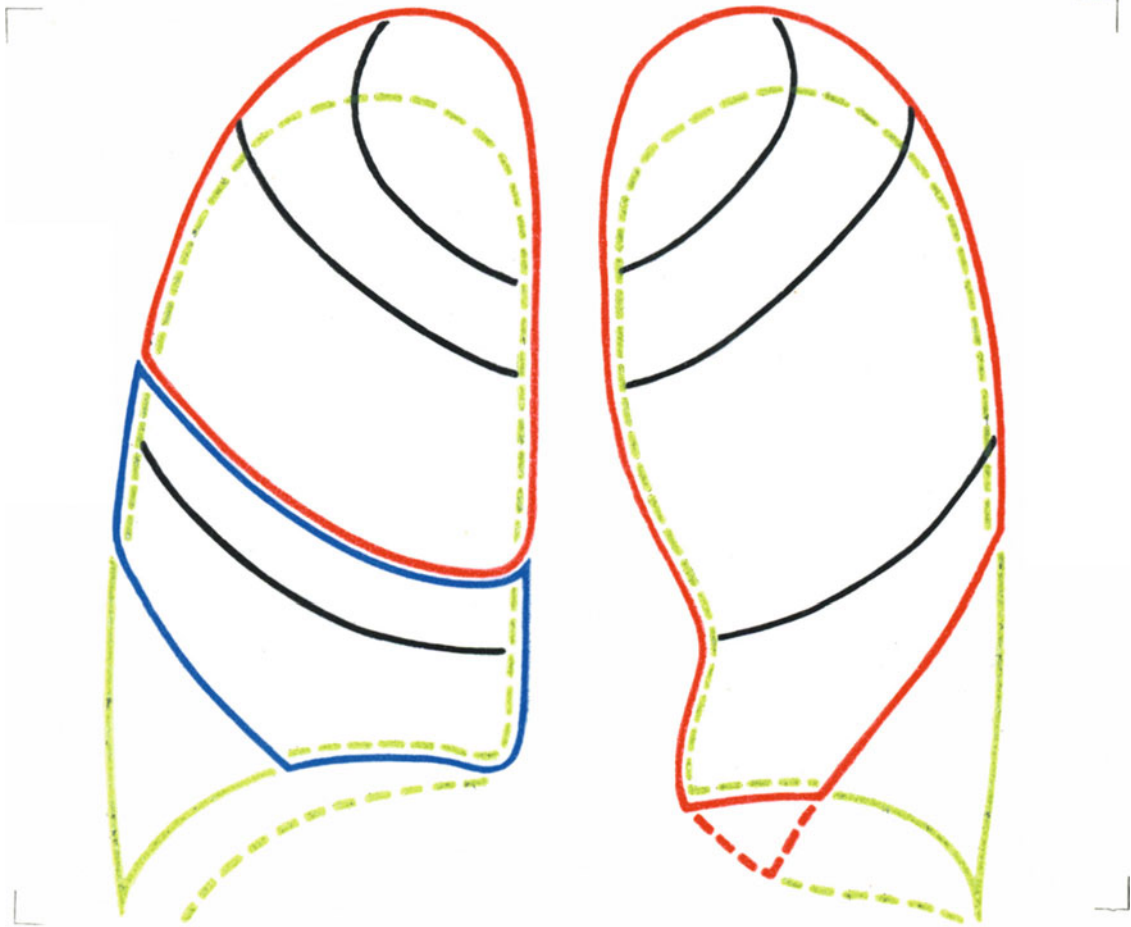
			Bild	Textseite
Tafel VII	Fall 6:	Zirrhötisch-kavernöse Phthise der rechten Lunge. Zirrhötische Phthise der linken Lunge . . . . .	35—38	60—63
„	„	7: Indurierend-zirrhötische Phthise beider Lungen, rechts mit Höhlenbildungen . . . . .	39—42	63—67
„	VIII	„ 8: Rechtsseitige lobulär-exsudative Phthise mit Höhlenbildung. Nodös-produktive Phthise der linken Lunge . . . . .	45—49	67—71
„	IX	„ 9: Nodöse und indurierende Phthise beider Lungen mit Kavernen. Indurierend-zirrhötische Herde rechts . . . . .	50—53	71—73
„	„	10: Lobulär-exsudative und nodös-indurierende Phthise rechts mit Kaverne. Vorwiegend nodöse Phthise links; Pleuraerguß . . . . .	54—57	73—77
„	X	„ 11: Lobulär bzw. lobulär-exsudative Phthise mit Höhlenbildung rechts . . . . .	58—60	77—80
„	„	12: Vorwiegend lobulär-exsudative Phthise mit Höhlenbildung rechts. Abgekapselte Höhlenbildung, indurierte und verkäste Herde links . . . . .	61—64	80—83





**Stereoskopenbilder <sup>1)</sup>:**

Fall 33:	Lobär-käsige Phthise der ganzen linken Lunge mit ausgedehnten Zerfallshöhlen. Exsudativ-käsige und nodöse Herde rechts. Verlagerung des Herzens nach rechts . . . . .	141—143	135—137
„	42: Lobulär- bzw. lobulär-exsudative Phthise der ganzen linken Lunge; völliger kavernöser Zerfall der linken Lunge. Schrumpfung der linken Thoraxseite infolge Pleuraobliteration. Nodös-indurierende Herde in den oberen, azinös-nodöse Herde in den mittleren Teilen der rechten Lunge . . . . .	177—178	164—166
„	44: Linksseitiger Pleura- und Herzbeutelerguß. Hämatogen-disseminierte tuberkuläre Phthise beider Lungen (Miliartuberkulose) . . . . .	183—187	169—170
„	44: Linksseitiger Pleura- und Herzbeutelerguß. Hämatogen-disseminierte tuberkuläre Phthise beider Lungen (Miliartuberkulose) . . . . .	183—187	169—170
„	45: Großer linksseitiger Pleuraerguß. Rechtsverdrängung des Mediastinums mit Verlagerung und Drehung des Herzens. Starker Zwerchfelltiefstand links. Vereinzelt nodöse und nodös-indurierende Herde in der rechten Lunge . . . . .	188—190	171—172
„	49: Partieller linksseitiger Pneumothorax mit Erguß. Erweiterung der linken Brusthöhle mit Zwerchfelltiefstand. Rechtsverlagerung des Herzens . . . . .	204—206	182—184
„	48: Rechtsseitiger Pyopneumothorax, hochgradige Erweiterung der rechten Brusthöhle. Starke Linksverlagerung von Herz und Mediastinum. Zwerchfelltiefstand rechts . . . . .	200—203	179—182
„	48: Rechtsseitiger Pyopneumothorax, hochgradige Erweiterung der rechten Brusthöhle. Starke Linksverlagerung von Herz und Mediastinum. Zwerchfelltiefstand rechts . . . . .	200—203	179—182

<sup>1)</sup> Die Stereoskopenbilder können zum Gebrauch im Apparat leicht herausgelöst werden.





-  Oberlappengrenze
-  Mittellappengrenze
-  Unterlappengrenze
-  Feldereinteilung

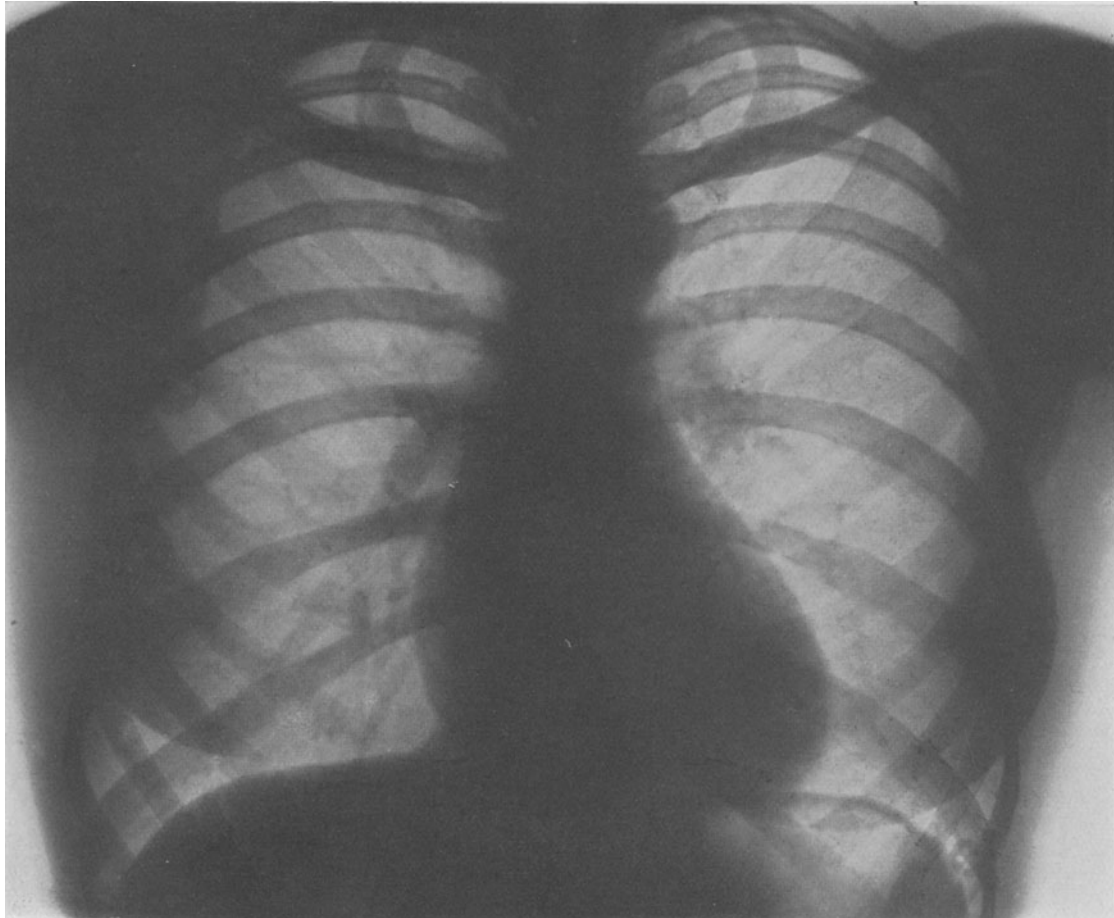


Bild 1. Normales Thoraxbild.

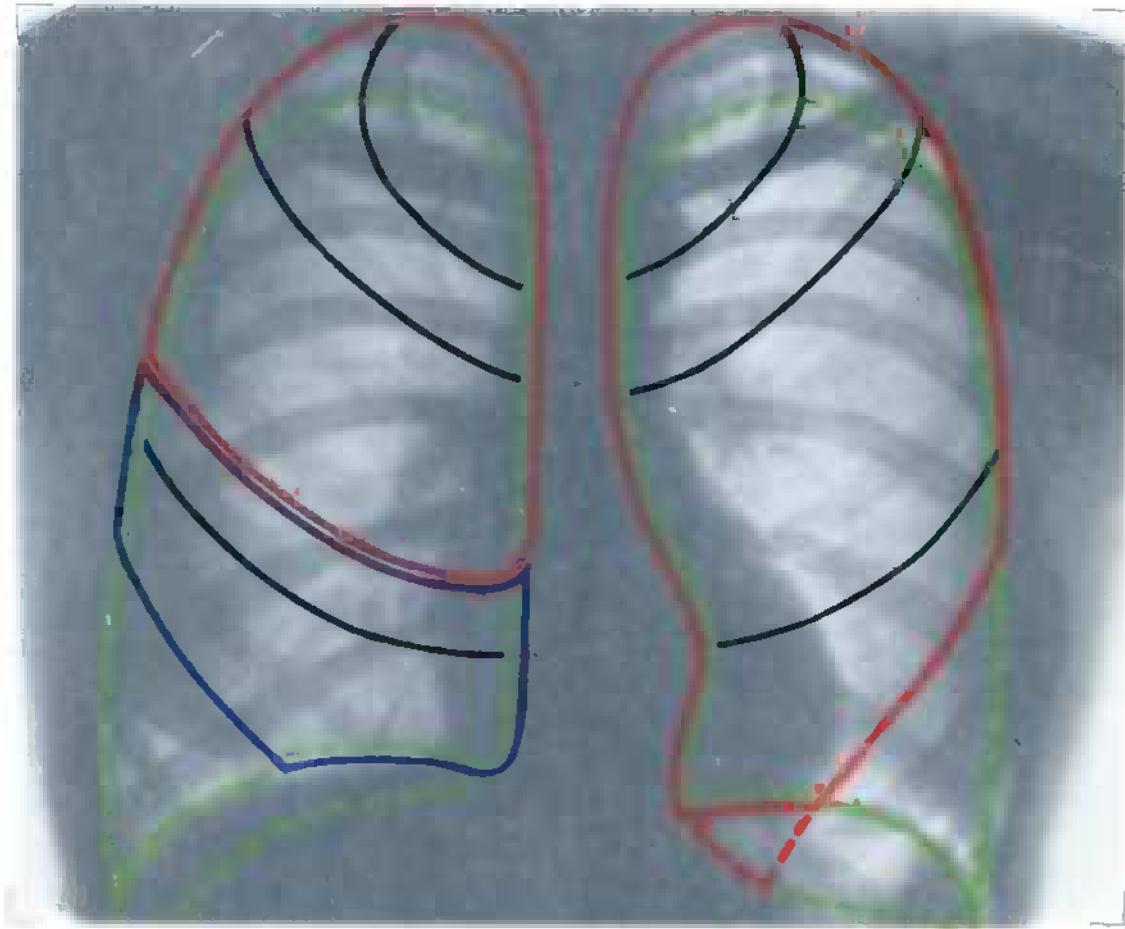






Bild 1. Normales Thoraxbild.

-  Oberlappengrenze
-  Mittellappengrenze
-  Untelappengrenze
-  Feldereinteilung

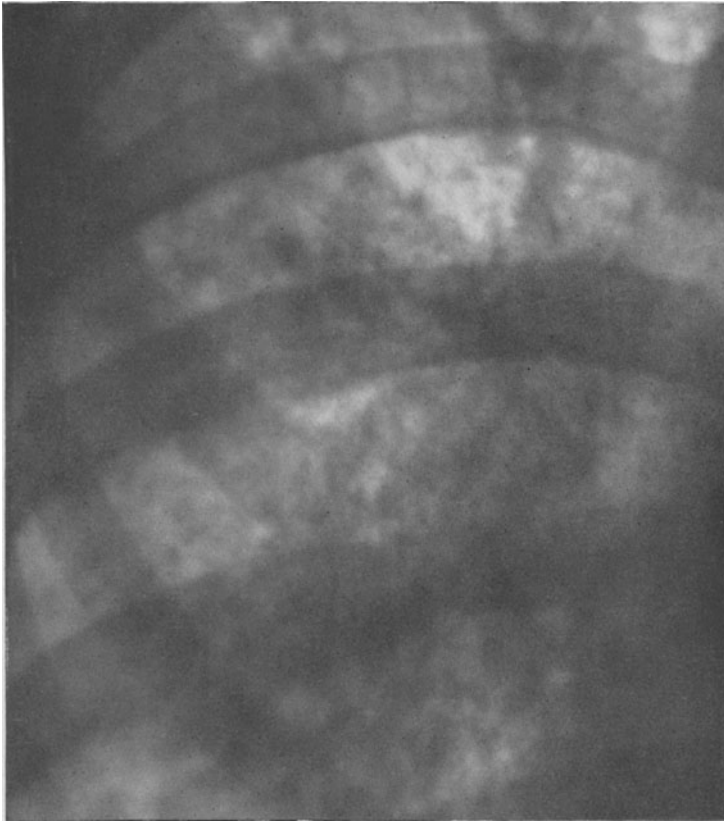


Bild 2.

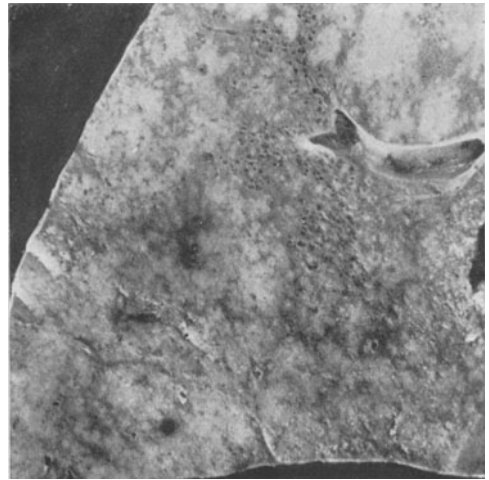


Bild 3.

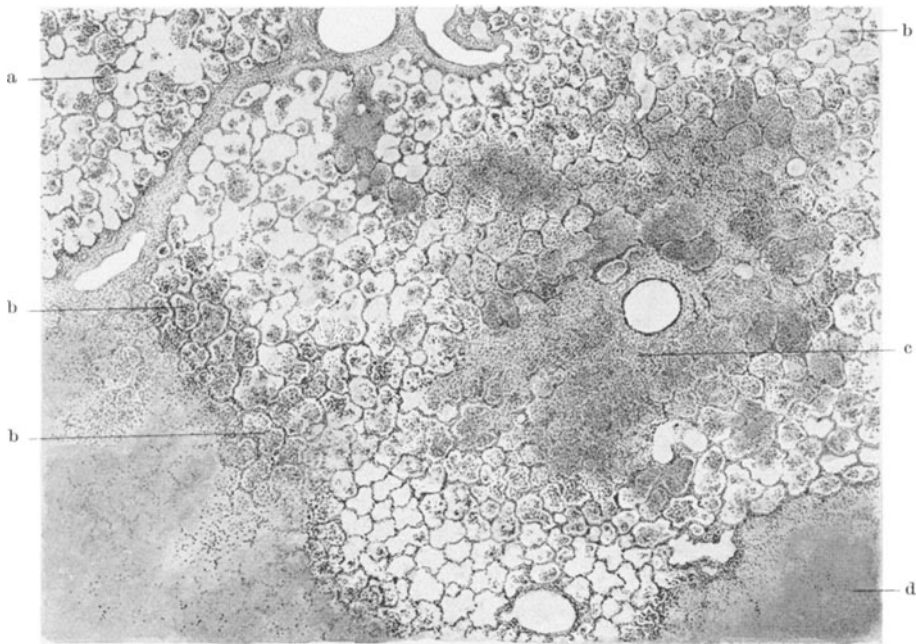


Bild 4.

Die exsudativ-käsige Herdbildung.

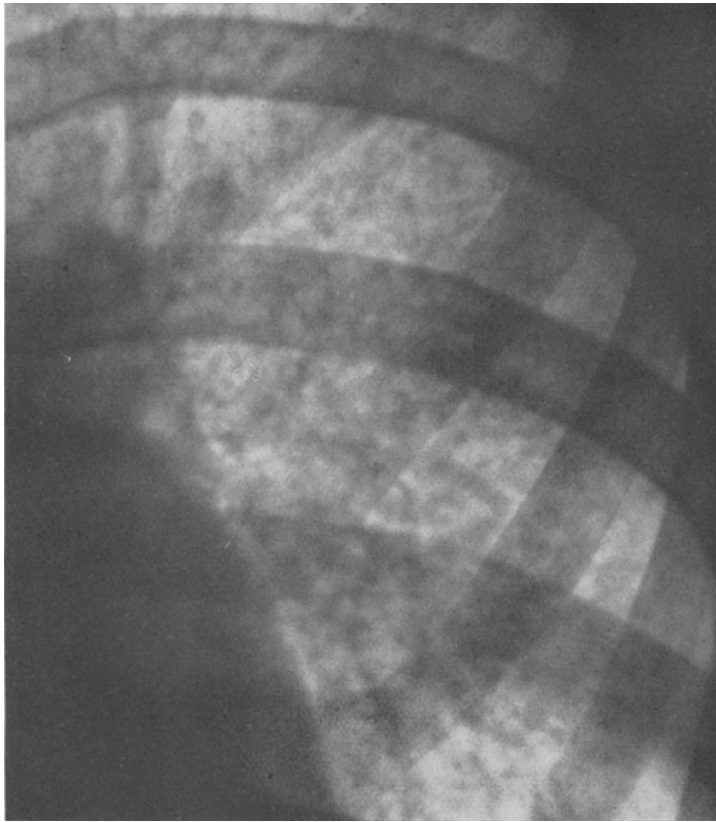


Bild 5.

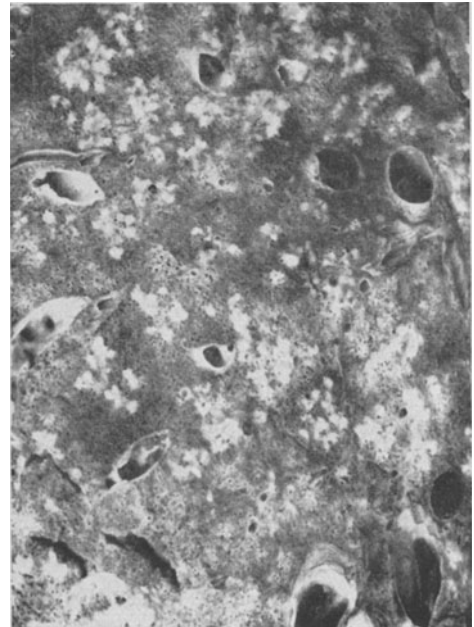


Bild 6.

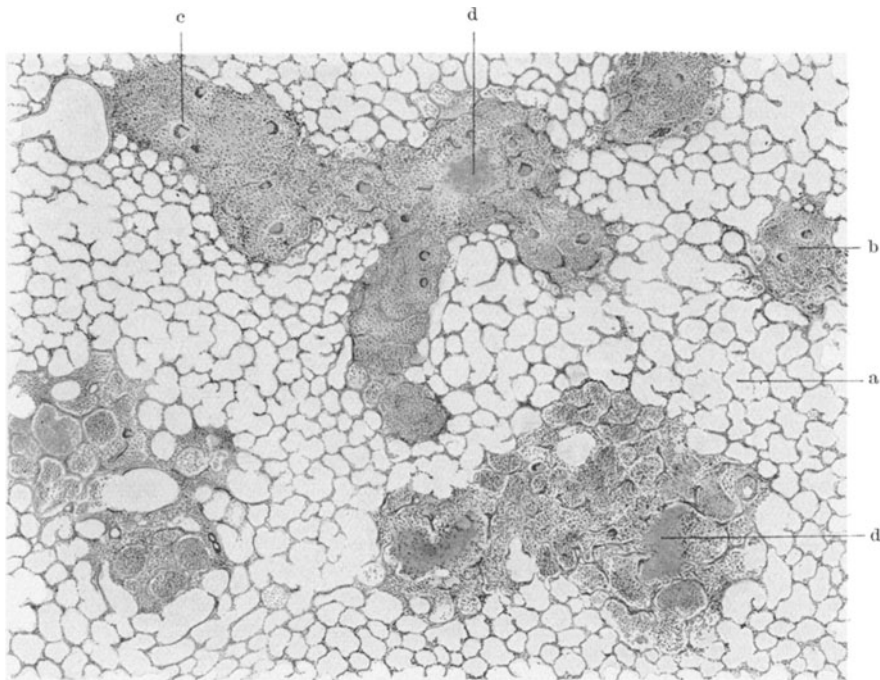


Bild 7.

Die produktive Herdbildung.

*Bild 8—9.*



Bild 8.

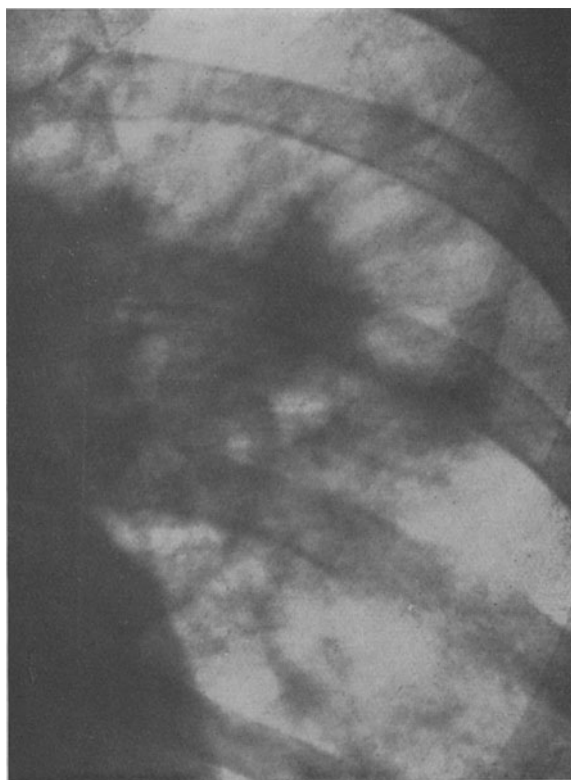


Bild 9.

Der indurierte Herd und die Zirrhose.



Bild 10.

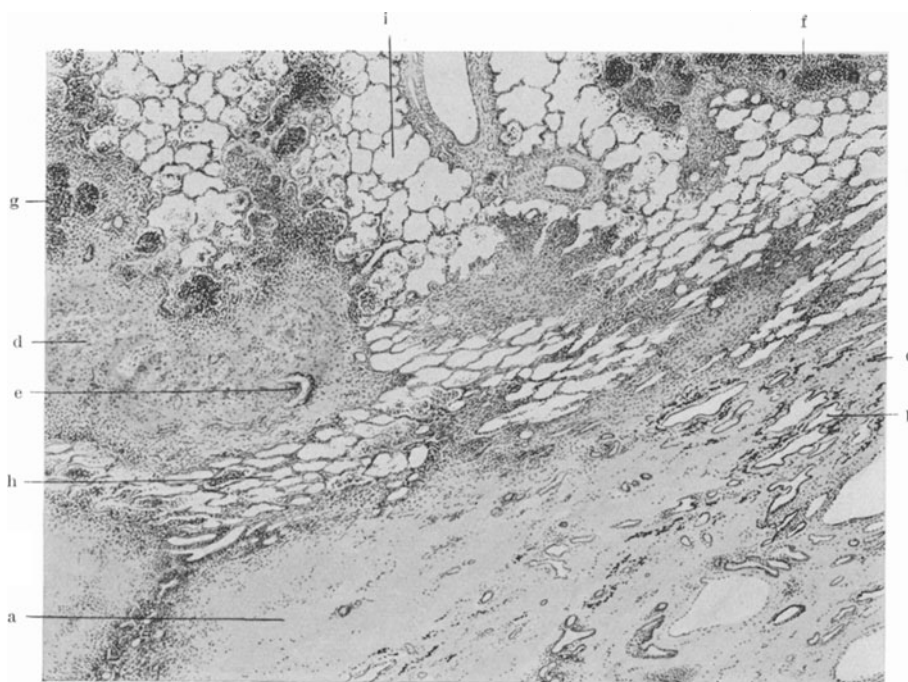


Bild 11.

Der indurierte Herd und die Zirrhose.

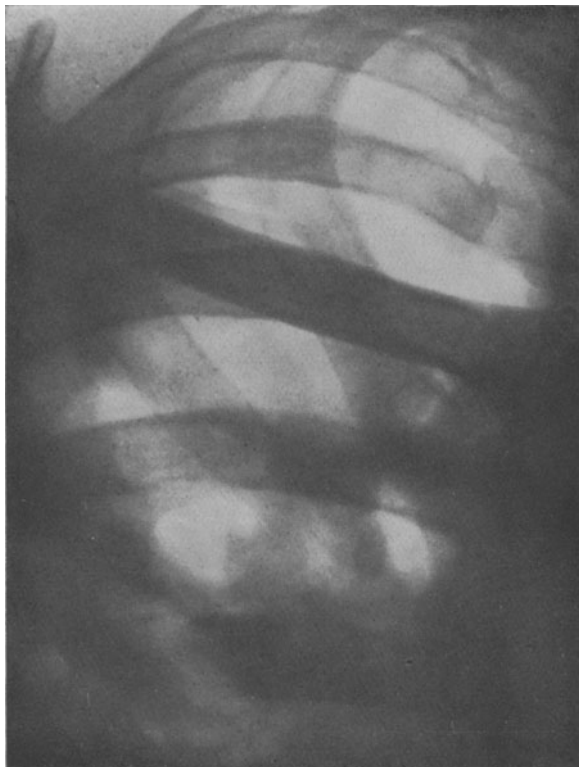


Bild 12.



Bild 13.

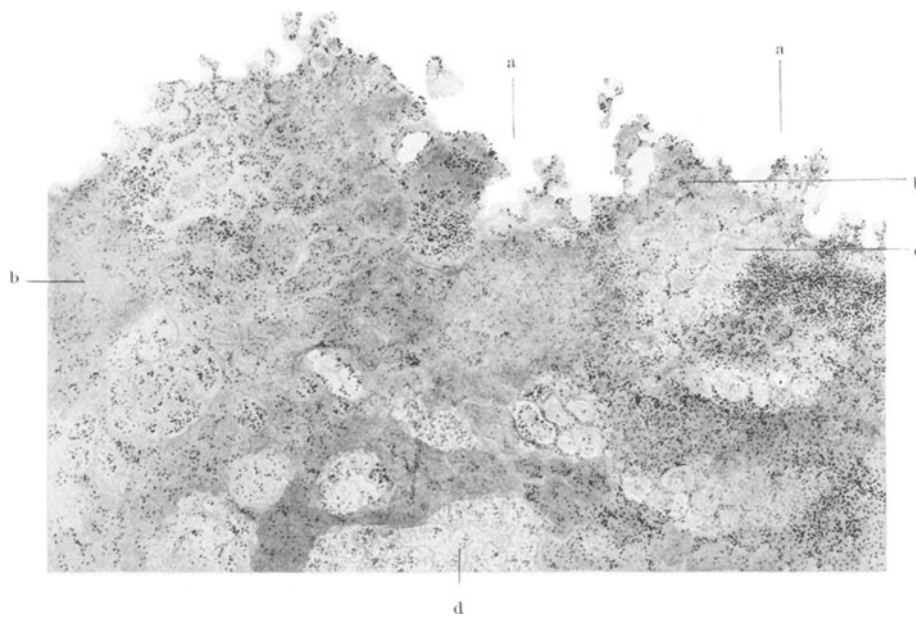


Bild 14.

Die frisch entstandene Kaverne.



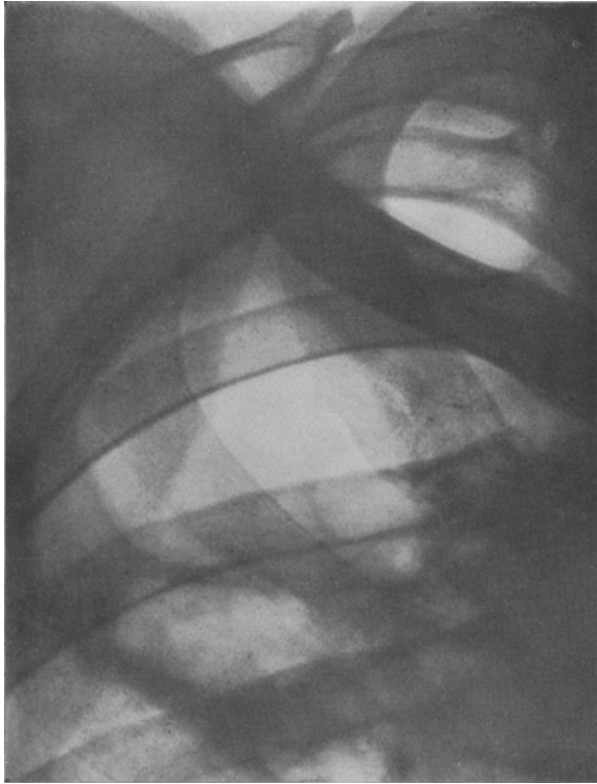


Bild 15.

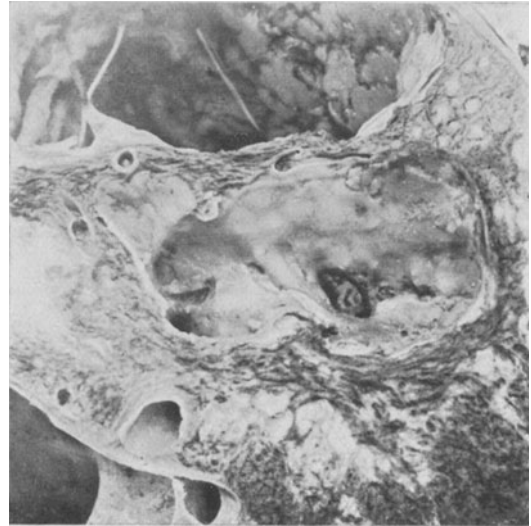


Bild 16.

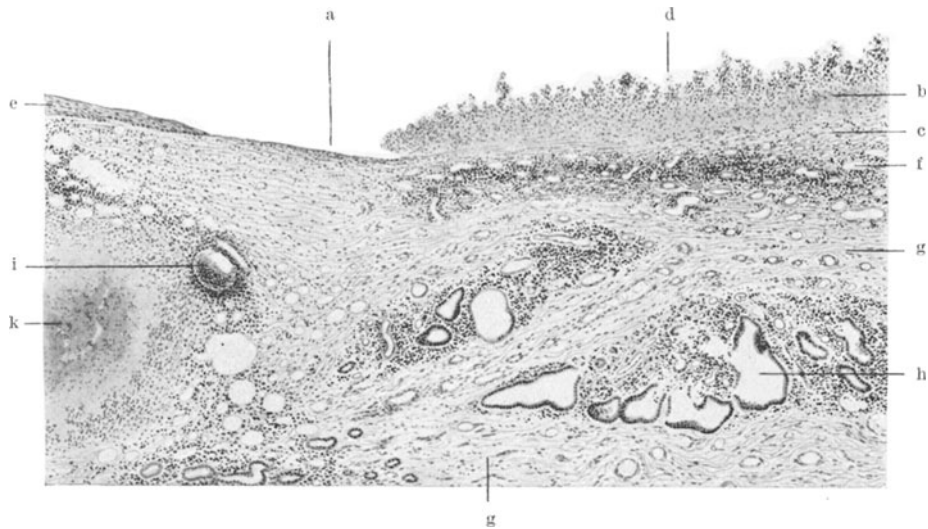


Bild 17.

Die abgekapselte Kaverne.

**Fall 1** (*Bild 18*).



**Bild 18.**



Bild 21.

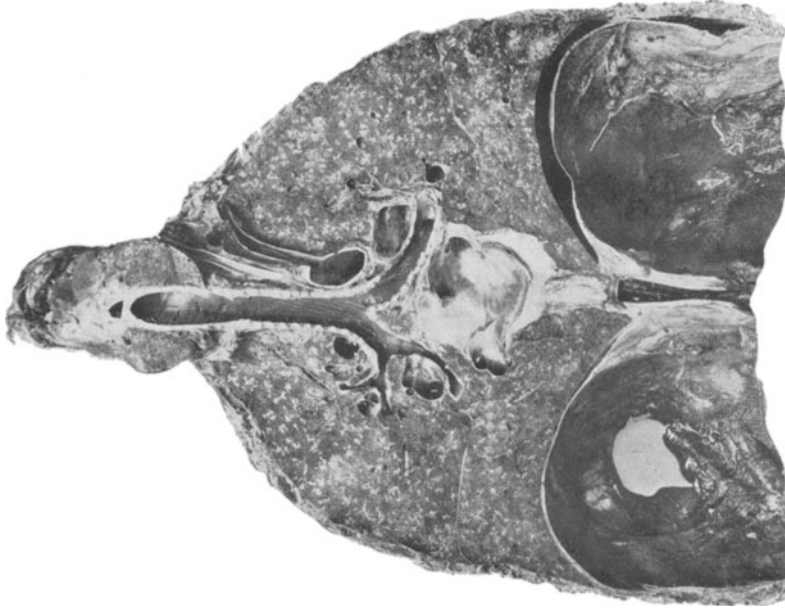


Bild 20.

Hämatogen-disseminierte azinös-produktive Phähise (Miliartuberkulose).



Bild 19.

Fall 2 (*Bild 22*).



Bild 22.

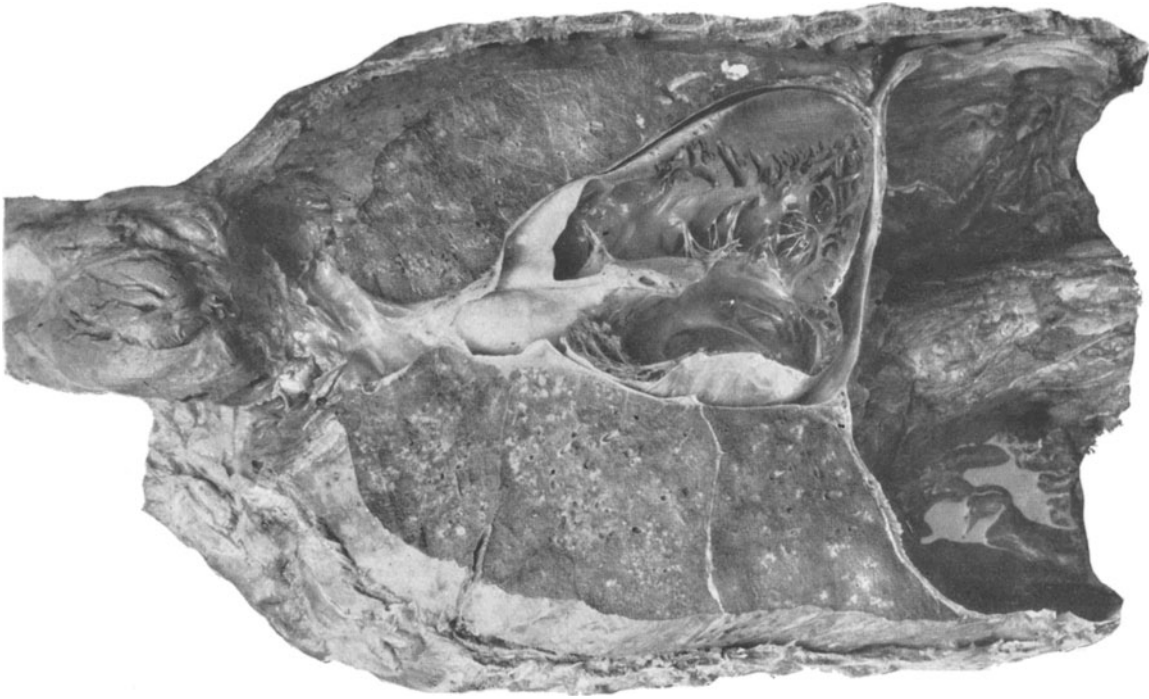


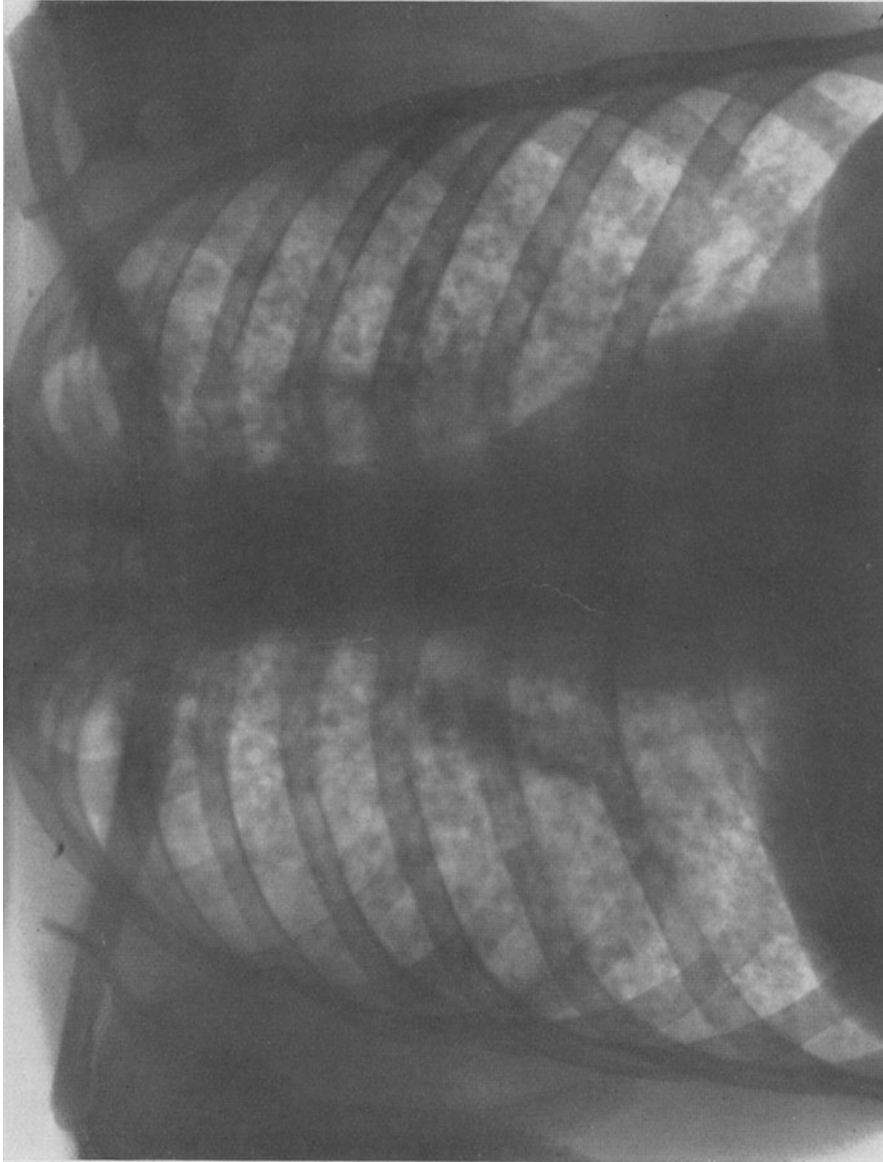
Bild 23.



Bild 24.

Über beide Lungen ausgebreitete azinös-nodöse und nodös-indurierende Phthise; Höhlenbildungen in den oberen Teilen beiderseits.

**Fall 3** (*Bild 25*).



**Bild 25.**

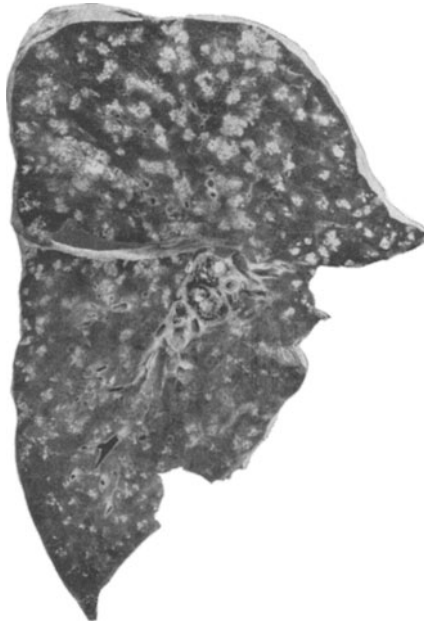


Bild 26.

Hämatogen-disseminierte produktiv-nodöse Phthise (großknotige „Miliar“-Tuberkulose).

Fall 4 (Bild 27—28).

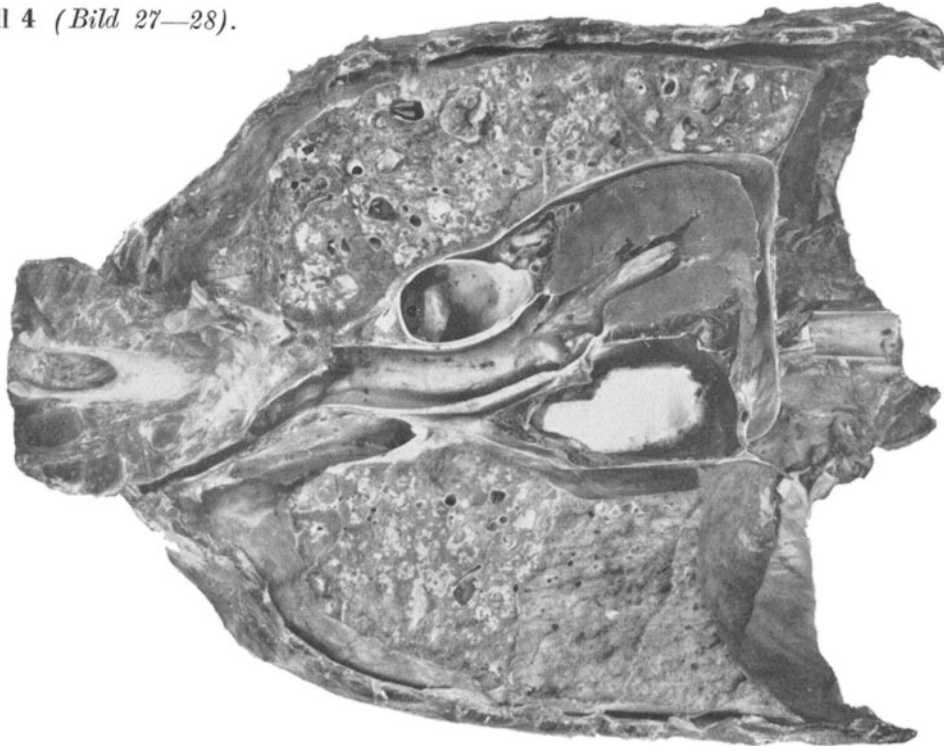


Bild 28.

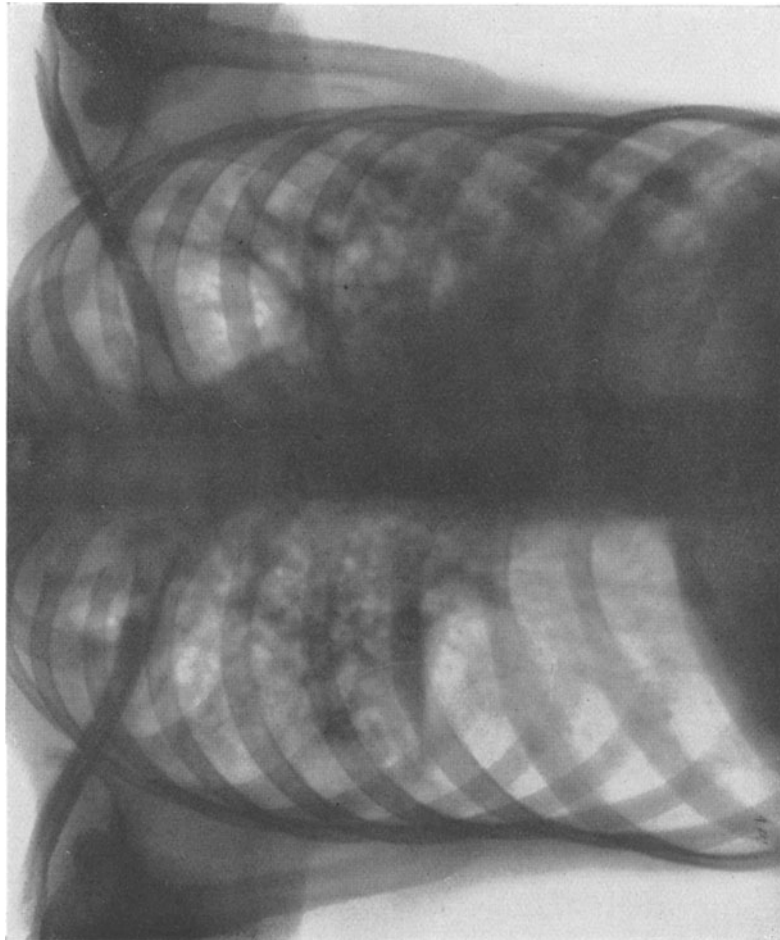


Bild 27.





Bild 29.

Lobulär-exsudative Phthisis der ganzen linken Lunge und der oberen Hälfte der rechten Lunge. Kavernen in den oberen Teilen beiderseits. Emphysem der basalen Lungenteile rechts.



Bild 30.

Fall 5 (*Bild 31—32*).

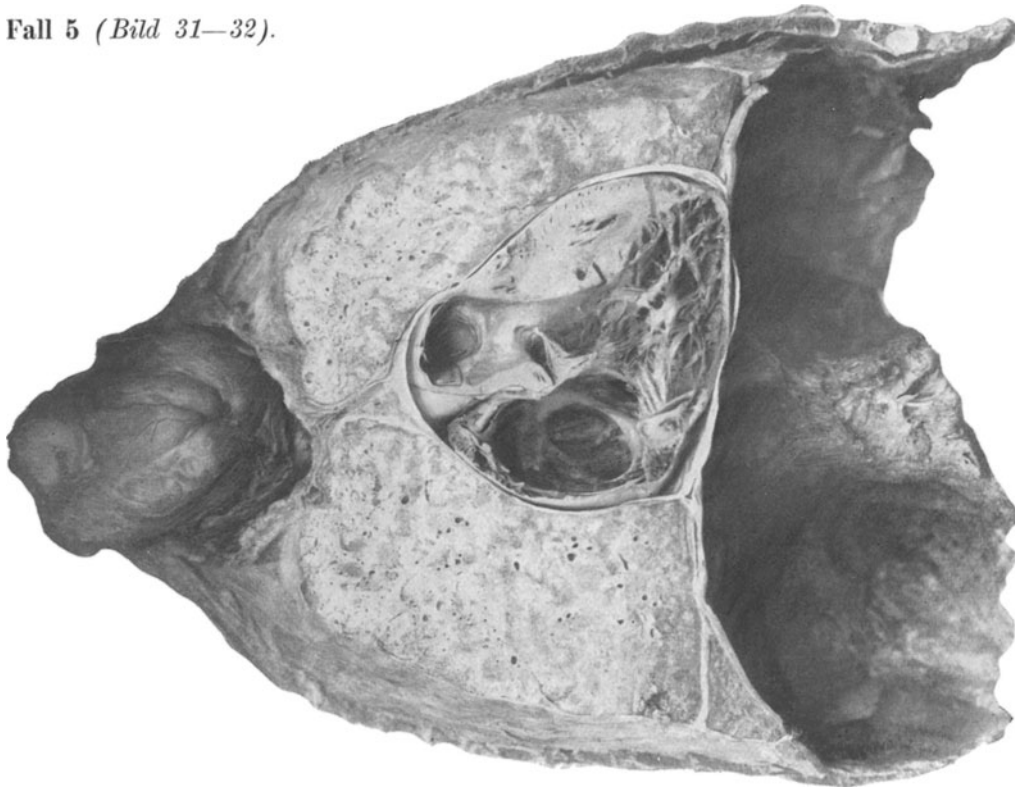


Bild 32.

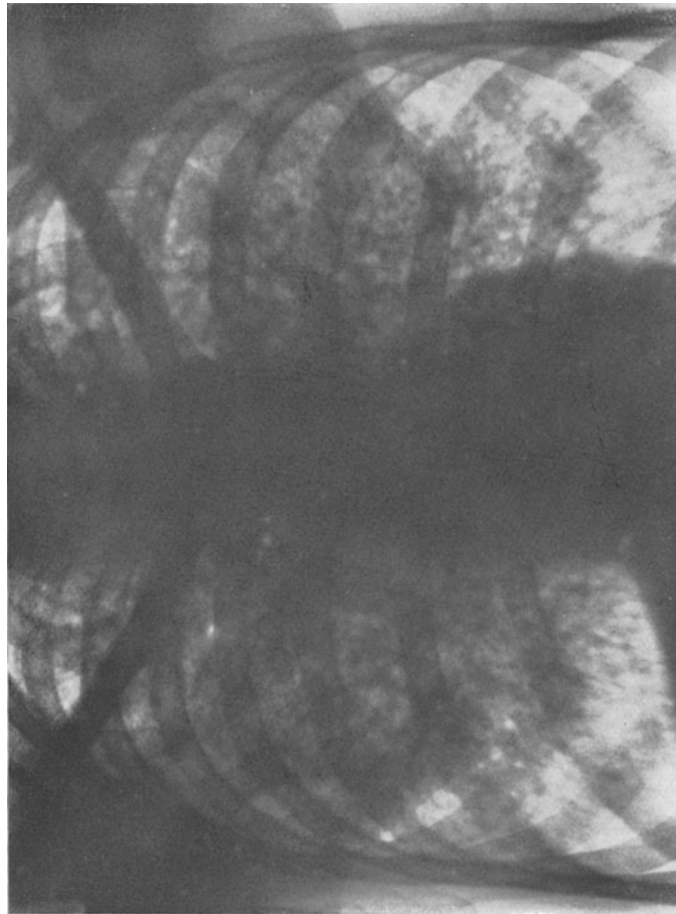


Bild 31.

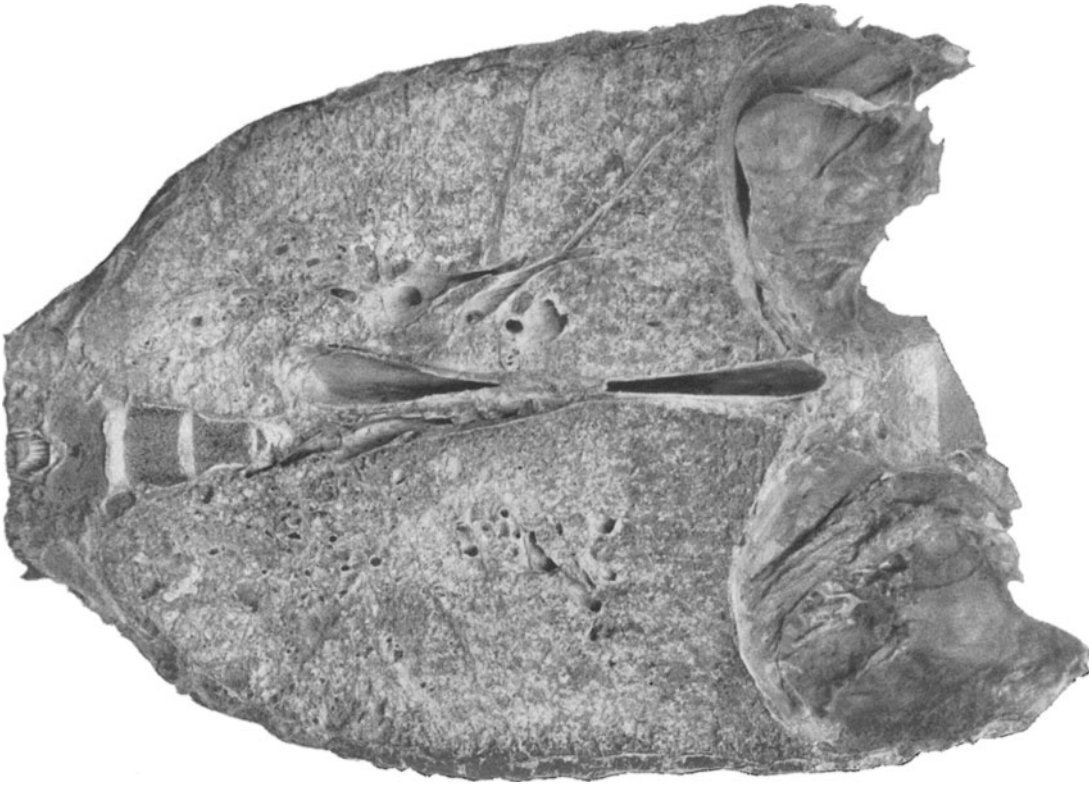


Bild 34.

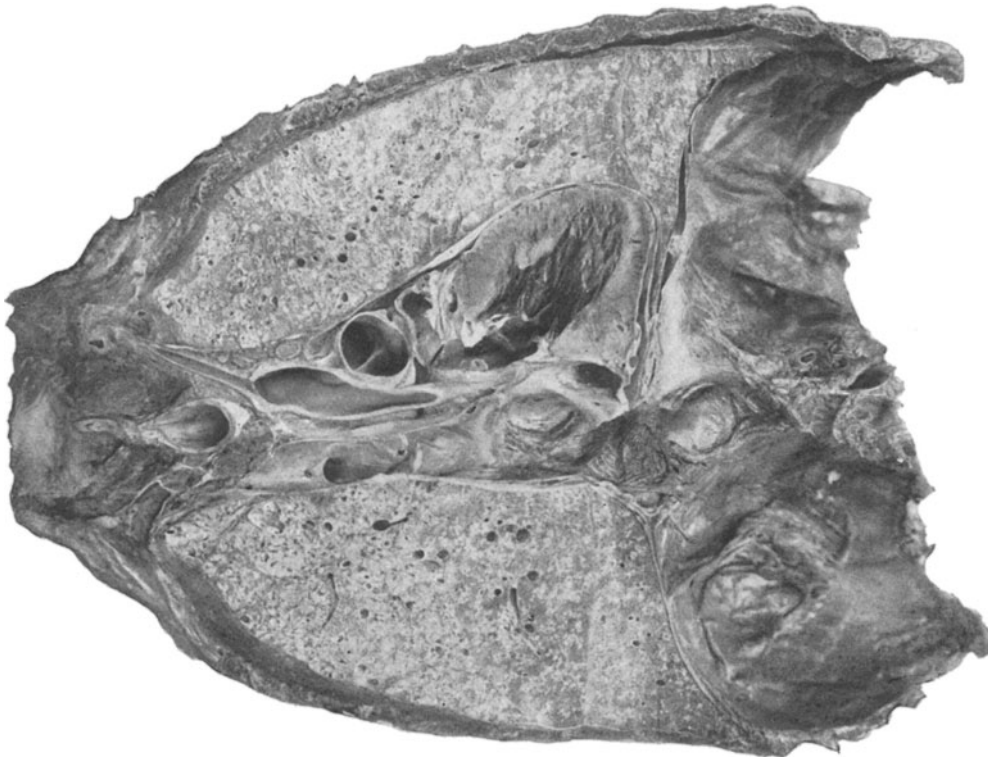


Bild 33.

Hämatogen disseminierte alveolär-exsudative und alveolär-produktive Pharynx. Kleine Höhlenbildungen in der rechten Lungenspitze.

Fall 6 (Bild 35–36).

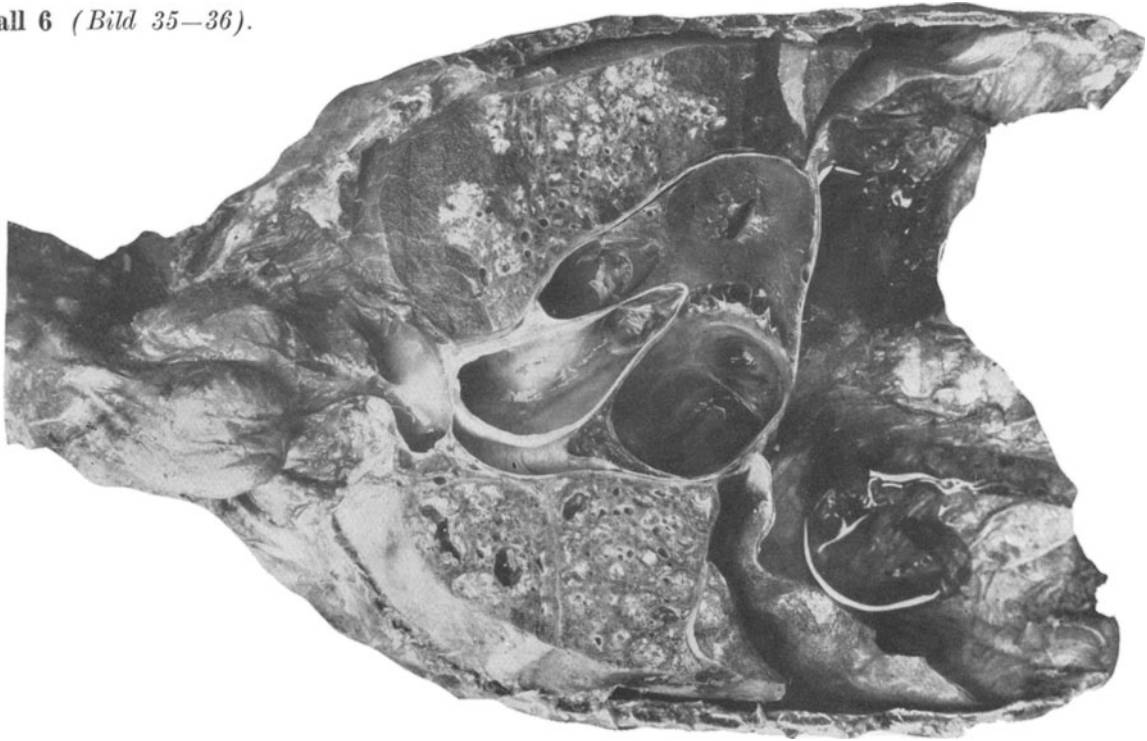


Bild 36.

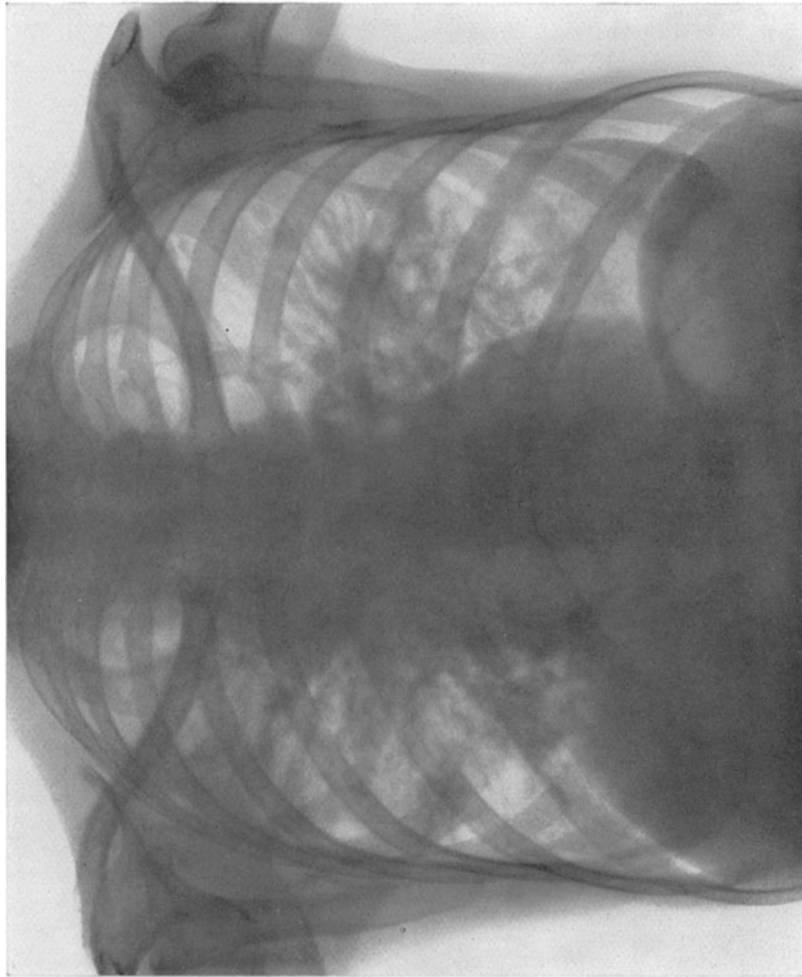


Bild 35.



Bild 38.



Bild 37.

Zirrhosisch-kavernöse Phthise der rechten Lunge mit Pleuraobliteration und Brustkorbschrumpfung. Zirrhotische Phthise der mittleren Teile der linken Lunge; (sogenannte Hilusausbreitung).

Fall 7 (Bild 39–40).



Bild 40.

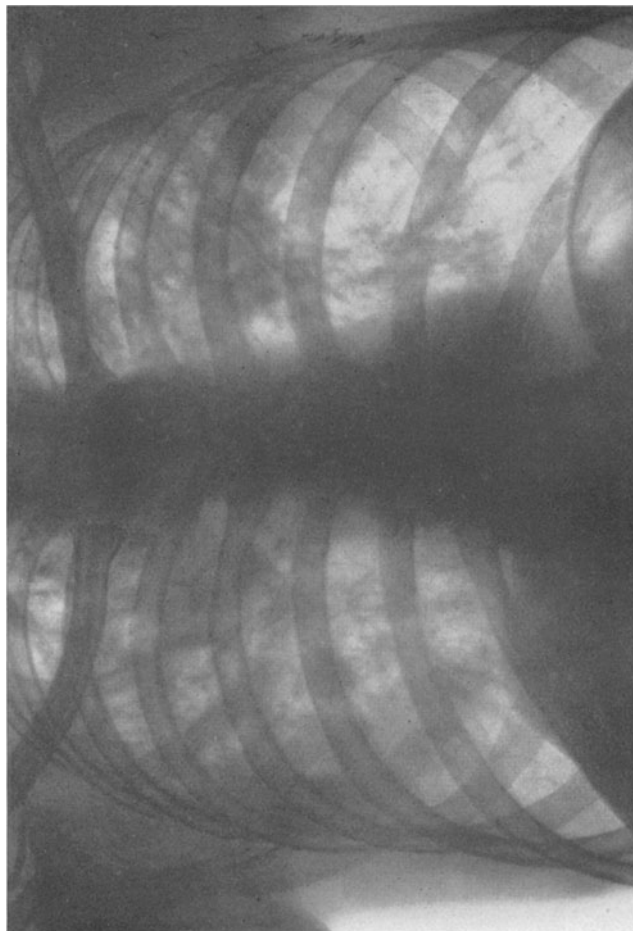


Bild 39.



Bild 41.

Indurierend-zirrhotische Phthise der ganzen rechten Lunge, Höhlenbildungen in den oberen Teilen. Pleuraobliteration mit Thoraxschrumpfung und Zwerchfellpleuraschwarte. Indurierend-zirrhotische Phthise der oberen Hälfte der linken Lunge. Emphysem der basalen Lungenteile links.



Bild 42.

Fall 8 (*Bild 43—44*).

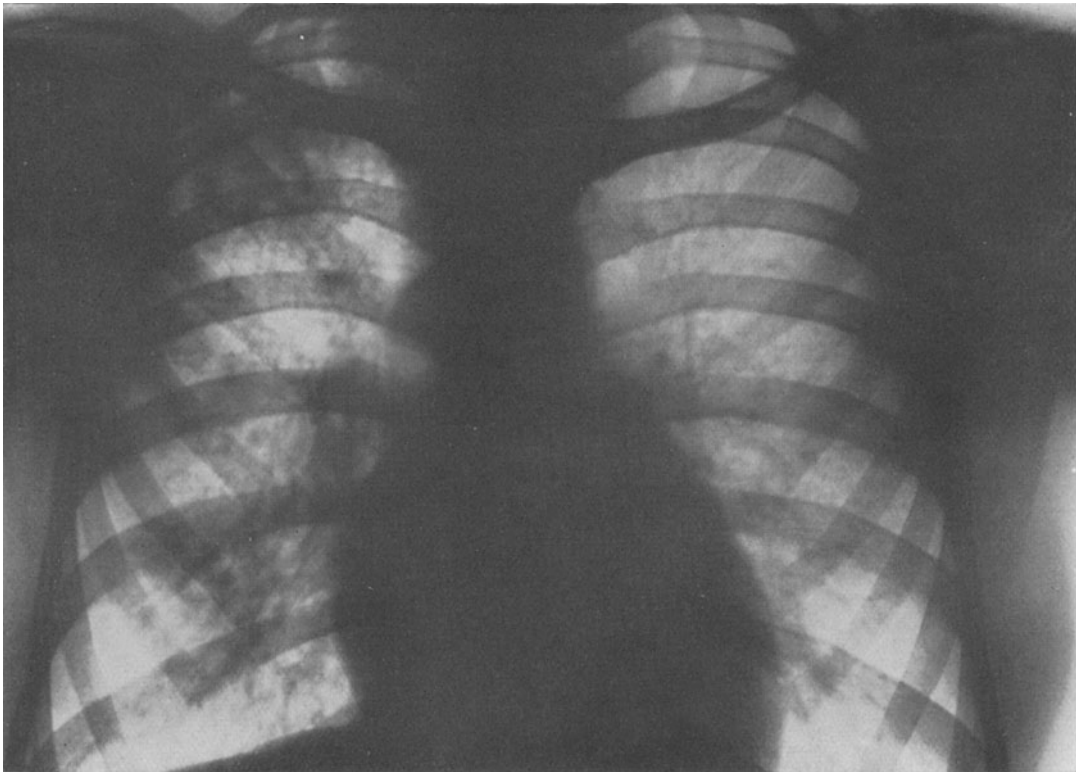


Bild 43.



Bild 44.



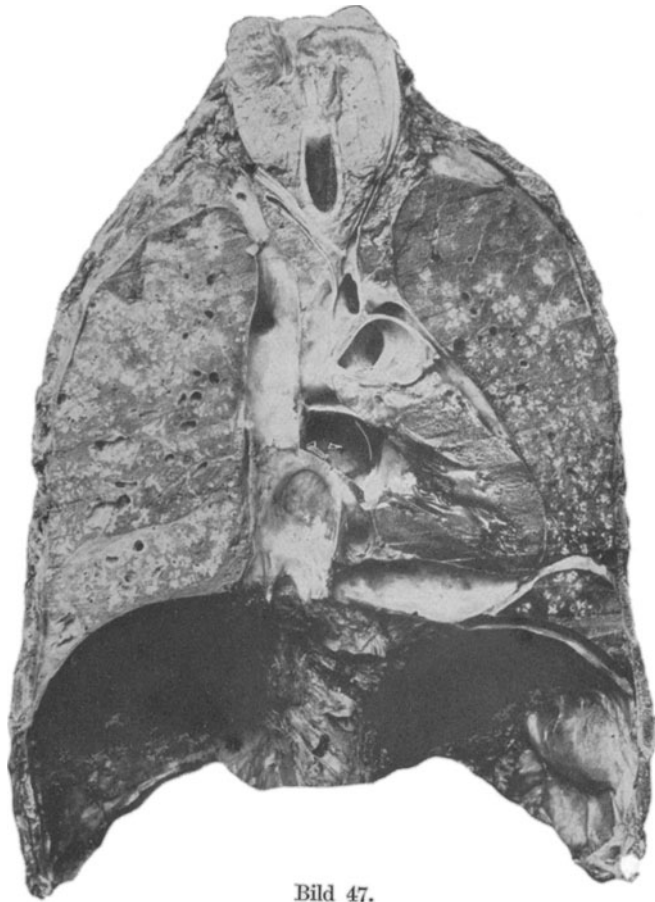


Bild 47.

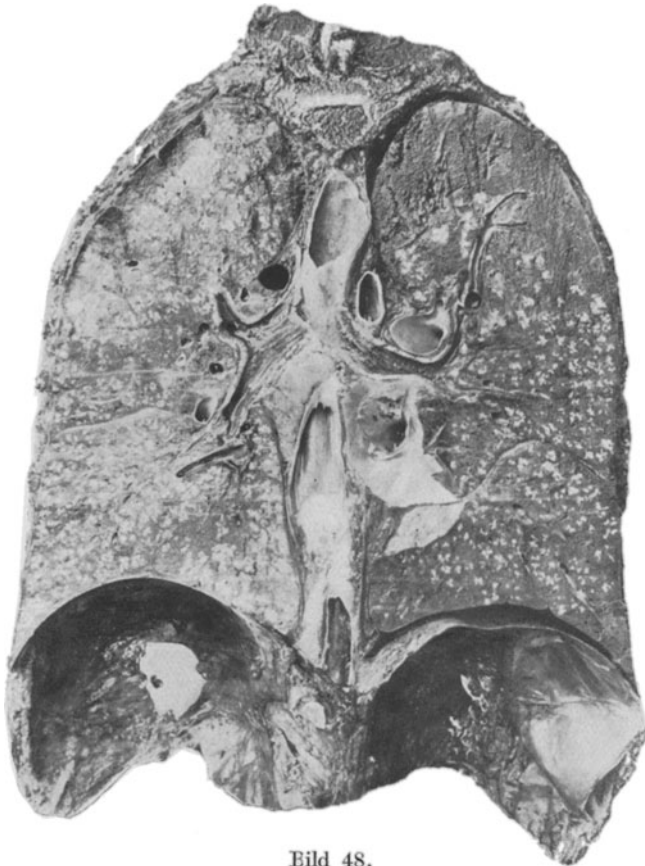


Bild 48.



Bild 49.

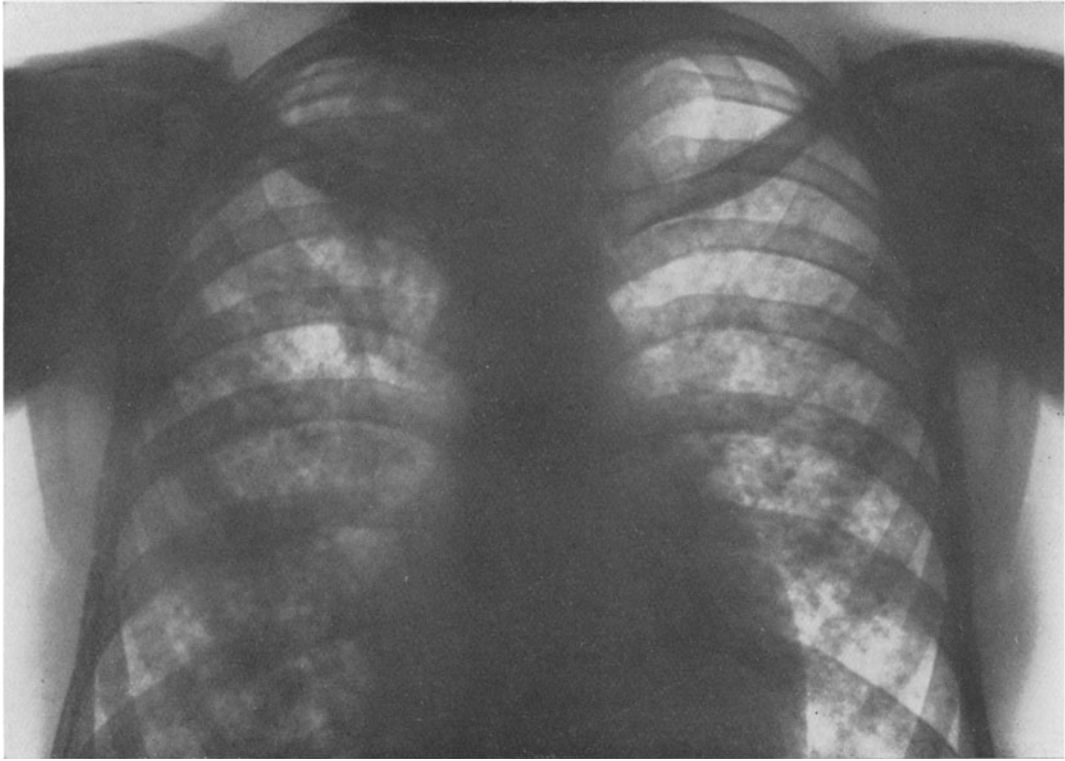


Bild 45.

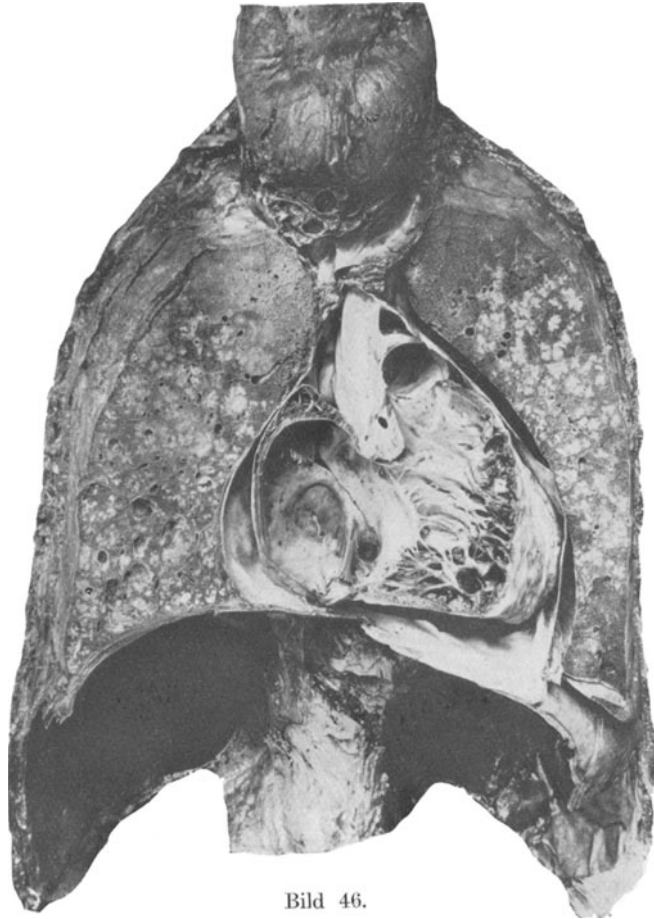


Bild 46.

Lobuläre exsudativ-käsige Phthise der ganzen rechten Lunge mit großer Höhlenbildung in den oberen Teilen. Induration des Lungengewebes medial von der Höhle. Vereinzelt, über die rechte Lunge verstreute nodöse Herde. Nodös-produktive Phthise der mittleren und unteren Teile der linken Lunge. Schrumpfung der rechten Seite infolge Pleuraobliteration.

Fall 9 (Bild 50—51).

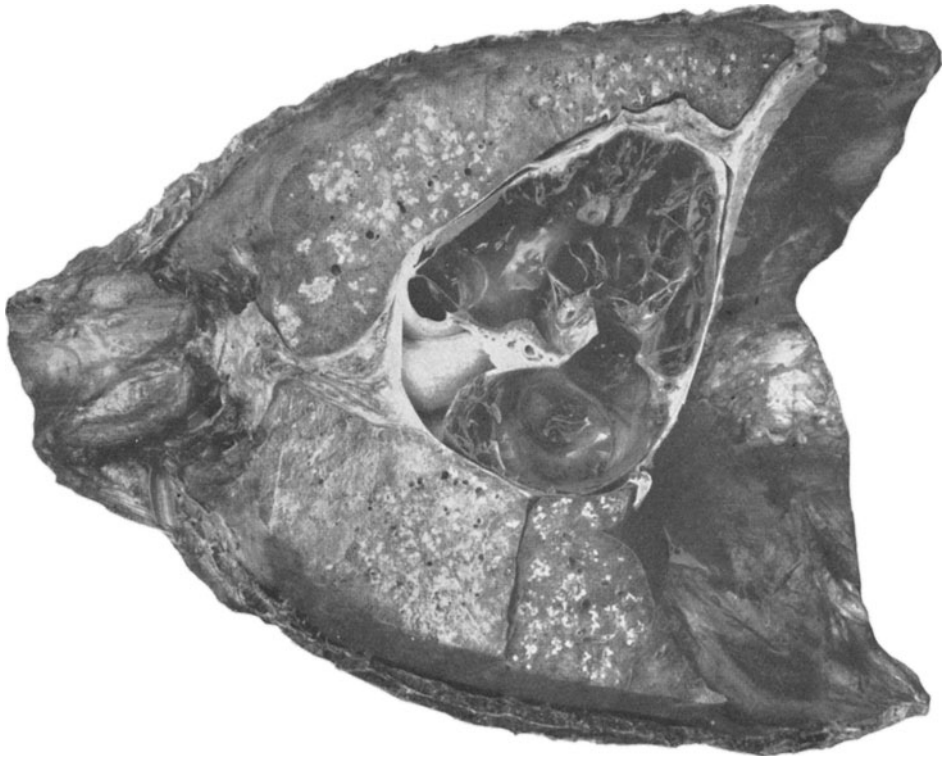


Bild 51.

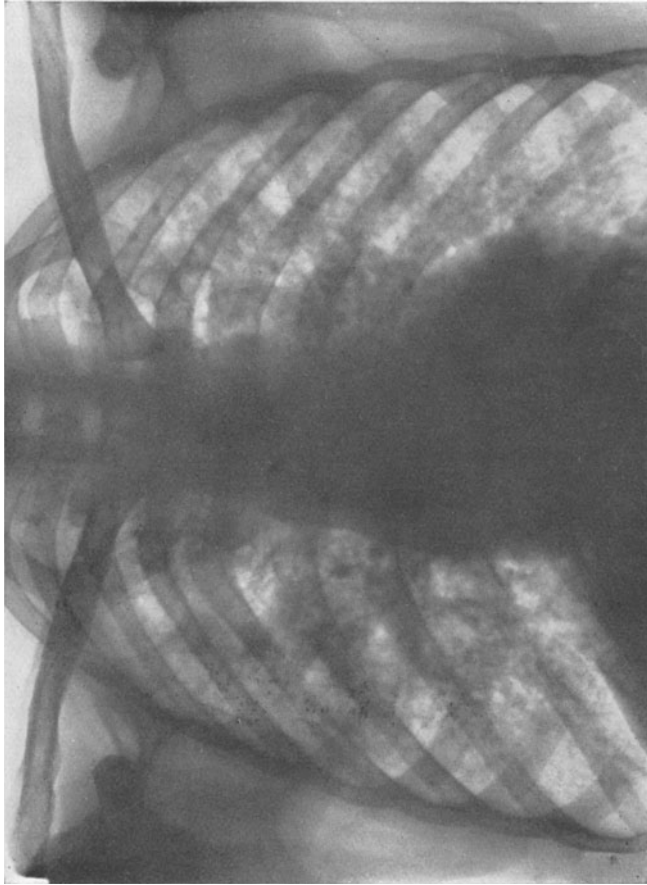


Bild 50.

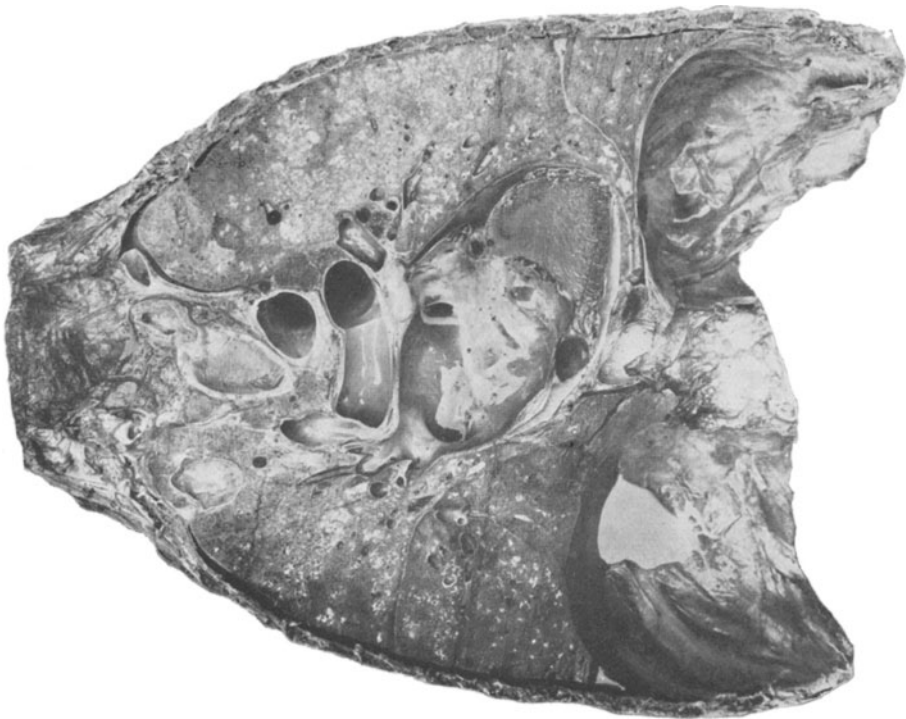


Bild 52.

Nodöse und nodös-indurierende Phthise beider Lungen, Kavernen in beiden Spitzenteilen. Indurierend zürhofische Herde in den oberen und mittleren Teilen der rechten Lunge. Pleuraobliteration rechts mit sekundärer Schrumpfung.

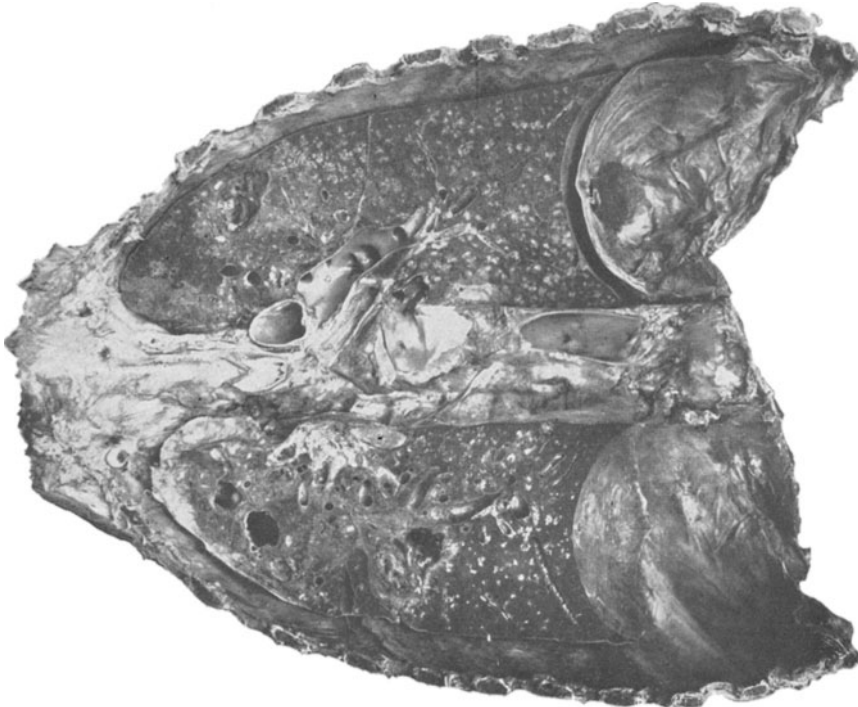


Bild 53.

Fall 10 (Bild 54—55).



Bild 55.

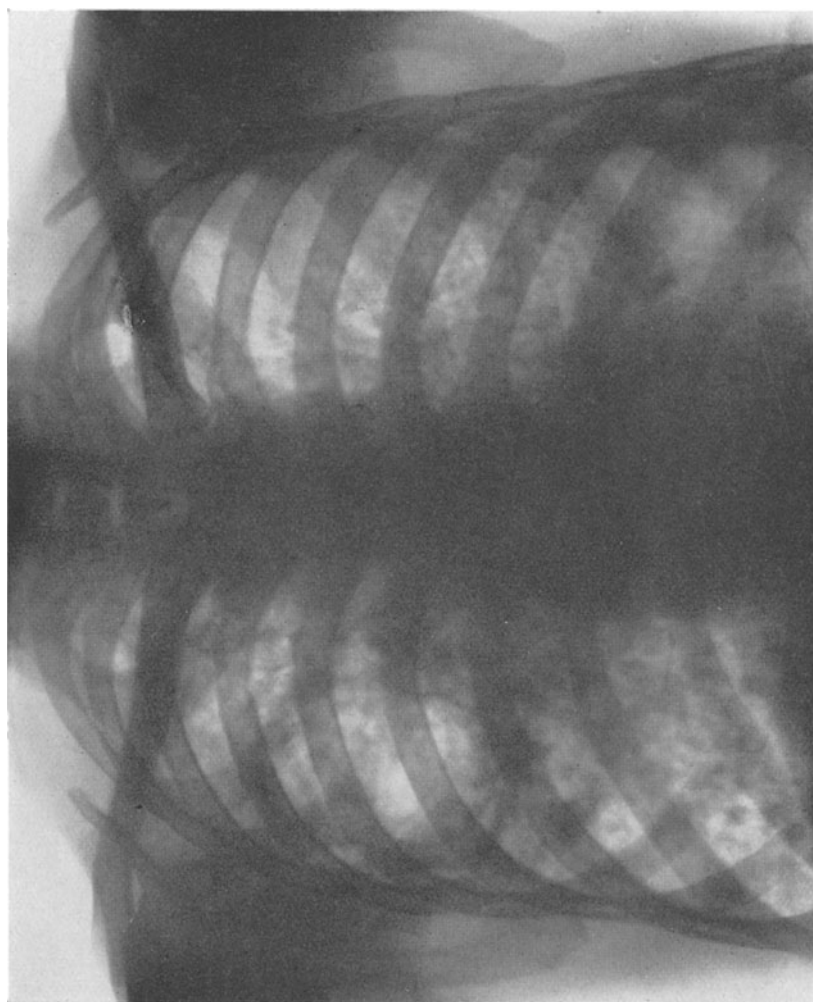


Bild 54.



Bild 56.

Lobulär-exsudative und nodös-indurierende Phthise der rechten Lunge mit großer Kaverne, Pleuraobliteration und geringe Thoraxschrumpfung rechts. Vorwiegend nodöse Phthise der linken Lunge. Randständiger Pleuraerguß links.

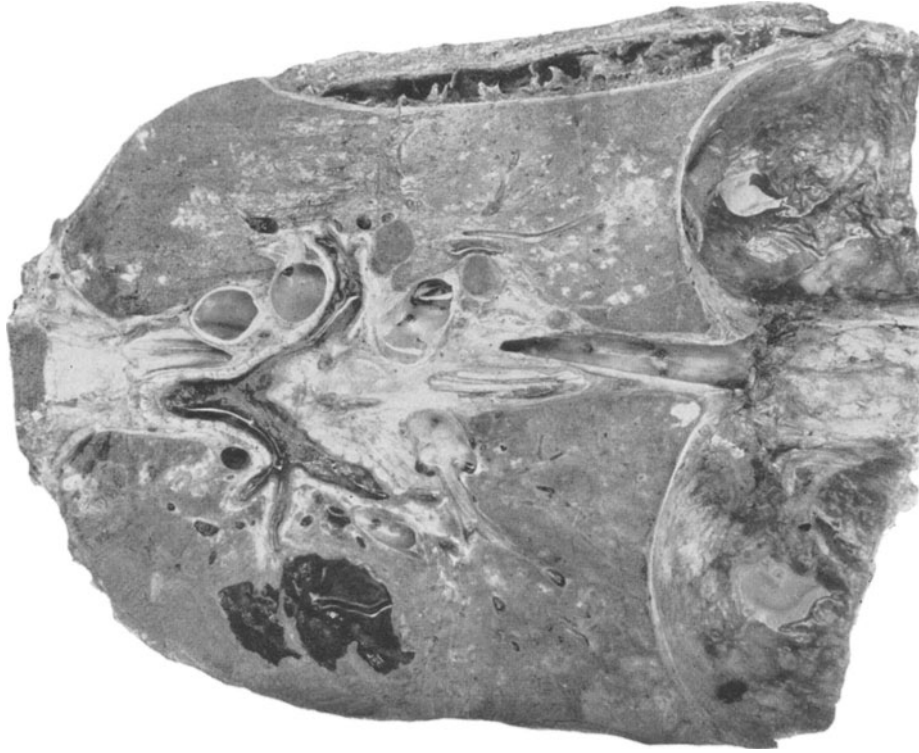


Bild 57.

Lobulär-exsudative und nodös-indurierende Phthise der rechten Lunge mit großer Kaverne, Pleuraobliteration und geringe Thoraxschrumpfung rechts. Vorwiegend nodöse Phthise der linken Lunge. Randständiger Pleuraerguß links.

Fall 11 (*Bild 58*).

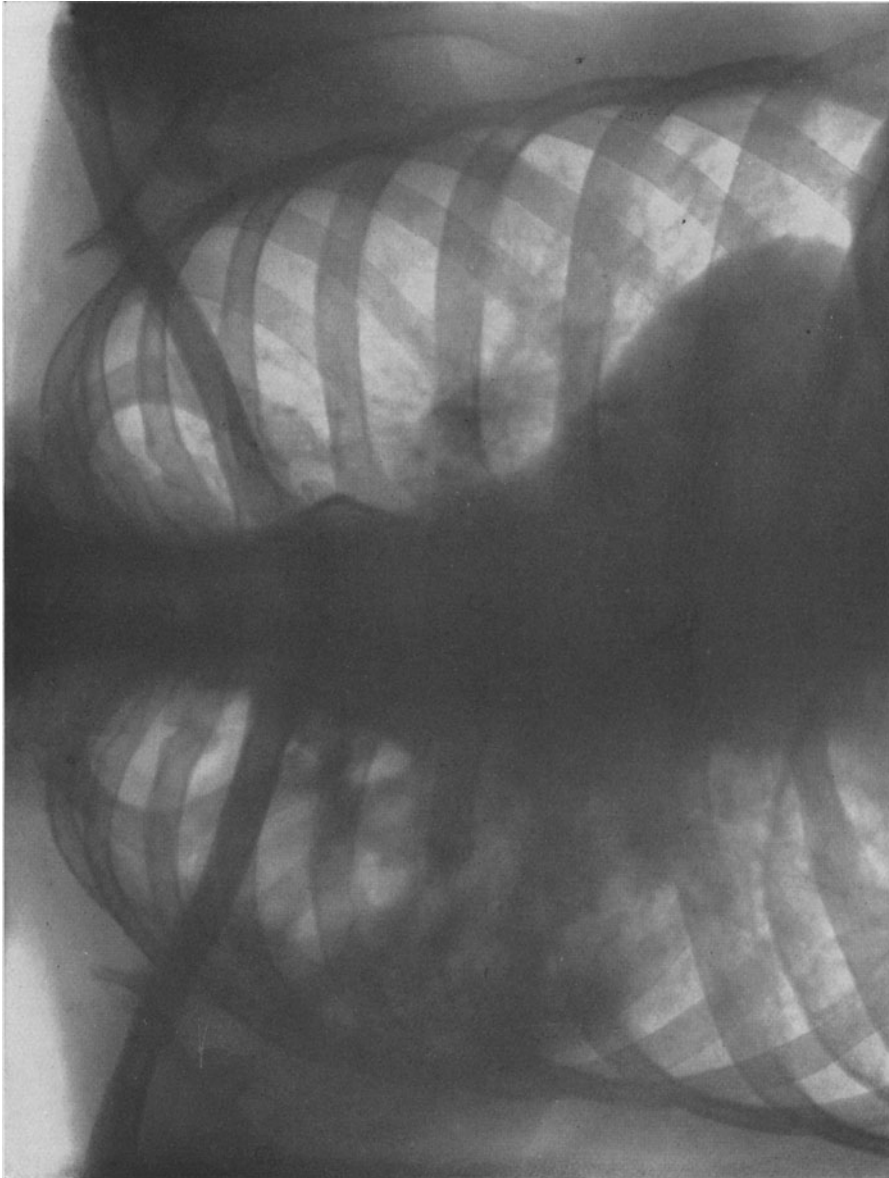


Bild 58.

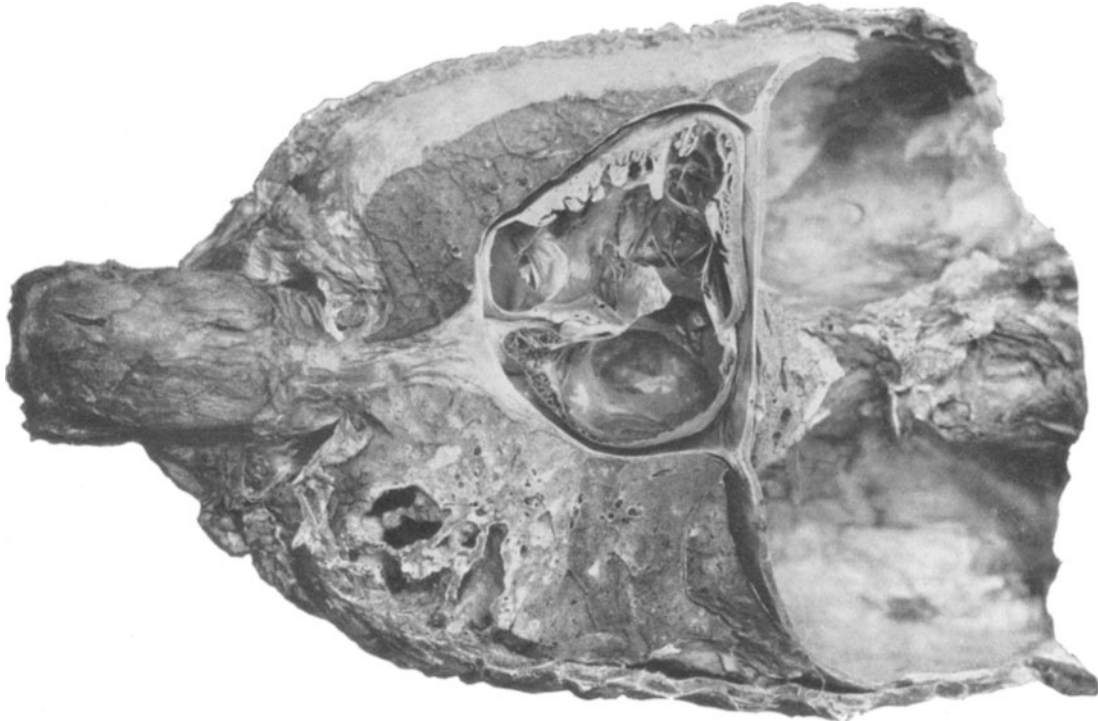


Bild 59.

Lobulär bzw. lobär-exsudative Phthise mit großer Höhlenbildung in den oberen Teilen der rechten Lunge.



Bild 60.



Fall 12 (*Bild 61—62*).

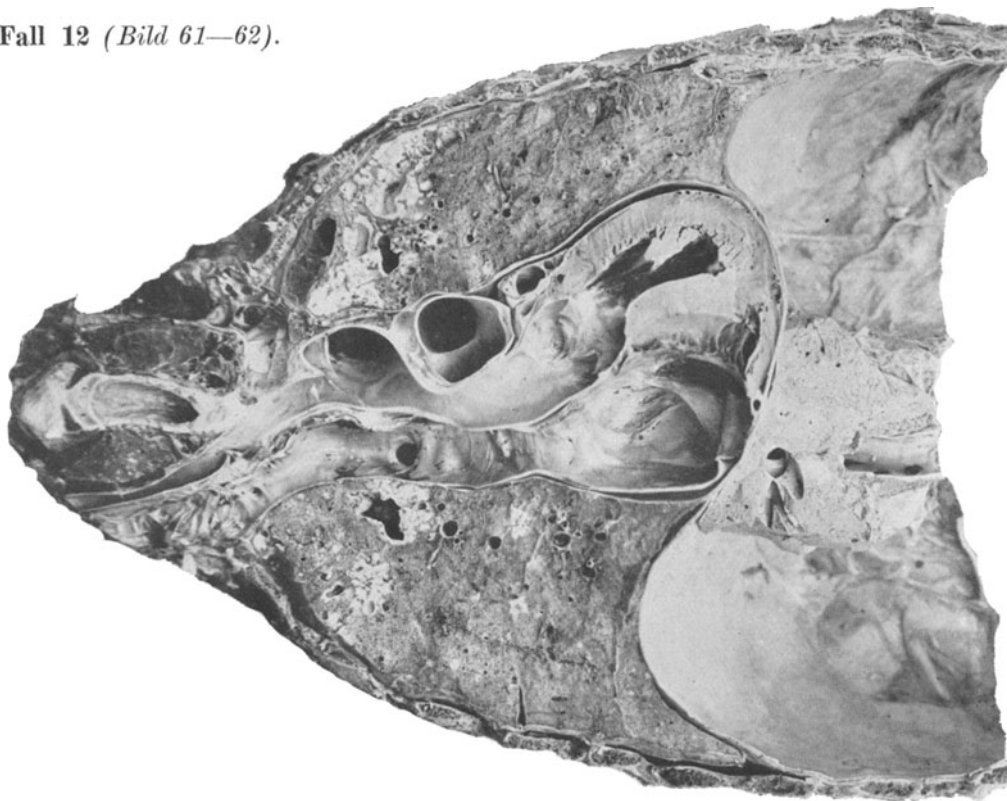


Bild 62.

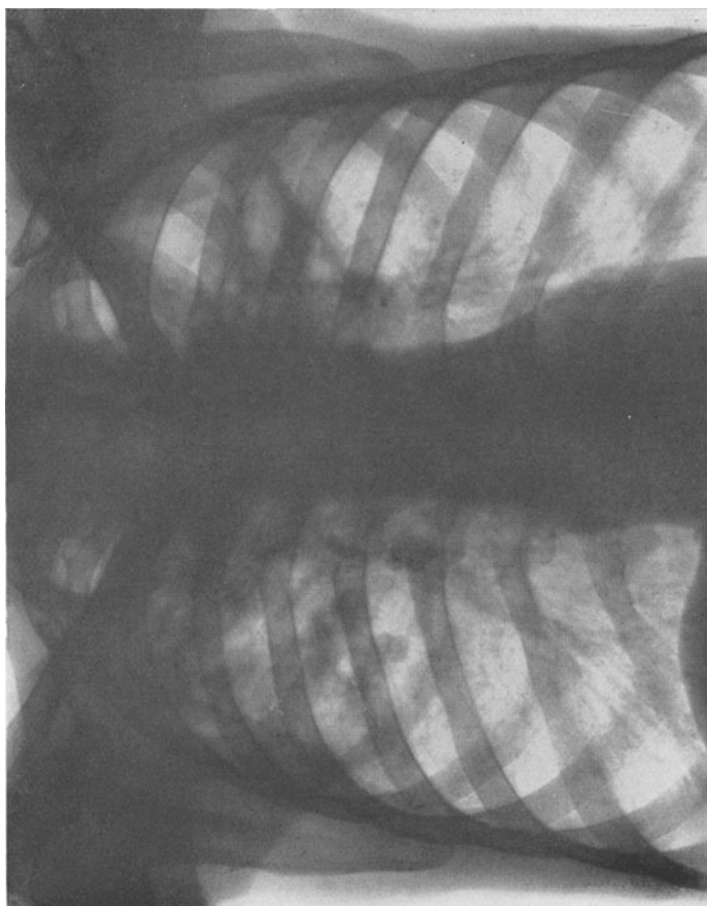


Bild 61.



Bild 64.

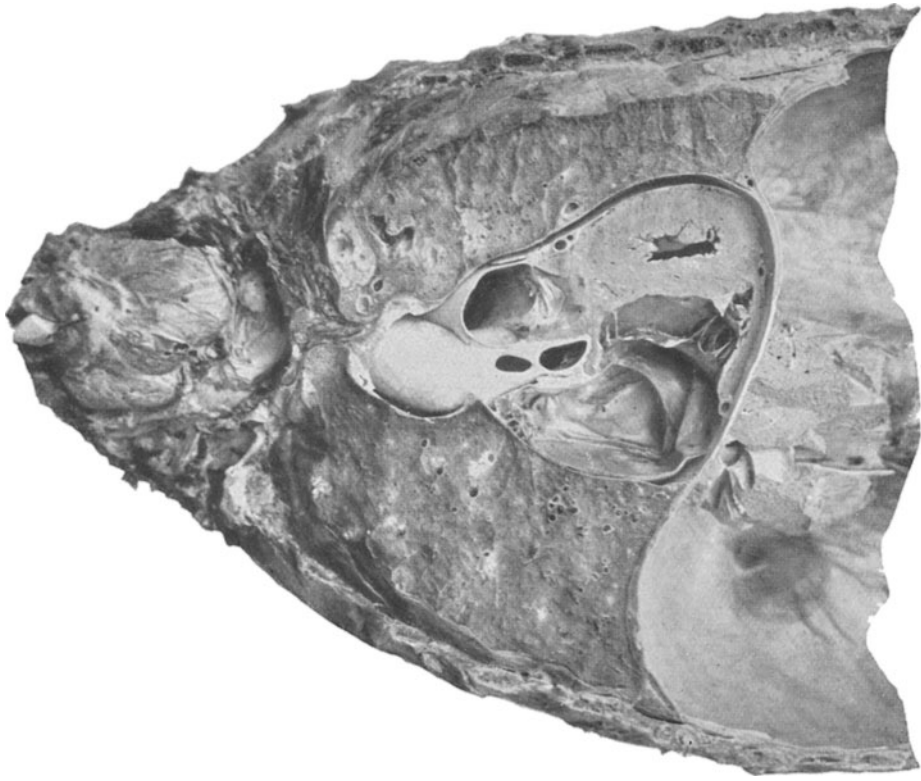


Bild 63.

Lobulär-exsudative Phthise mit Höhlenbildung in den oberen Teilen der rechten Lunge. Nodös-indurierte Herde in den mittleren und unteren Teilen der rechten Lunge. Ausgedehnte, fibrös abgekapselte Höhlen in den oberen Teilen der linken Lunge. Indurierte und verkäste Herde in den oberen Teilen der linken Lunge. Emphysem der basalen Teile beiderseits. Brustkorbschrumpfung bei Pleuraobliteration links.

Fall 13 (*Bild 65*).

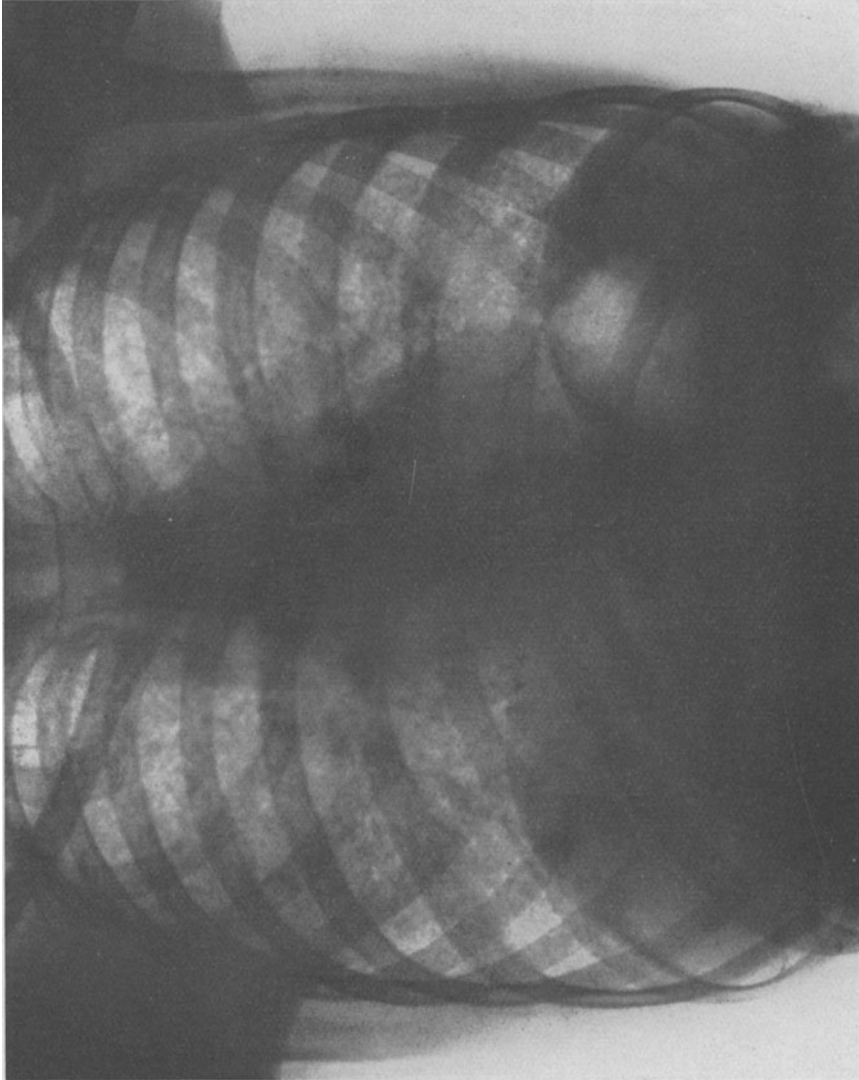


Bild 65.

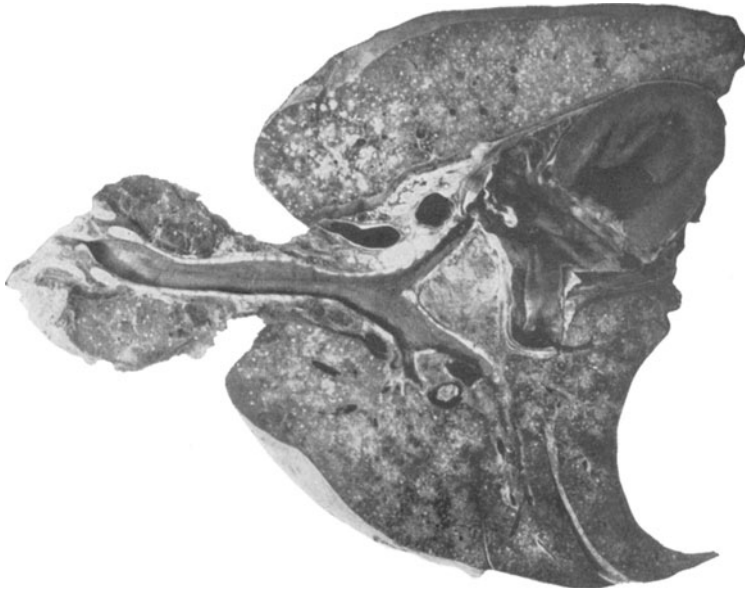
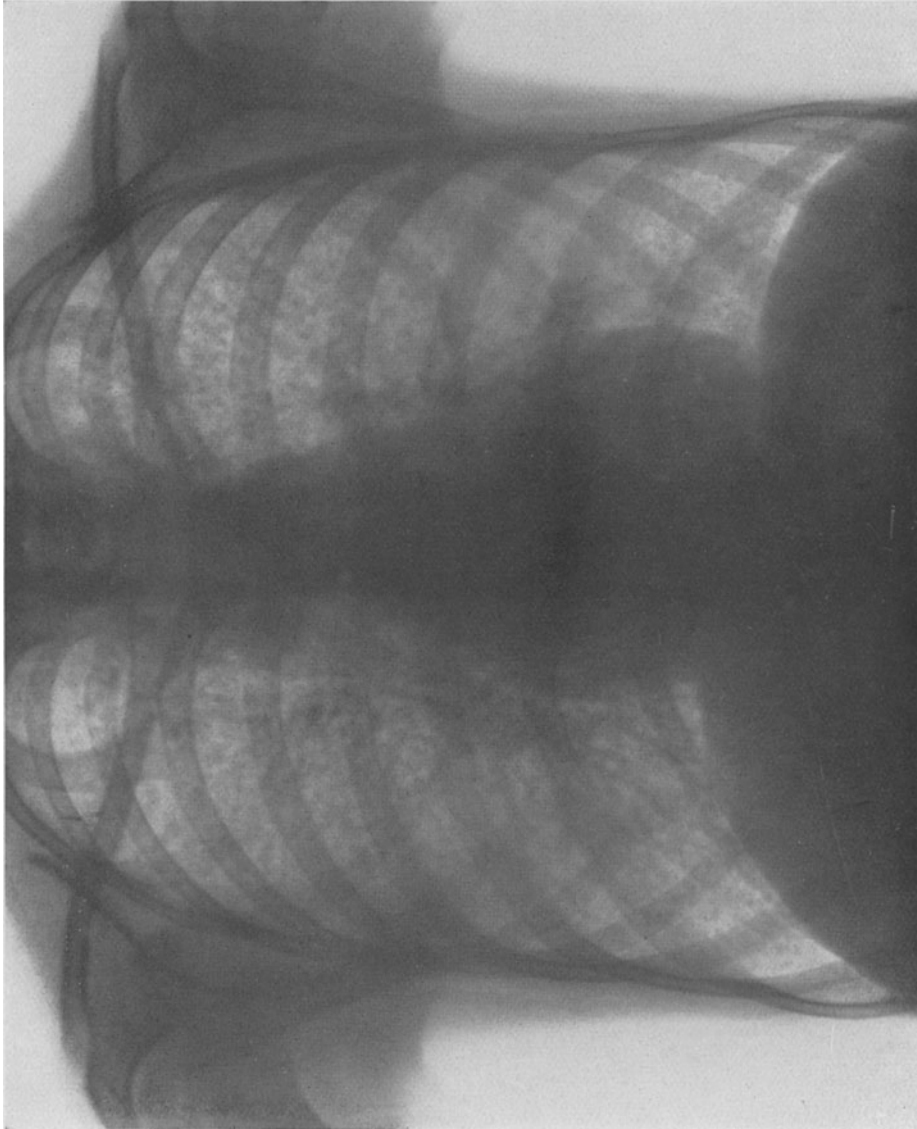


Bild 66.

Hämato-gen-disseminierte, tuberkulär-exsudative Phthise (Miliartuberkulose). Geschwollene Hiluslymphknoten.

**Fall 14** (*Bild 67*).



**Bild 67.**



Bild 68.

Hämatogene, disseminierte produktive Phthise (Miliartuberkulose). Vergrößerte paratracheale Lymphknoten.

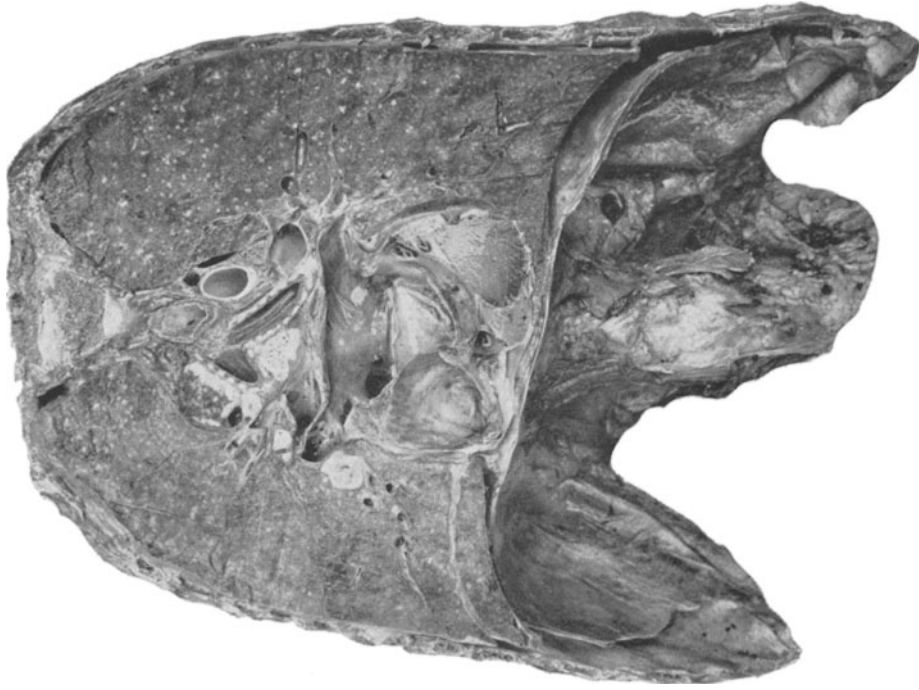
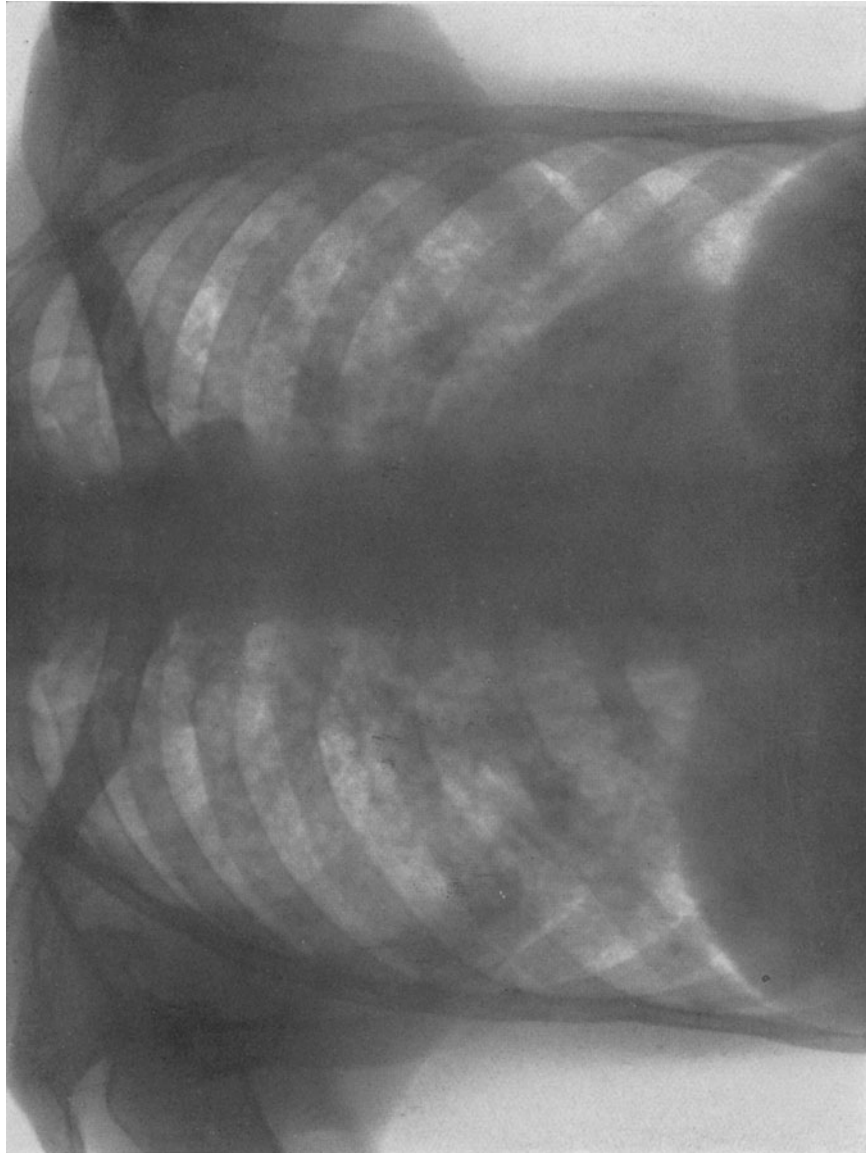


Bild 69.

**Fall 15** (*Bild 70*).



**Bild 70.**

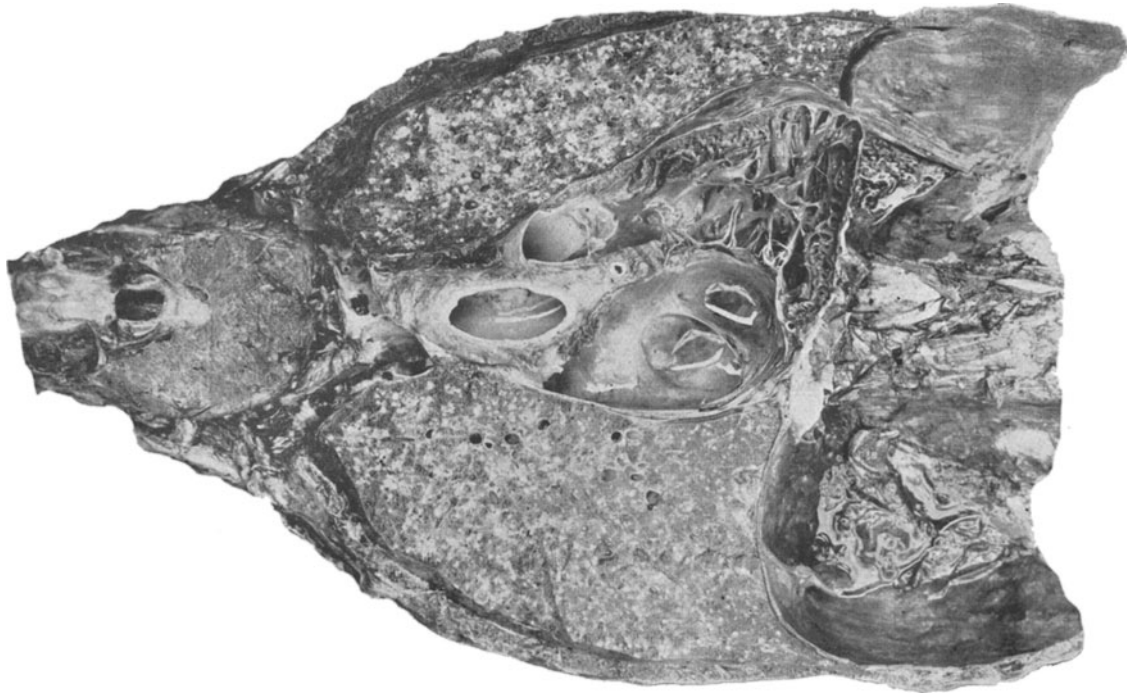


Bild 71.

Hämatogene, disseminierte, produktiv-nodöse Phthise (Miliartuberkulose).



Bild 72.



Fall 16 (*Bild 73–74*).

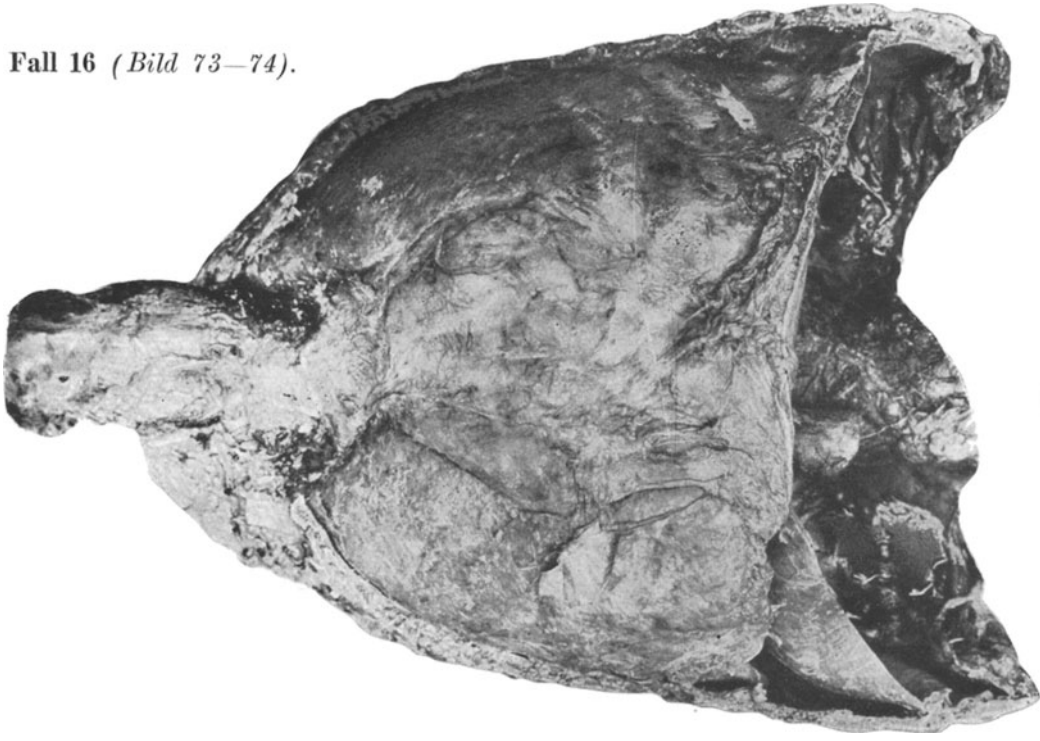


Bild 74.



Bild 73.

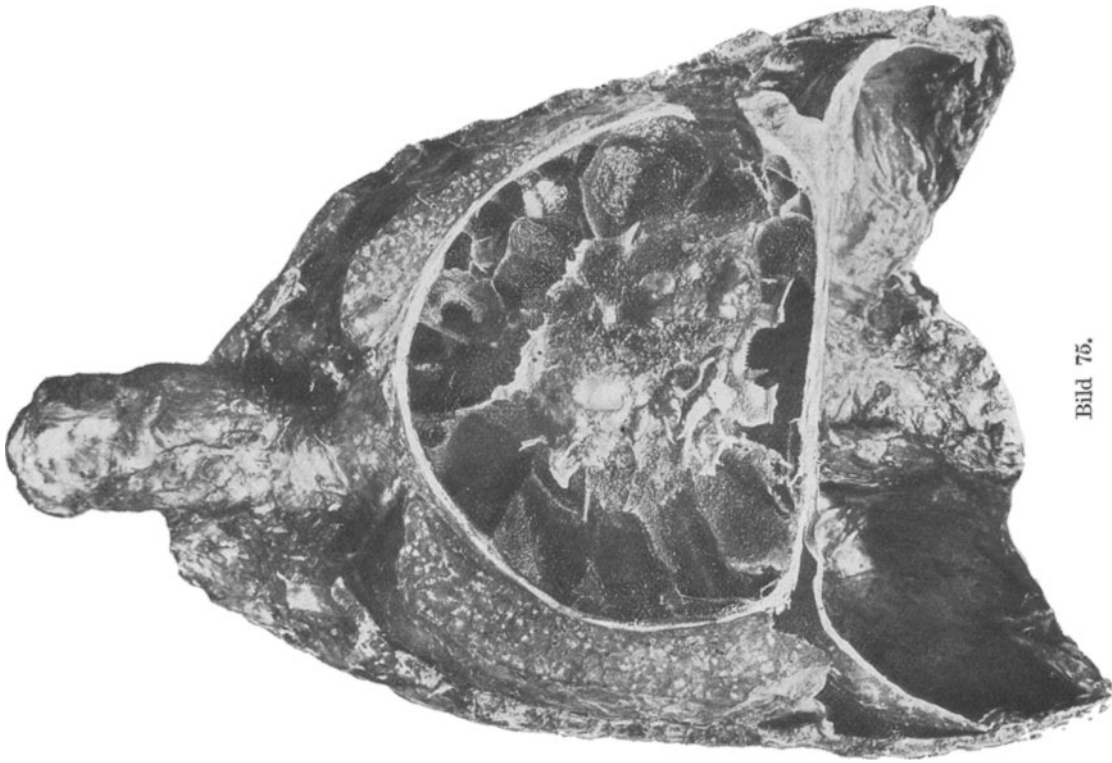


Bild 75.



Bild 76.

Hämatogen-disseminierte, azinös-productive Phthise (Miliartuberkulose). Serös-fibrinöse Perikarditis. Kleiner serös-fibrinöser Pleuraerguß beiderseits.

Fall 17 (*Bild 77*).

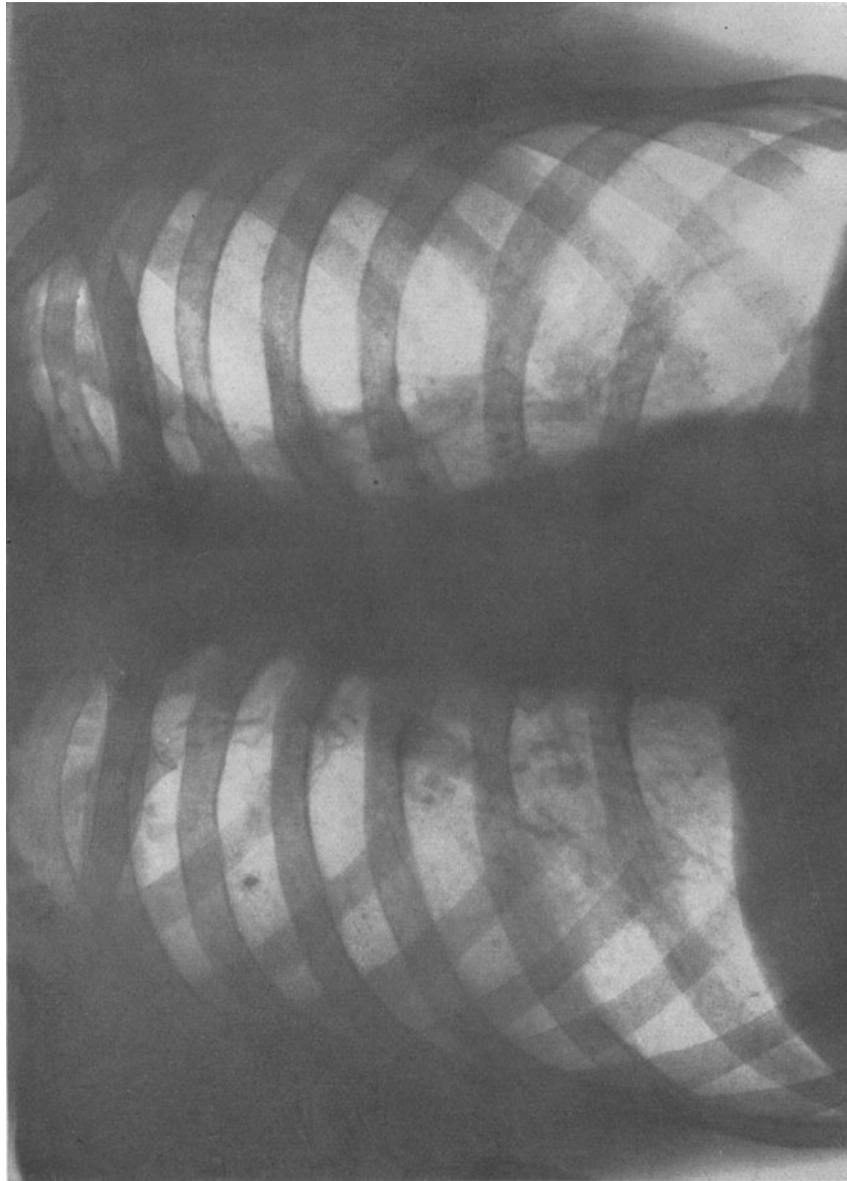


Bild 77.

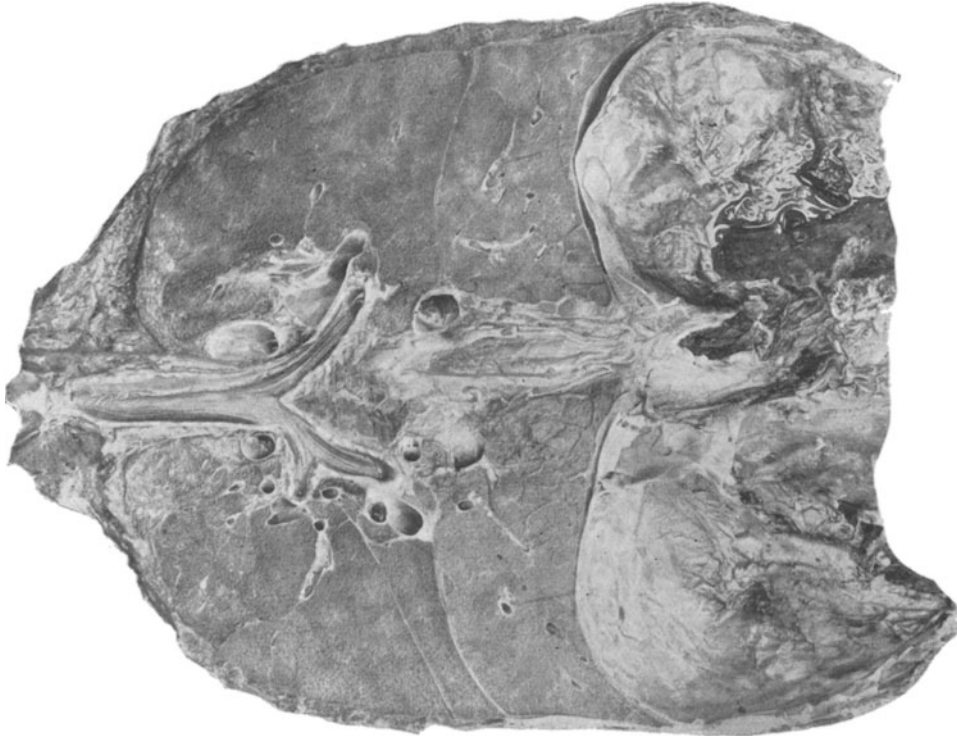


Bild 79.

Nodös-indurierende beiderseitige Lungenspitzenphthise. Kreideherd in den oberen Teilen der rechten Lunge; verkreidete Lymphknoten rechts (Primärkomplex).

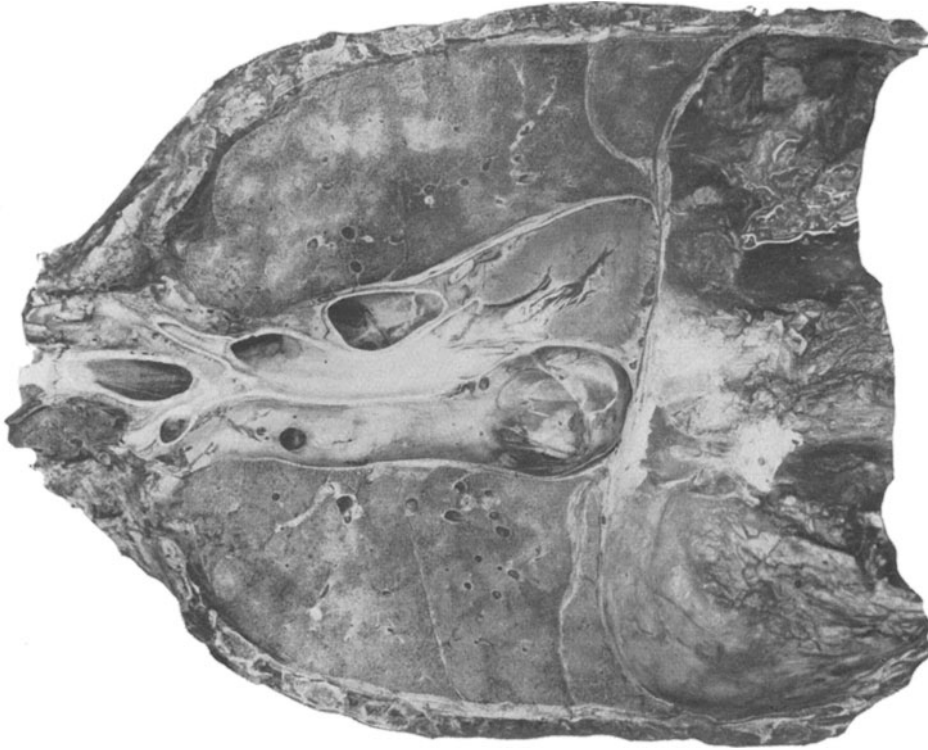


Bild 78.

Nodös-indurierende beiderseitige Lungenspitzenphthise. Kreideherd in den oberen Teilen der rechten Lunge; verkreidete Lymphknoten rechts (Primärkomplex).

Fall 18 (*Bild 80 u. 83*).



Bild 83.

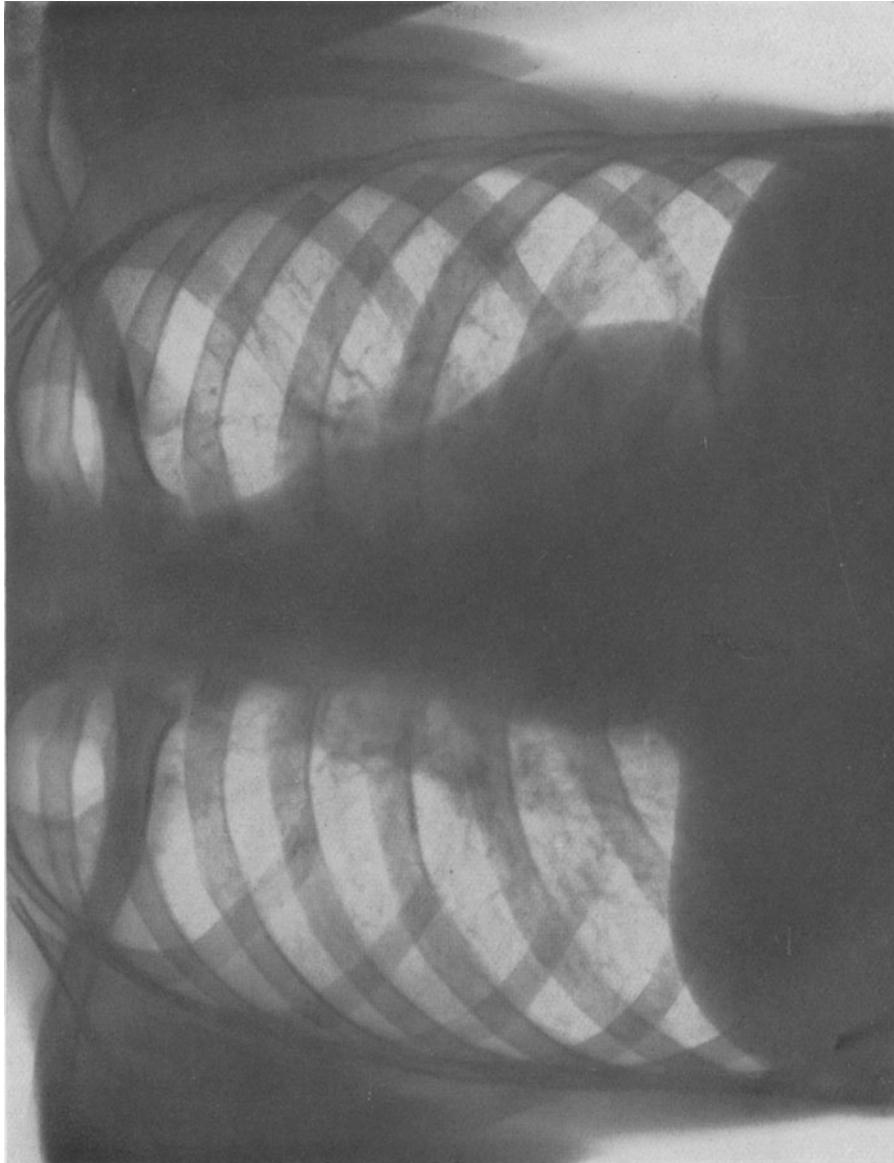


Bild 80.

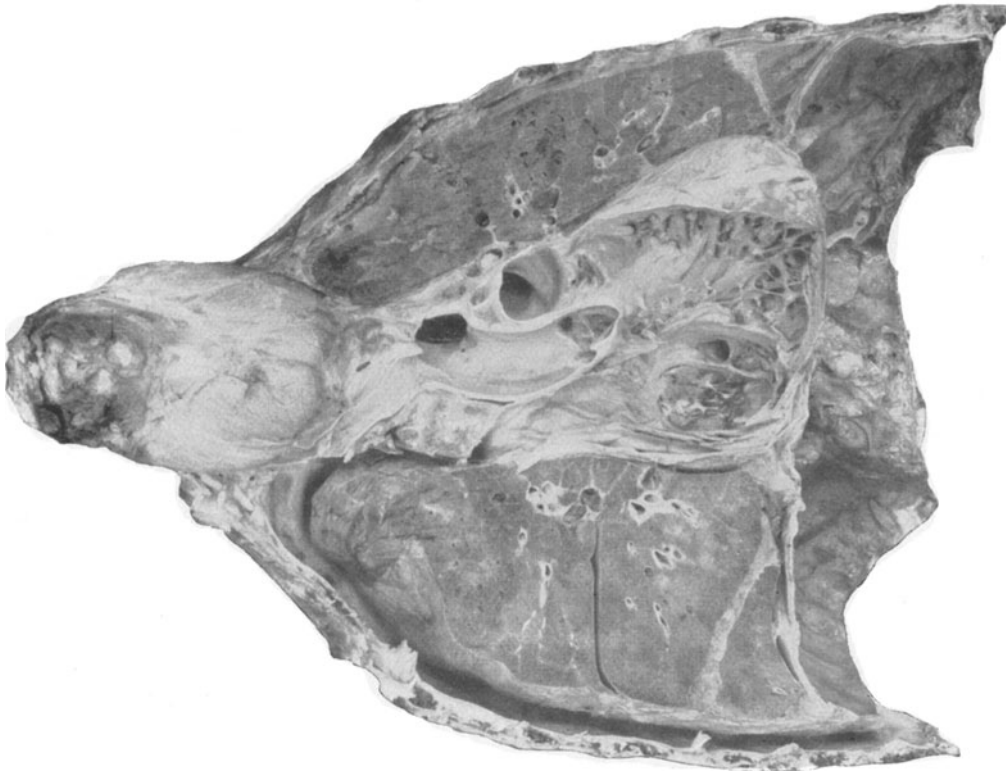


Bild 81.



Bild 82.

Vereinzelte indurierte Herde in der rechten Lungenspitze und den mittleren Teilen beider Lungen. Indurierte bzw. vergrößerte Lymphknoten beiderseits.  
Pleuraobliteration links mit geringer Thora.xshrinkung.

Fall 19 (Bild 84 u. 87).

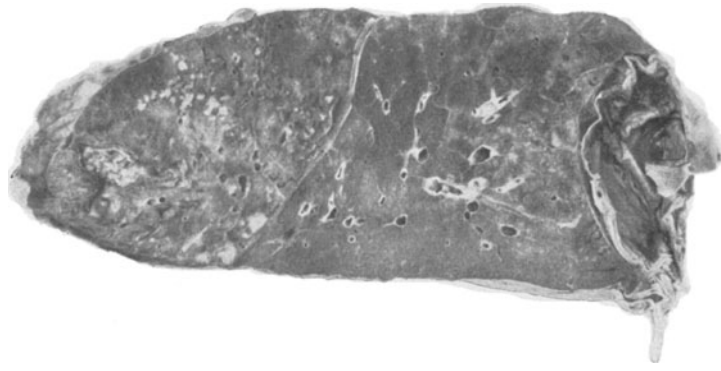


Bild 87.

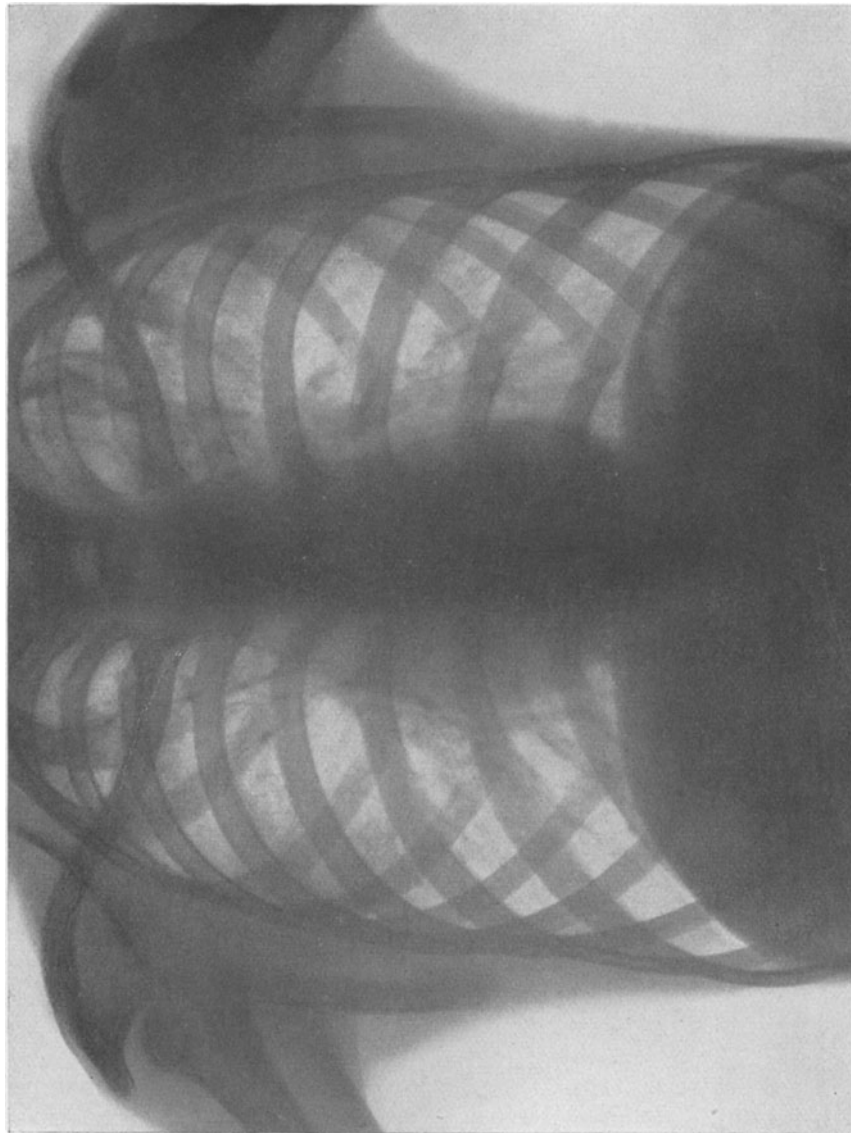


Bild 84.

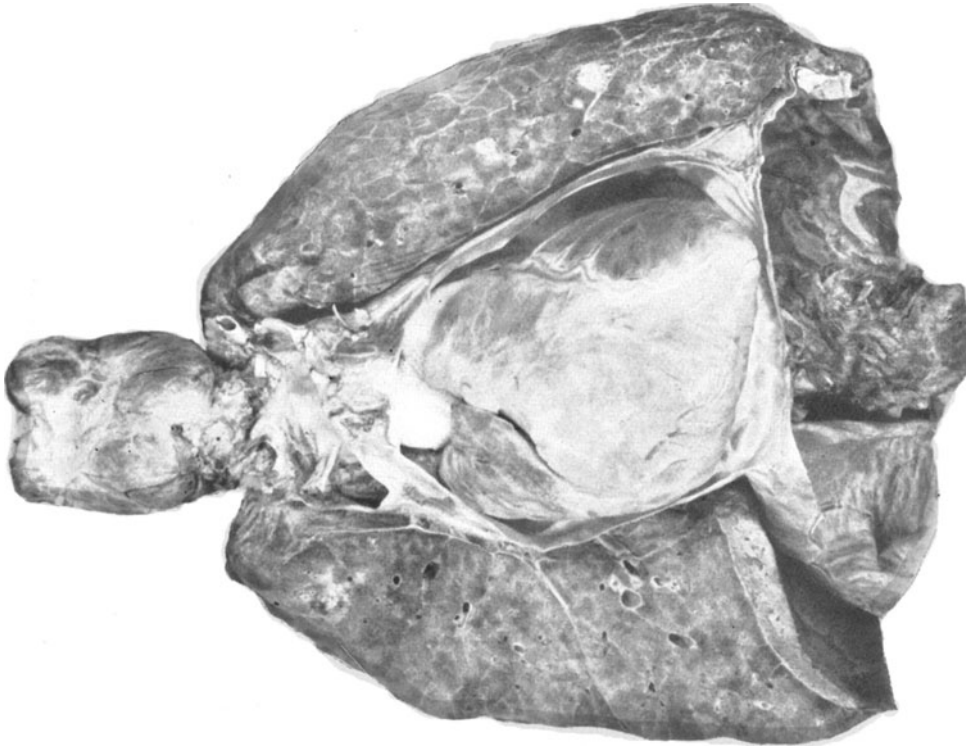


Bild 85.



Bild 86.

Nodös-indurierende und lobulär-exsudative Spitzenphise mit kleiner Kaveme in der rechten Spitze.



Fall 20 (*Bild 88—89*).

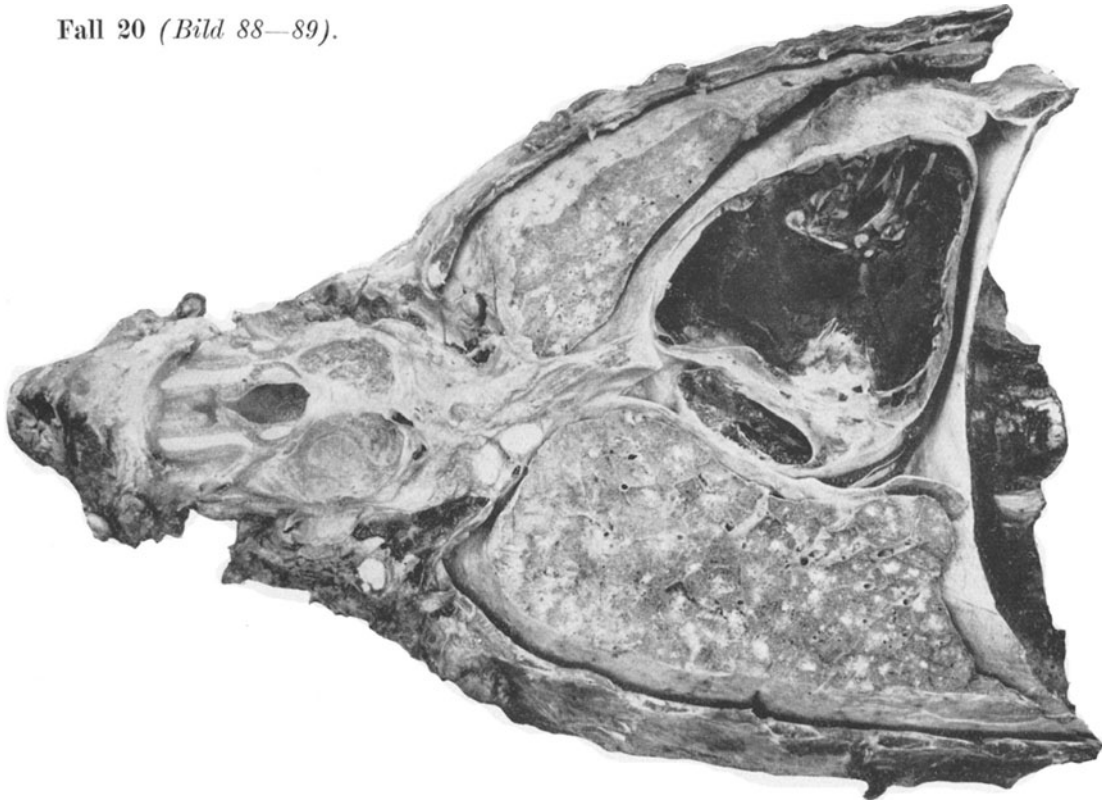


Bild 89.

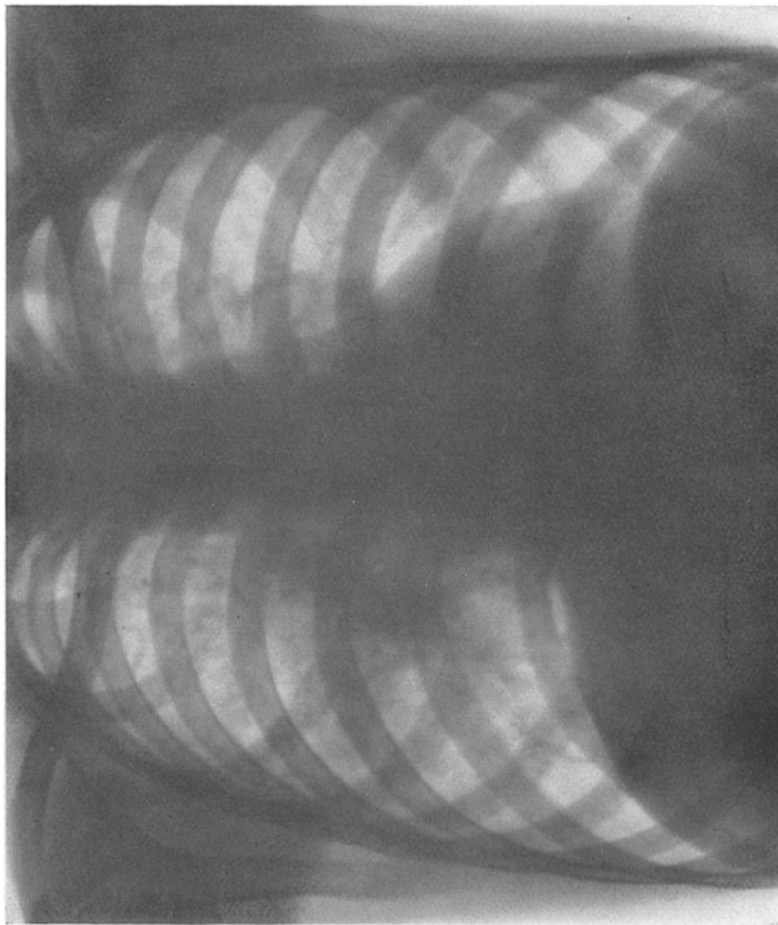


Bild 88. •

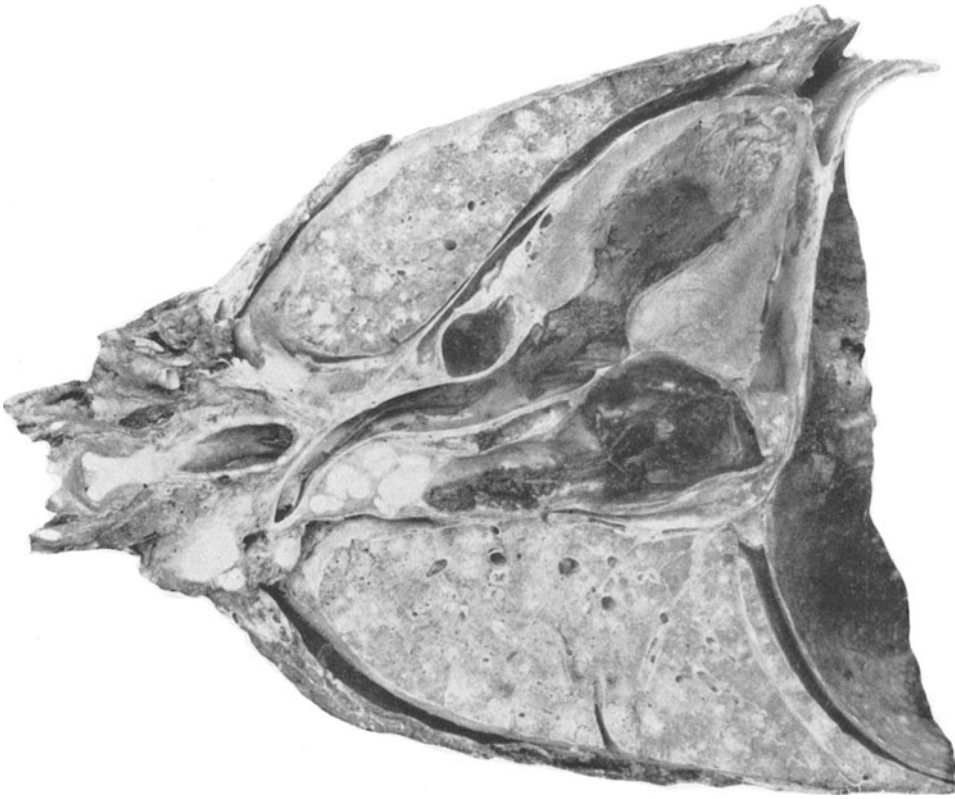


Bild 90.

Nodös-produktive Phthise beider Lungen. Große Lymphknotenpakete, besonders paratracheal und im rechten Hilusgebiet.



Bild 91.

Fall 21 (*Bild 92—93*).

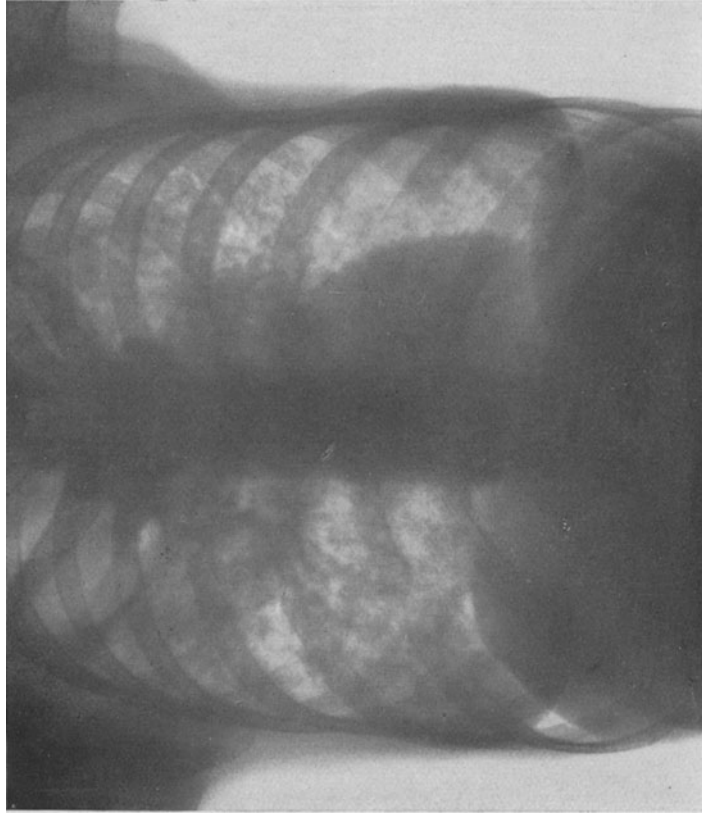


Bild 93.

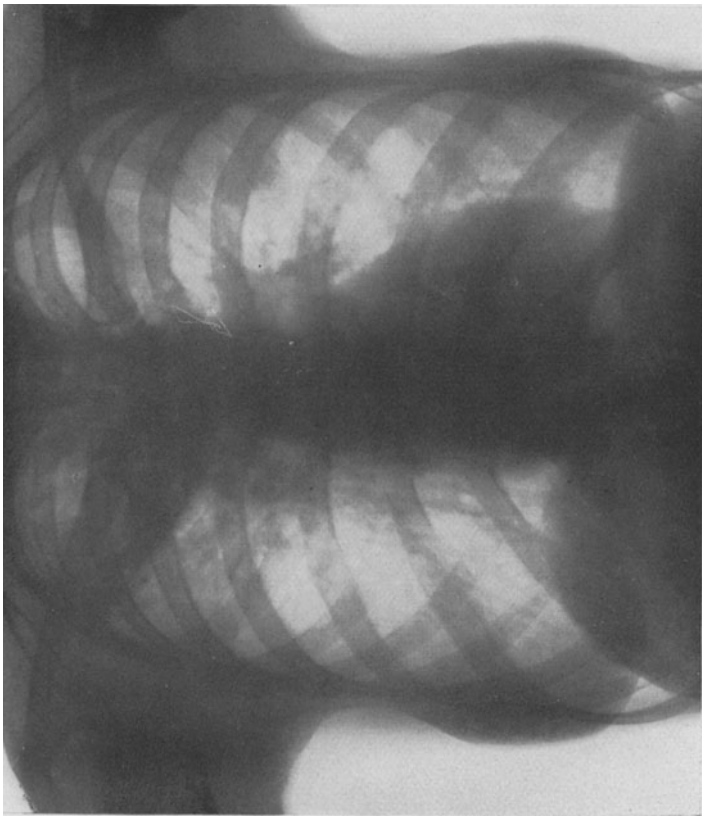


Bild 92.

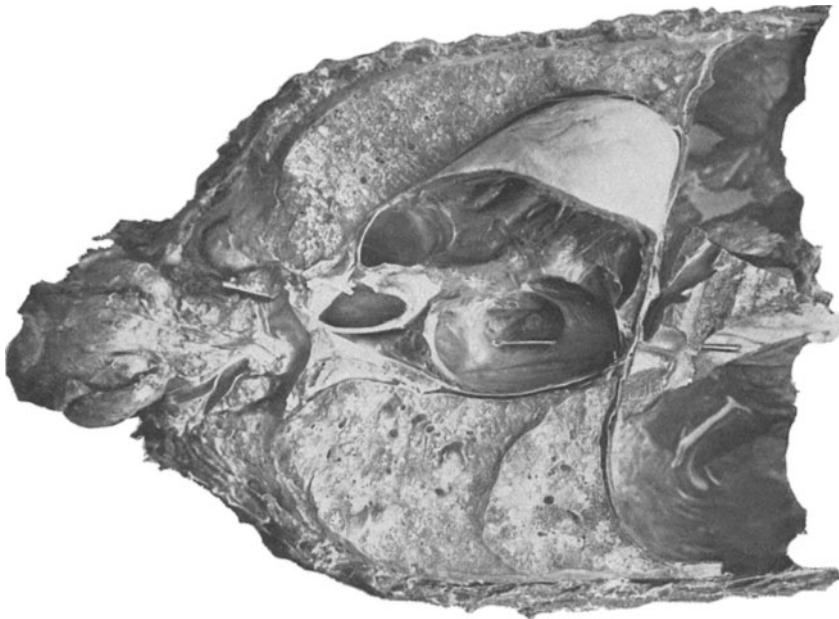


Bild 94.

Nodös-indurierende Phthise beider Lungen.



Bild 95.

Große, von induriertem Gewebe umgebene Höhle in den Oberteilen rechts.



Bild 96.

Fall 22 (Bild 97—98).



Bild 98.

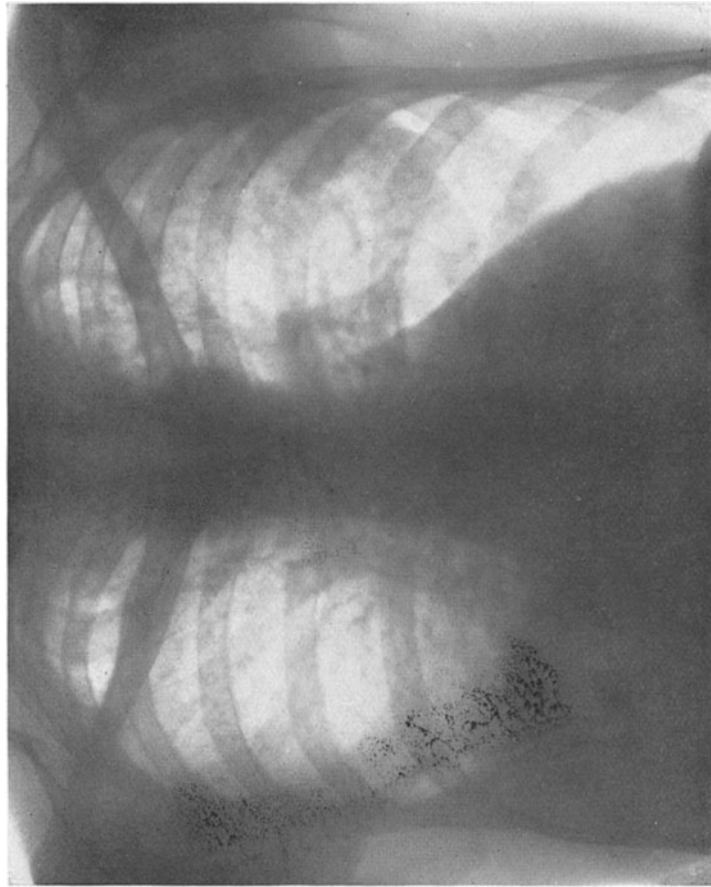


Bild 97.



Bild 99.

Lobulär-exsudative und nodöse Phthisis der linken Lunge, nodöse und lobulär-exsudative Phthisis der rechten Lunge mit Kaverne; rechtsseitiger Pleuraerguß.



Bild 100.

Fall 23 (*Bild 101—102*).

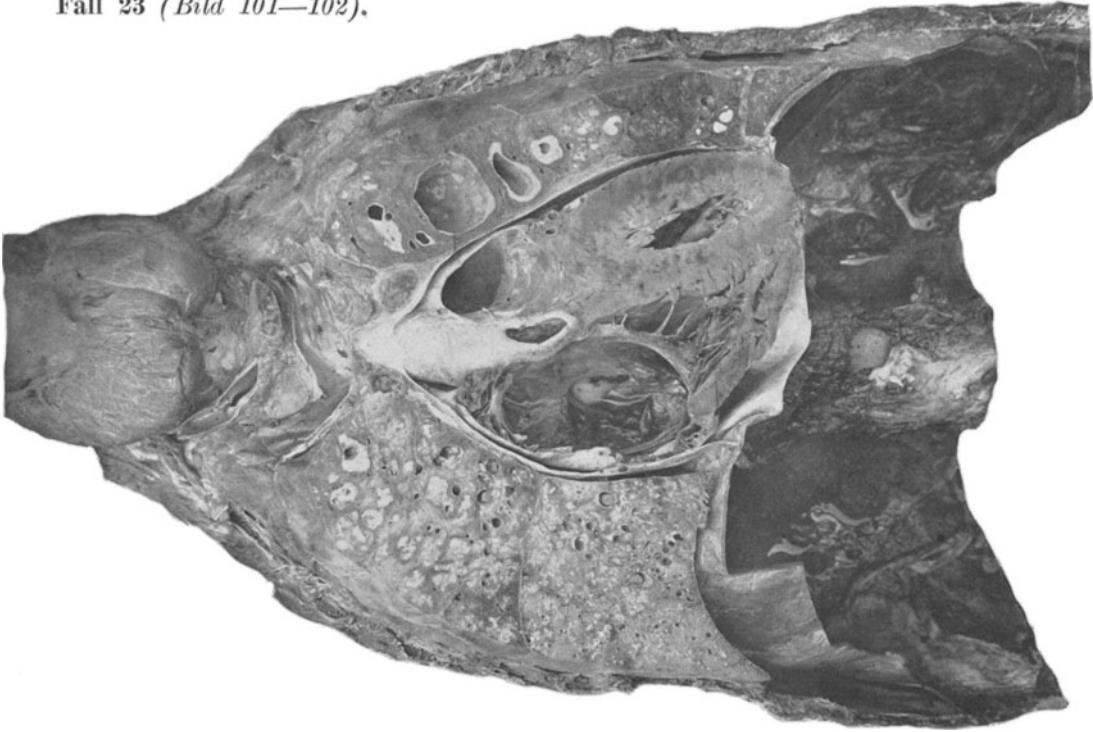


Bild 102.

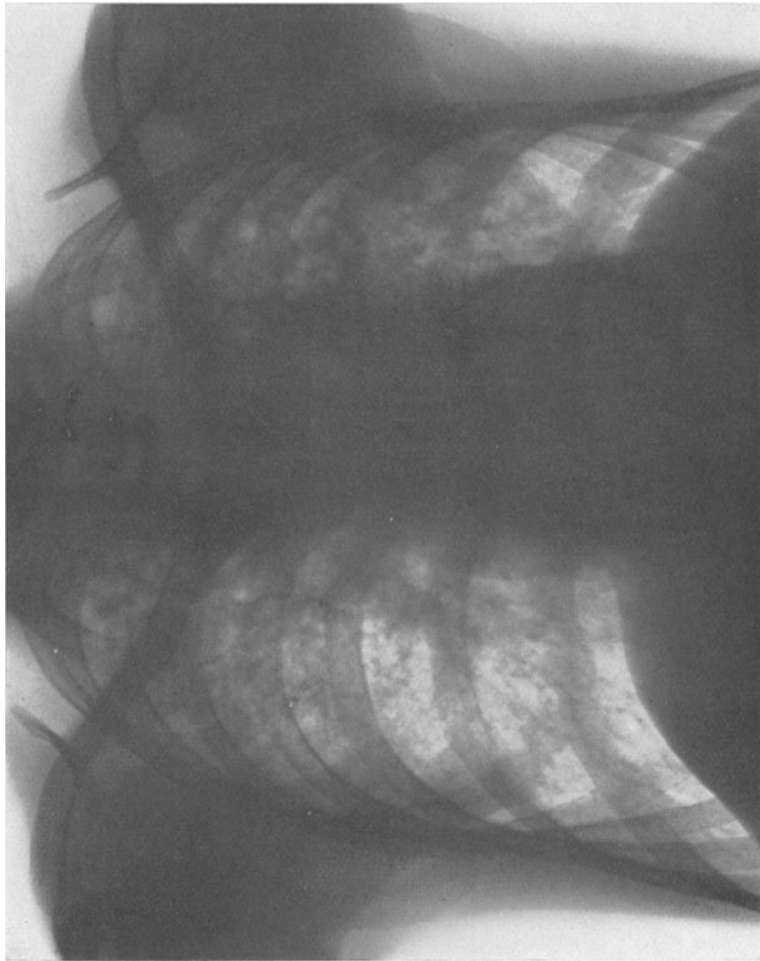


Bild 101.

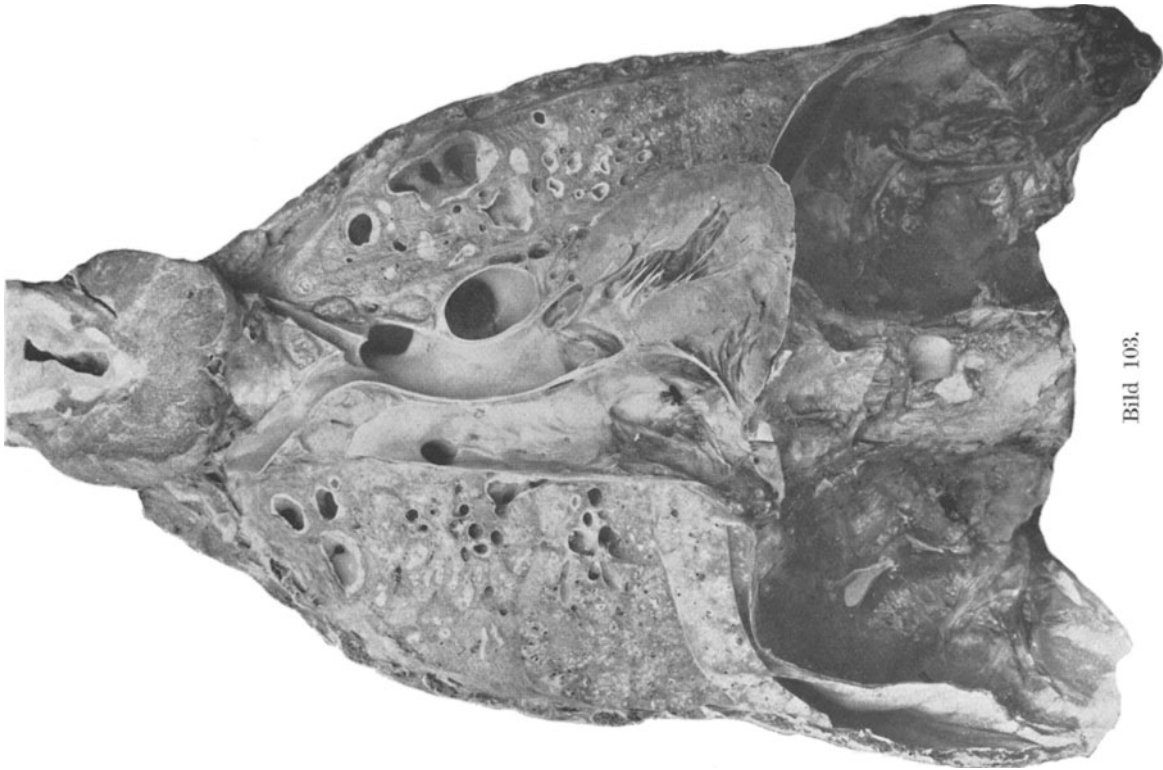


Bild 103.

Beidseitige indurierend-zirrhotische Phthise, links über die ganze Lunge ausgebreitet mit zahlreichen Kavernen. Schrumpfung links infolge Pleuraobliteration. Nodös-indurierende Herde in den mittleren Lungenteilen rechts mit Emphysem.

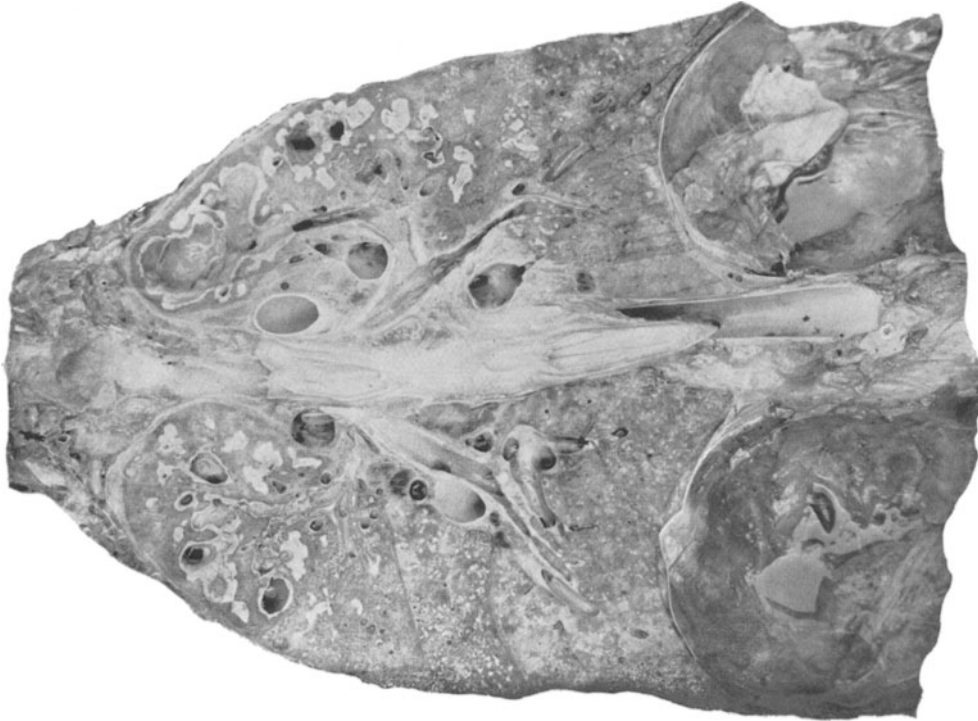


Bild 104.



Fall 24 (*Bild 105—106*).

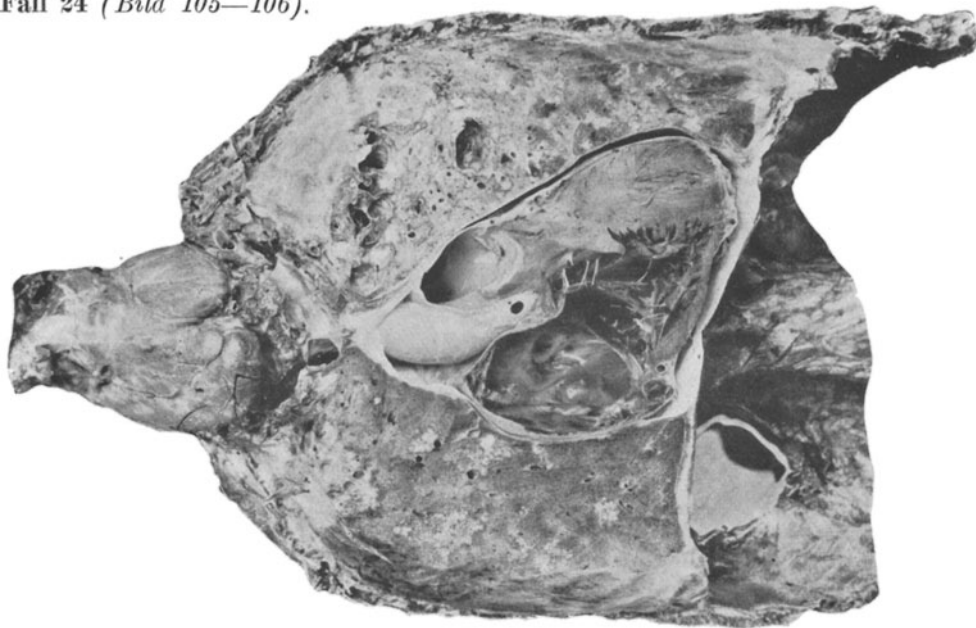


Bild 106.

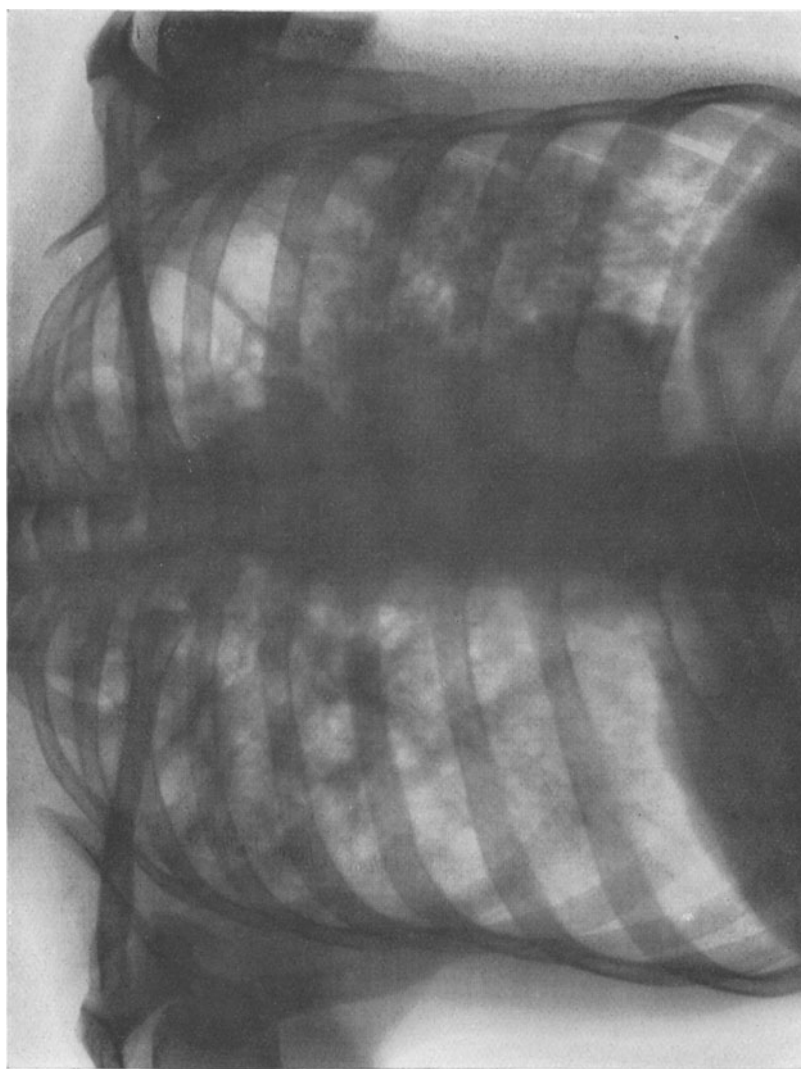


Bild 105.



Bild 107.

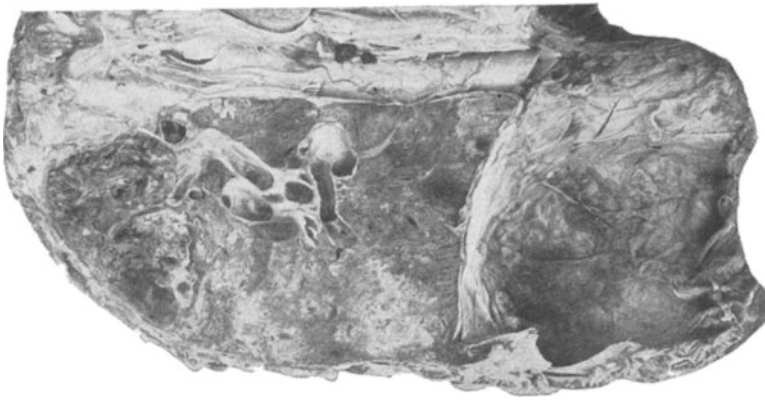


Bild 108.



Bild 109.

Indurierend-zirrhotische Phthise beider Lungen, links über die ganze Lunge ausgebreitet mit Pleuroobliteration und Thoraxschrumpfung; rechts über die obere Hälfte ausgebreitet. Höhlenbildungen in den oberen Teilen beiderseits. Nodös-indurierende Herde rechts unten.

Fall 25 (*Bild 110—111*).

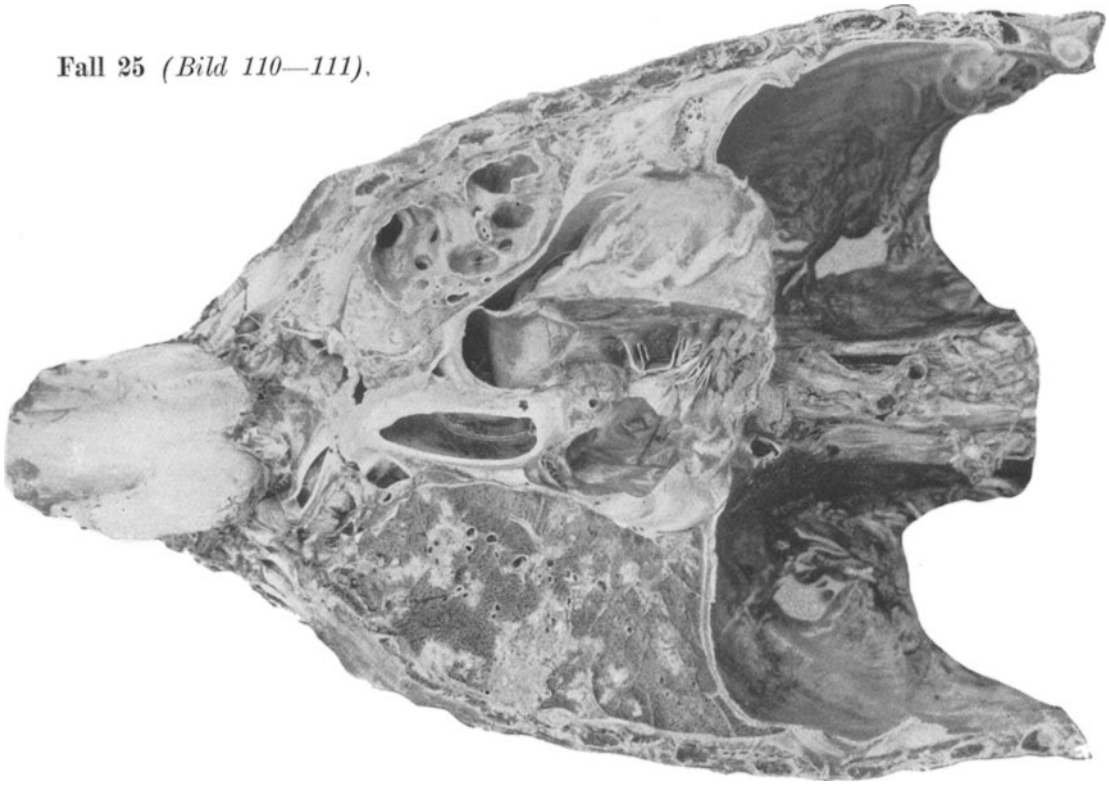


Bild 111.



Bild 110.

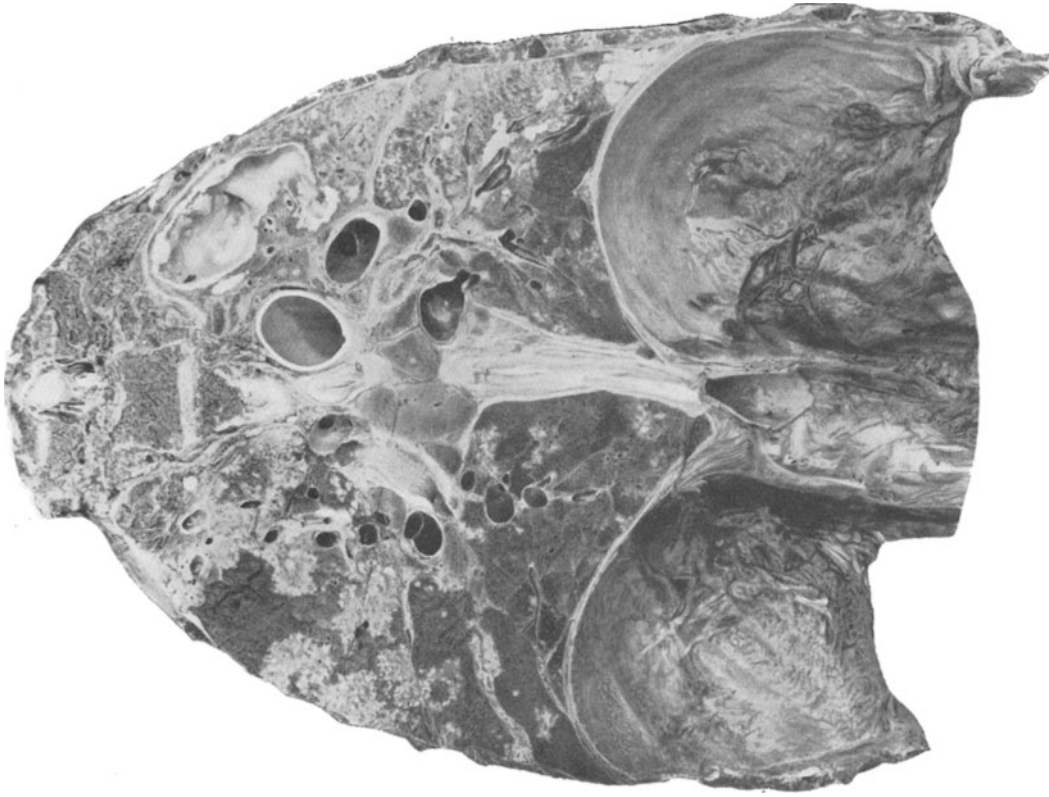


Bild 113.



Bild 112.

Diffuse, zirrhotische Phthise der linken Lunge; Kavernenbildung in den oberen und mittleren Teilen. Pleuraobliteration und sekundäre Thoraxschrumpfung links. Herdförmig indurierend-zirrhotische Phthise der rechten Lunge. Emphysem in den mittleren und basalen Teilen der rechten Lunge.

Fall 26 (*Bild 114 u. 117*).



Bild 117.



Bild 114.

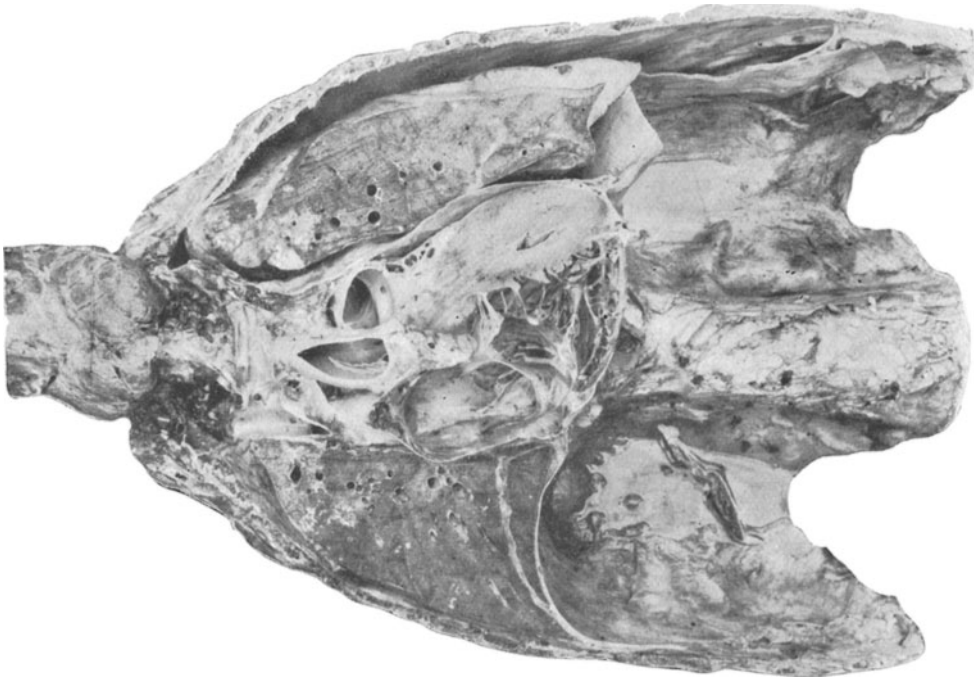


Bild 115.

Indurierend-zirrhotische Phtise in den oberen Teilen beider Lungen; rechts oben exsudative Veränderungen mit Zerkfallshöhle. Nodös-indurierende Herde in den mittleren Teilen der rechten Lunge. Beidseitiger Zwerchfellhochstand.

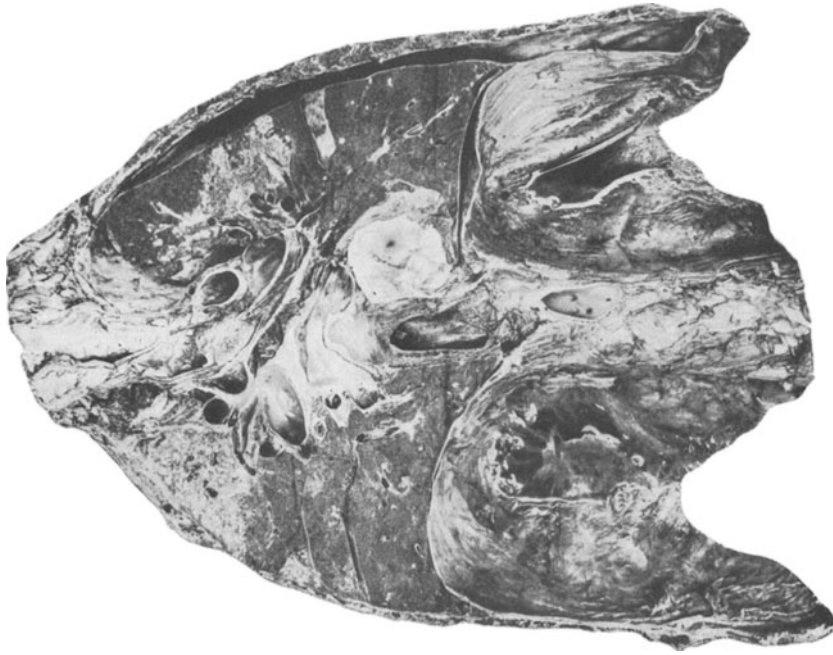


Bild 116.

Fall 27 (*Bild 118*).

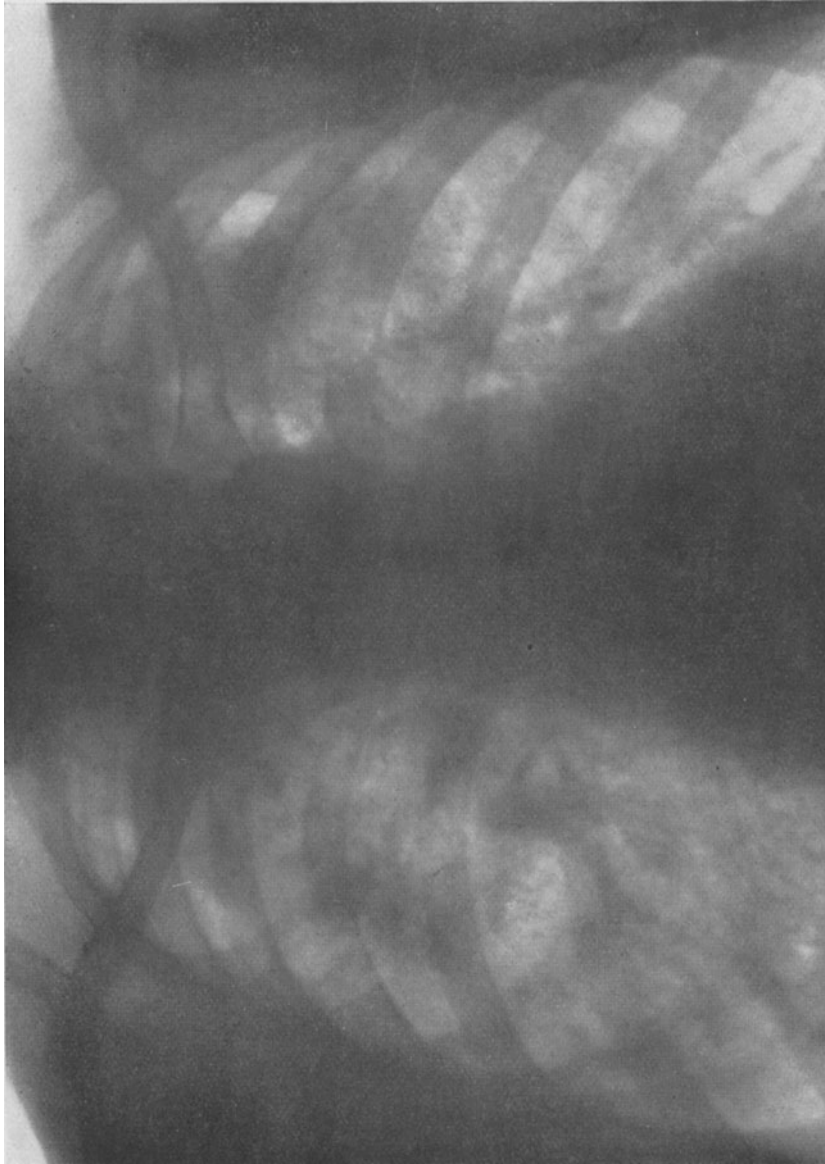


Bild 118.



Bild 119.

Indurierend-zirrhatische Phthise in den oberen Teilen beider Lungen; nodös-indurierende Herde in den mittleren und basalen Teilen beiderseits. Emphysem beider Lungen. Herzvergrößerung. (Kleiner Herzbeutelerguß.)



Bild 120.



Fall 28 (*Bild 121—122*).

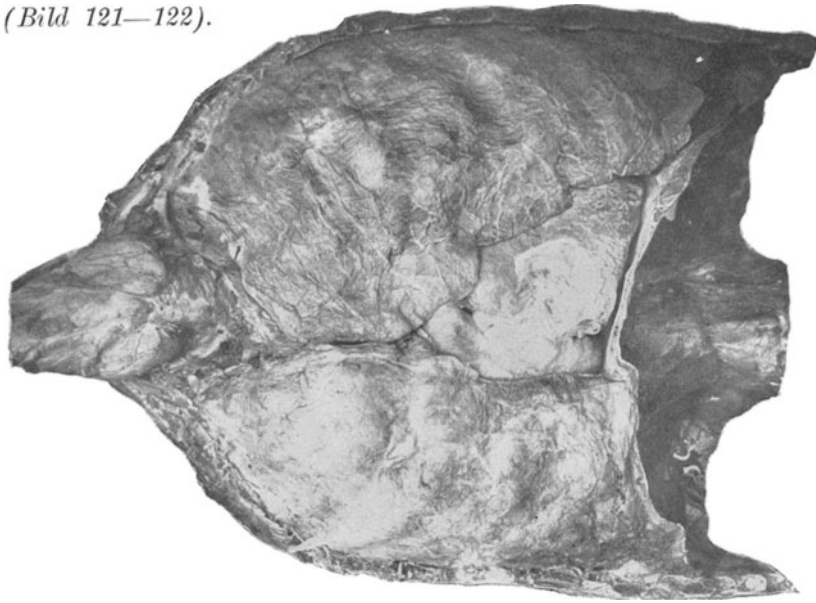


Bild 122.

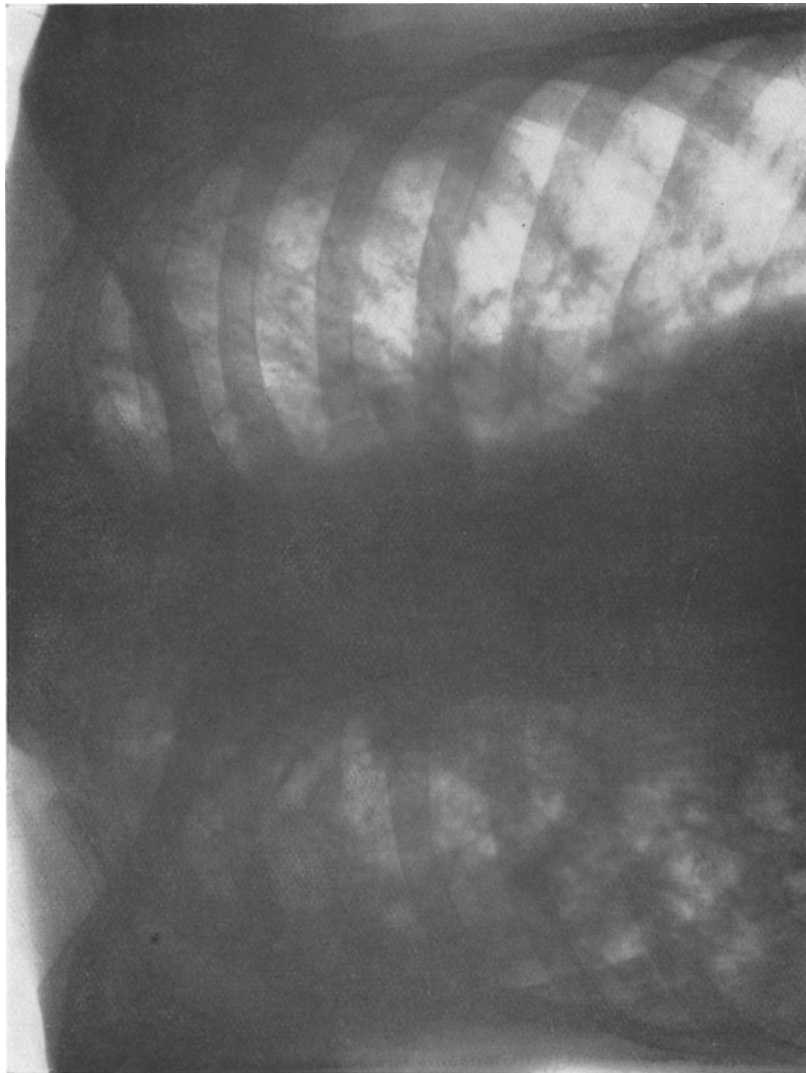


Bild 121.



Bild 123.

Diffuse zirrhotische Phthise der ganzen rechten Lunge mit Kavernen in den oberen und basalen Teilen. Pleuraobliteration und starke Schrumpfung der rechten Thoraxseite. Nodös-indurierende Phthise der oberen Hälfte der linken Lunge mit Zirrhose und Kavernen in den Spitzen. Starkes Emphysem der linken Lunge.



Bild 124.



Bild 125.

Fall 29 (Bild 126—127).



Bild 127.

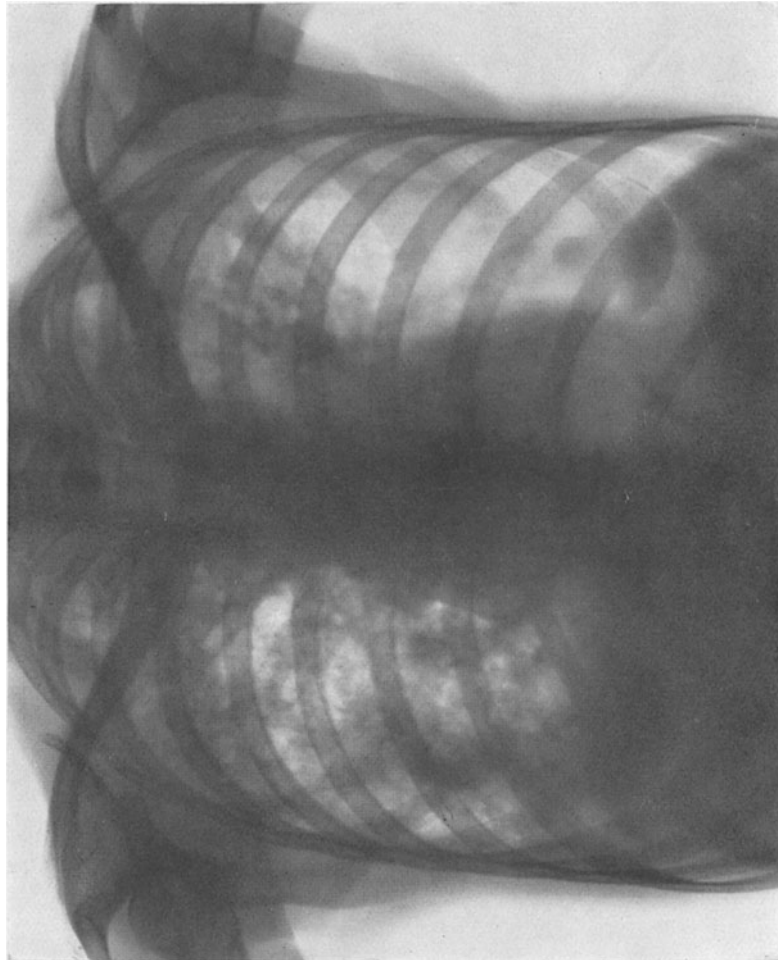


Bild 126.



Bild 128.

Zirrhatische Phthise der kranialen Teile beider Lungen mit Kavernen. Indurierend-zirrhatische Herdbildungen in den mittleren und basalen Teilen der rechten Lunge. Emphysem in den mittleren und basalen Teilen der linken Lunge. Pleuroobliteration mit Thoraxschrumpfung rechts.

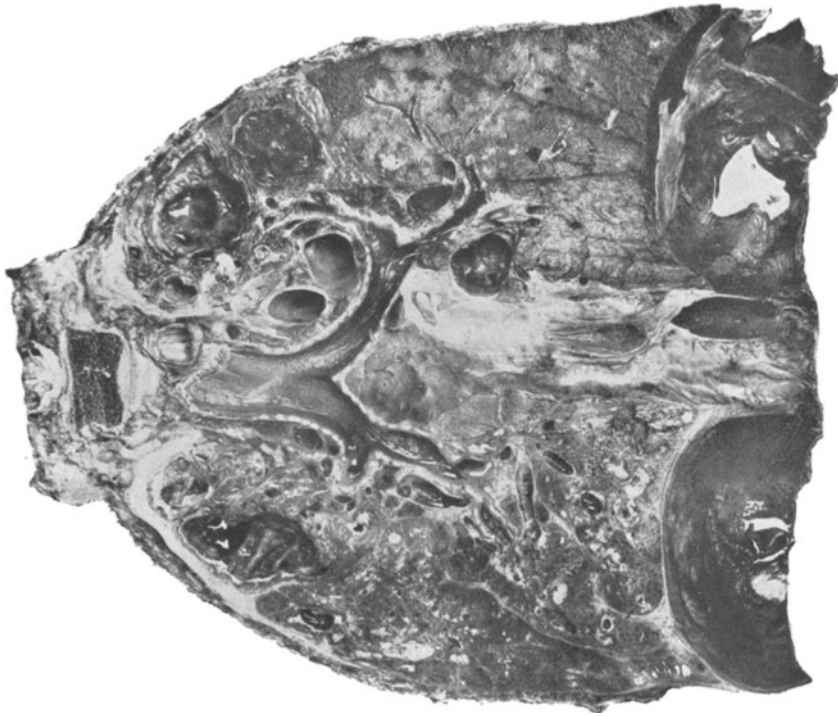


Bild 129.

Fall 30 (Bild 130—131).

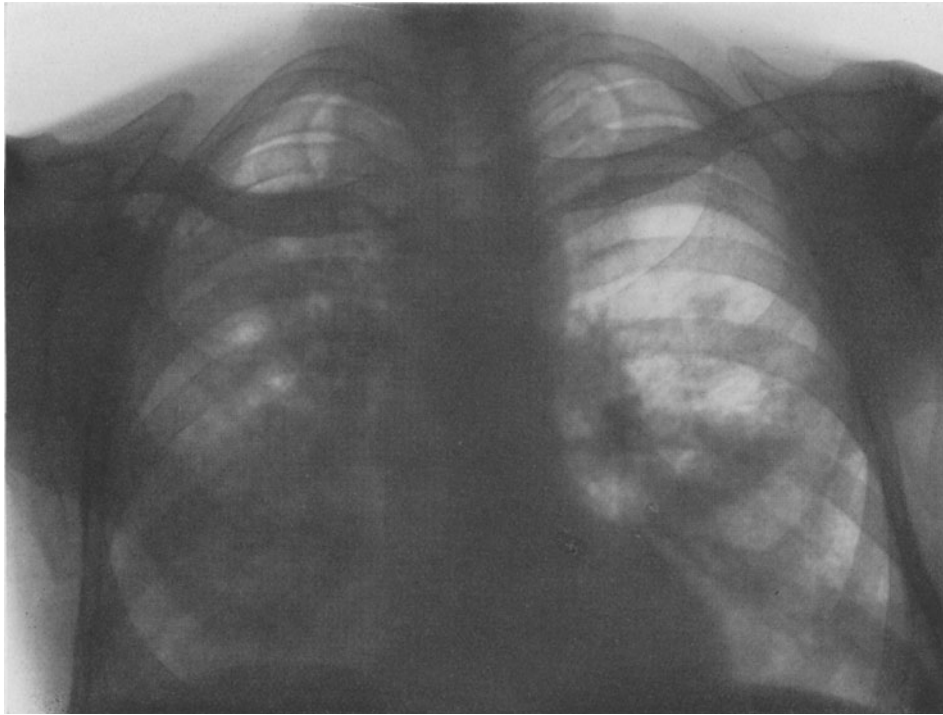


Bild 130.

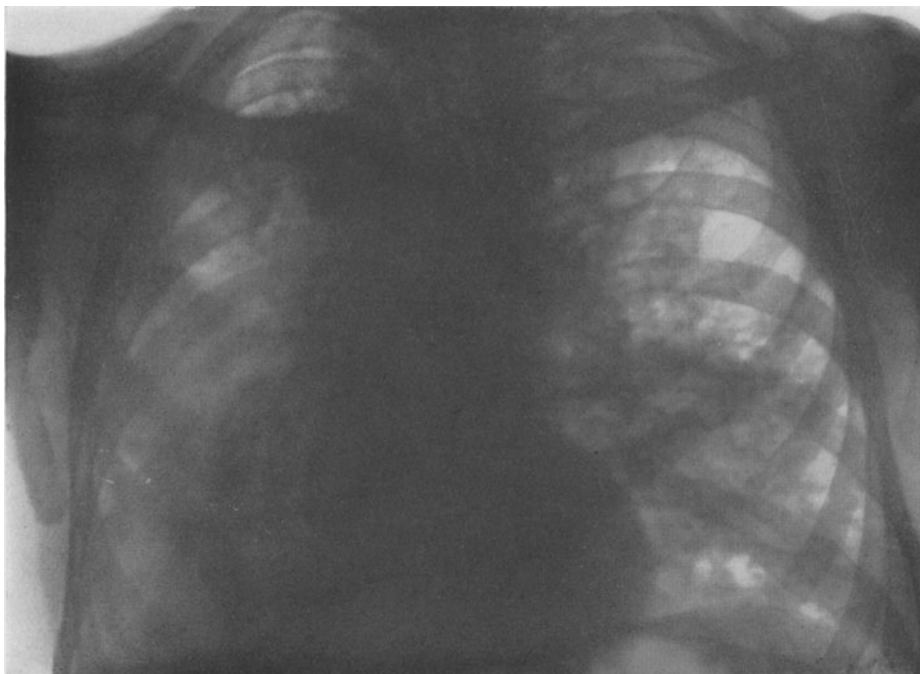


Bild 131.

Diffuse, indurierend-zirrhatische Phthise der ganzen rechten Lunge mit Höhlenbildungen in den oberen Indurationen. Schrumpfung der rechten



Bild 132.

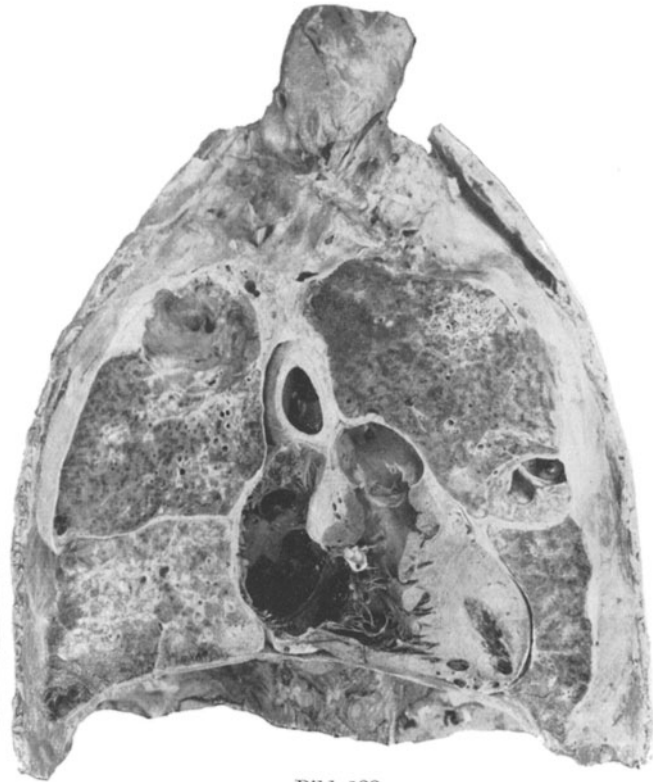


Bild 133.

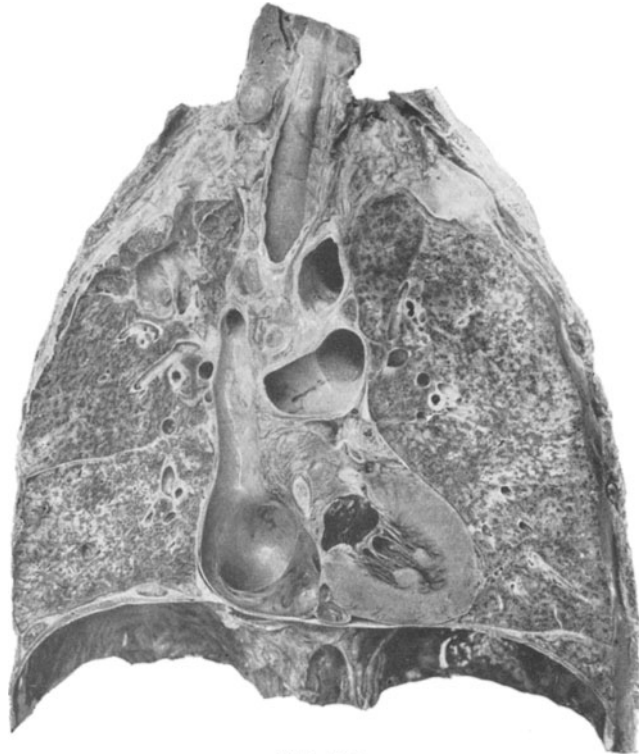
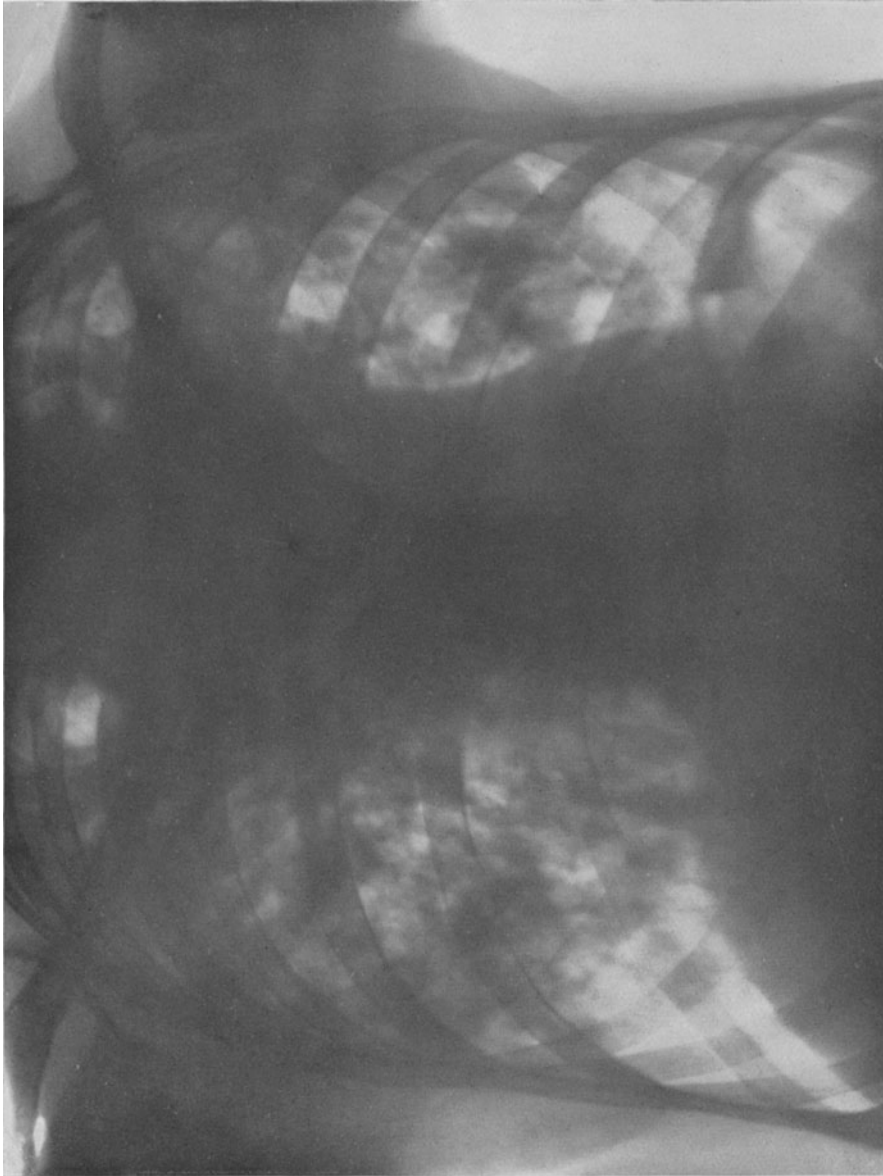


Bild 134.

Teilen. Vorwiegend indurierend zirrhotische Phthise der linken Lunge. Verkäste Herde zwischen den Thoraxseite durch Pleuraobliteration.

**Fall 31** (*Bild 135*).



**Bild 135.**



Bild 136.

Über beide Lungen ausgebreitete, vorwiegend lobulär-exsudative bzw. exsudativ-käsige Phthise. In den oberen Teilen beiderseits auch indurative Veränderungen. Kavernensystem in den oberen Teilen der linken Lunge. Kaverne in den Spitzenteilen rechts. Pleuraschwarte und Schrumpfung links oben.

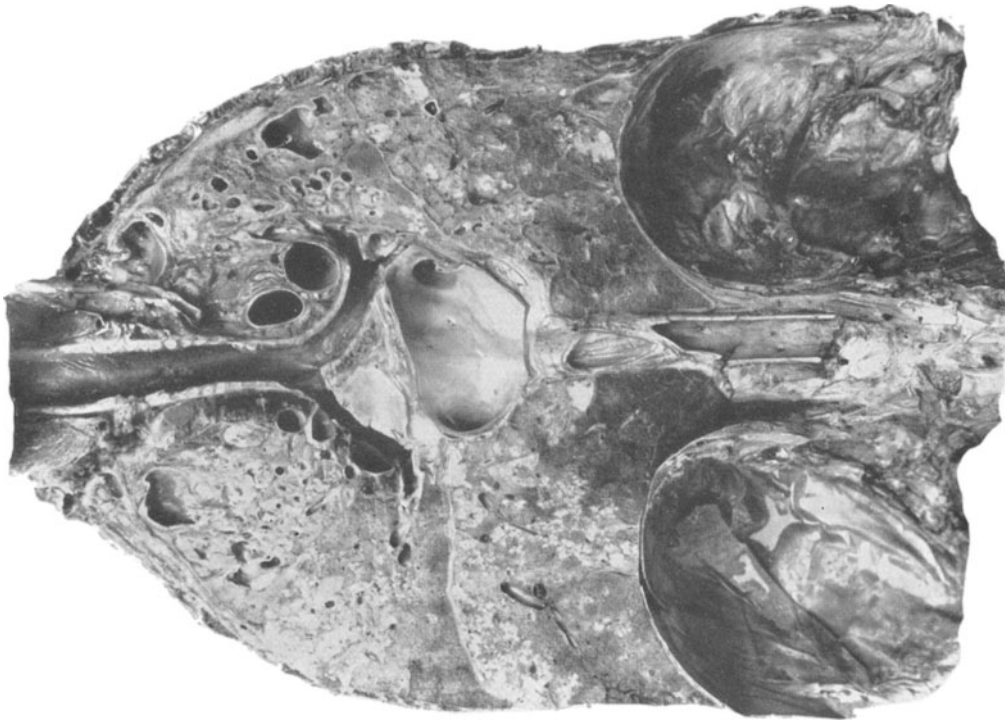


Bild 137.



Fall 32 (*Bild 138*).

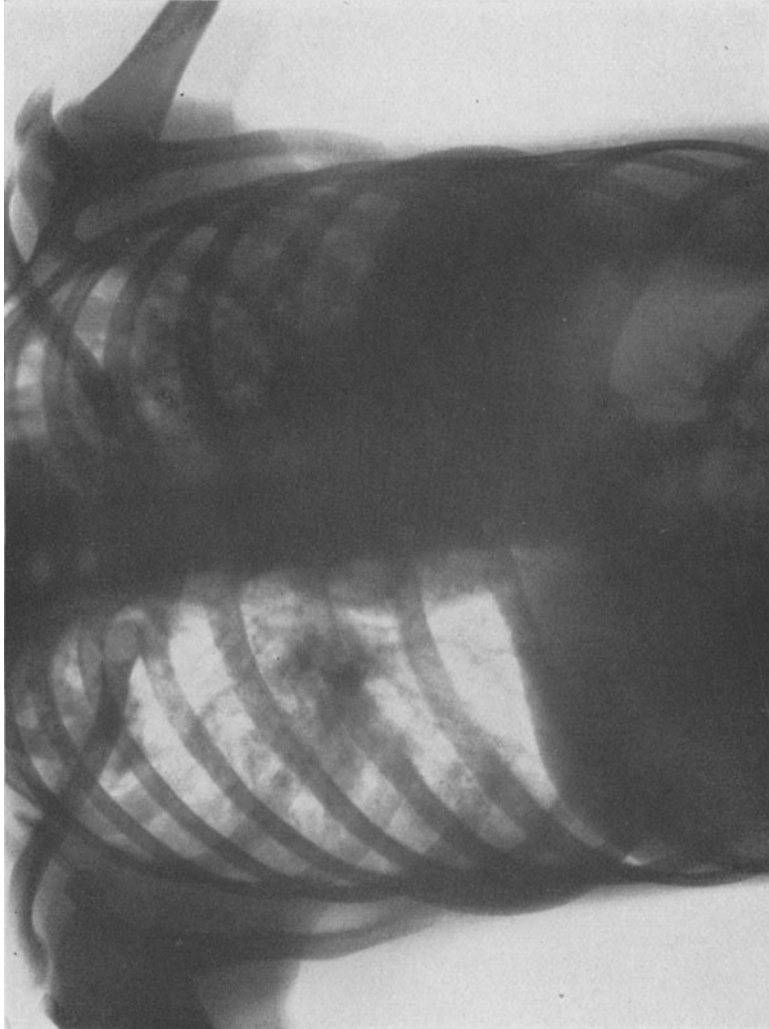


Bild 138.



Bild 139.

Lobär-käsige Phthise der ganzen linken Lunge mit ausgedehnten Zerfallshöhlen. Lobulär-exsudative Herde in den oberen und in den mittleren Teilen der rechten Lunge.

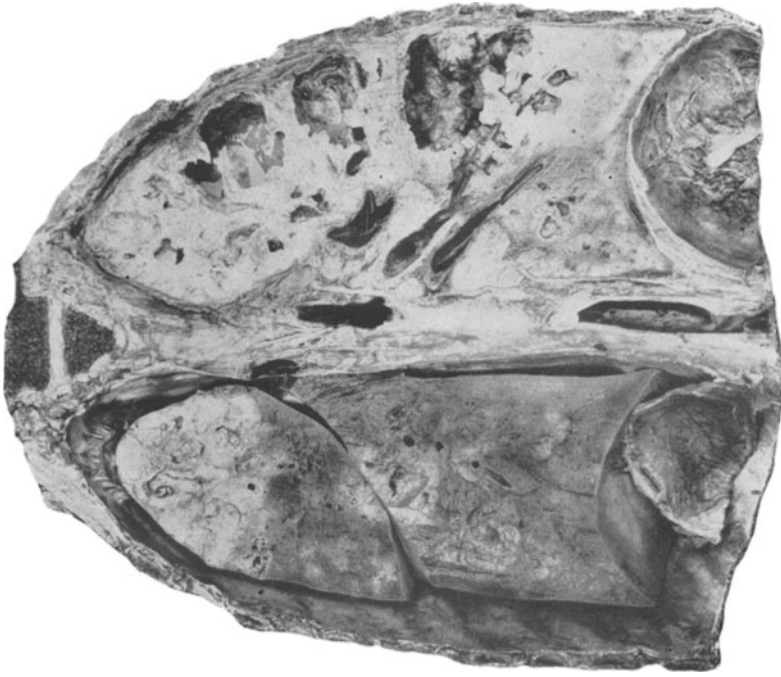


Bild 140.

**Fall 33** (*Bild 141*).



**Bild 141.**

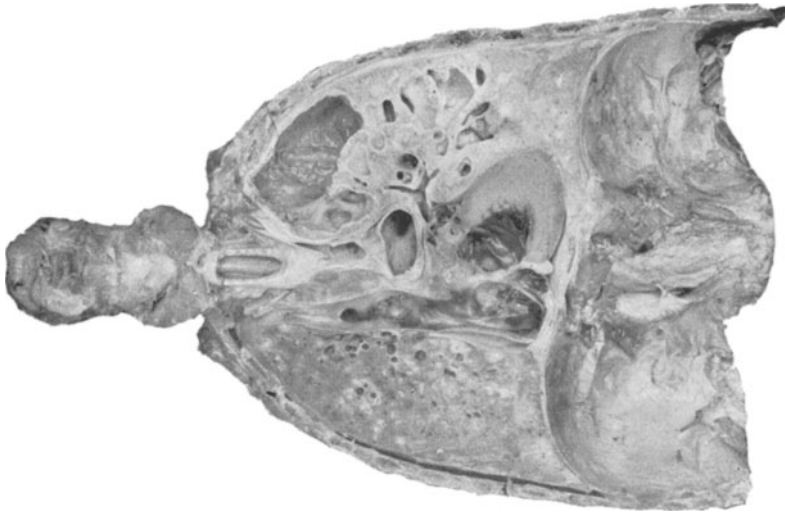


Bild 142.

Lobär-käsige Phtihise der ganzen linken Lunge mit ausgedehnten Zerfallshöhlen. Lobulär-exsudative und vereinzelt azinös-nodöse Herde in der rechten Lunge.



Bild 143.

Fall 34 (*Bild 144—145*).



Bild 145.



Bild 144.

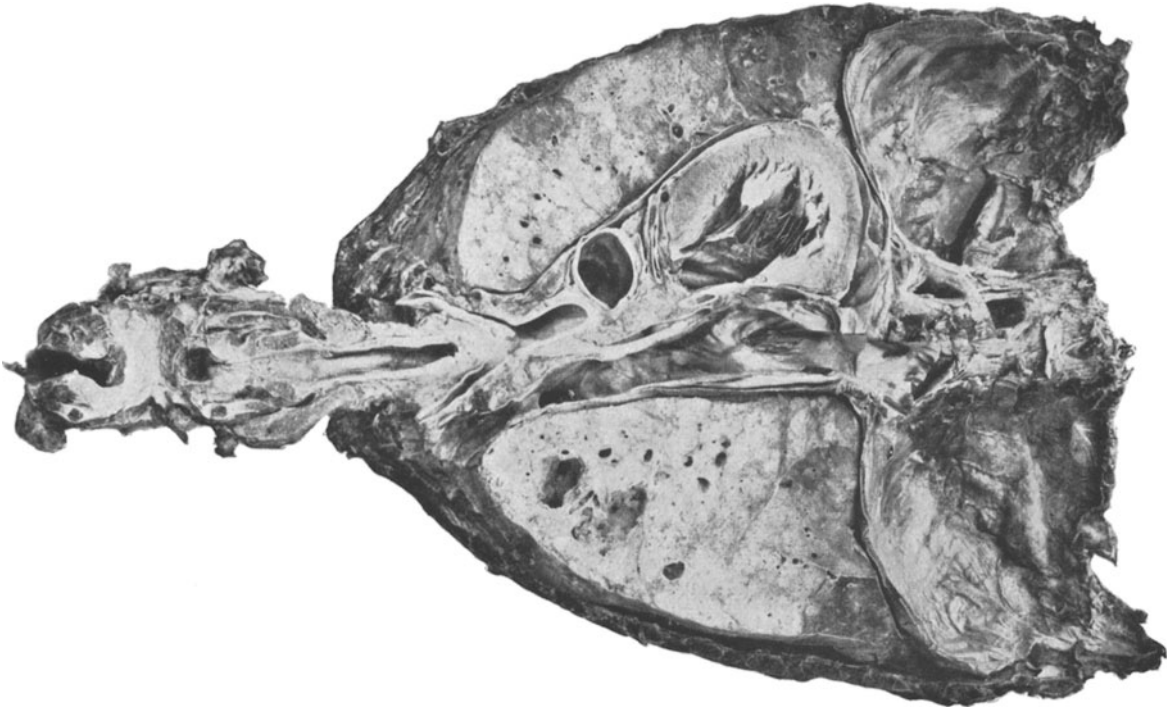


Bild 146.

Lobar-exsudative Phthisis der rechten Lunge; Höhlenbildung in den oberen Teilen. Exsudative und indurierende Herdbildungen in den medial gelegenen basalen Teilen der linken Lunge. Nodöse, nodös-indurierende und exsudativ-käsige Herde in den mittleren Teilen und in den medial gelegenen basalen Teilen der linken Lunge.



Bild 147.

Fall 35 (*Bild 148—149*).

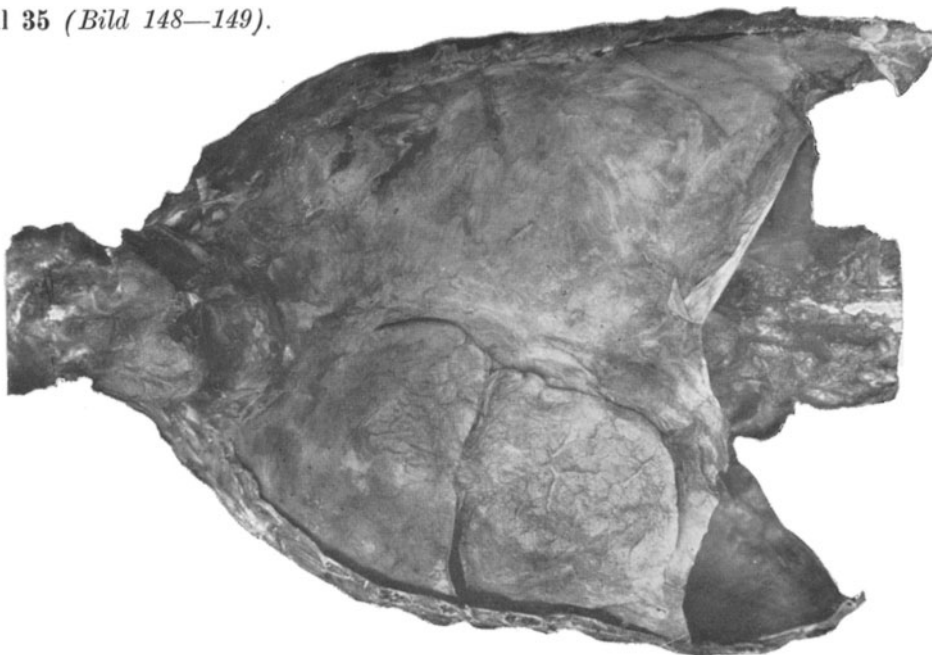


Bild 149.

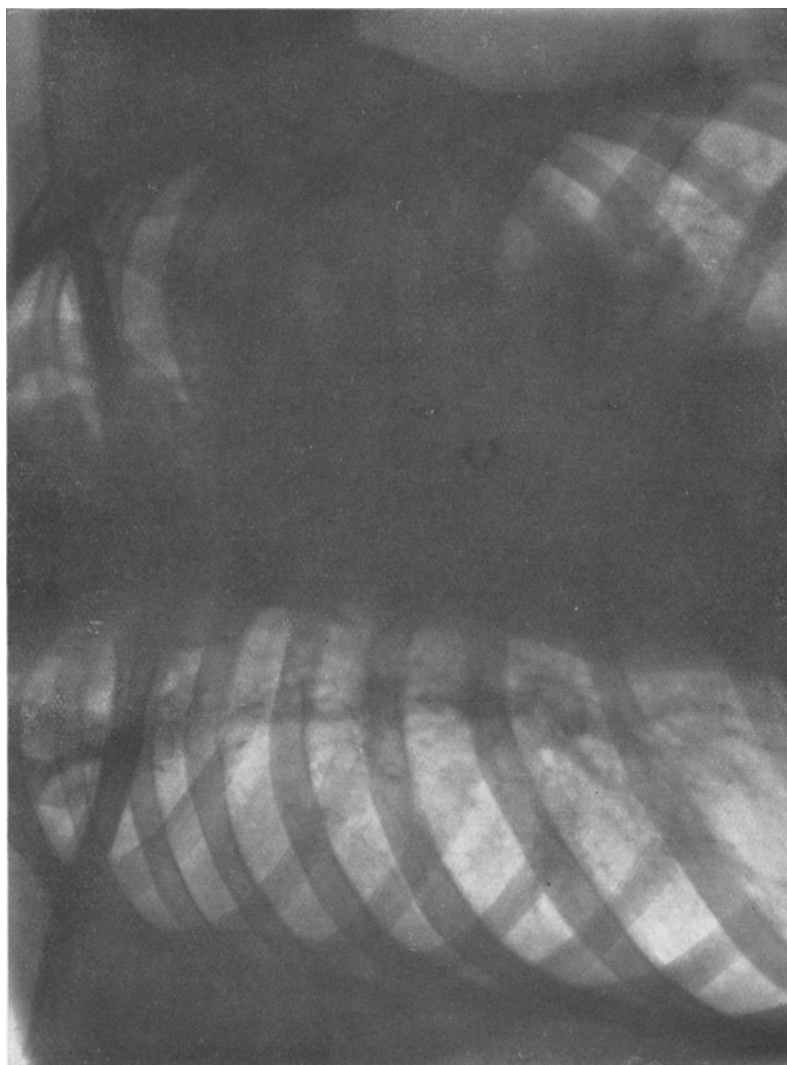


Bild 148.



Bild 150.

Lobär-exsudative Phthisis der linken Lunge mit Höhlenbildungen.



Bild 151.

Indurierte Herde in der rechten Lungenspitze. Verkreidete und verkäste Lymphknoten rechts.



Bild 152.



Fall 36 (*Bild 153*).

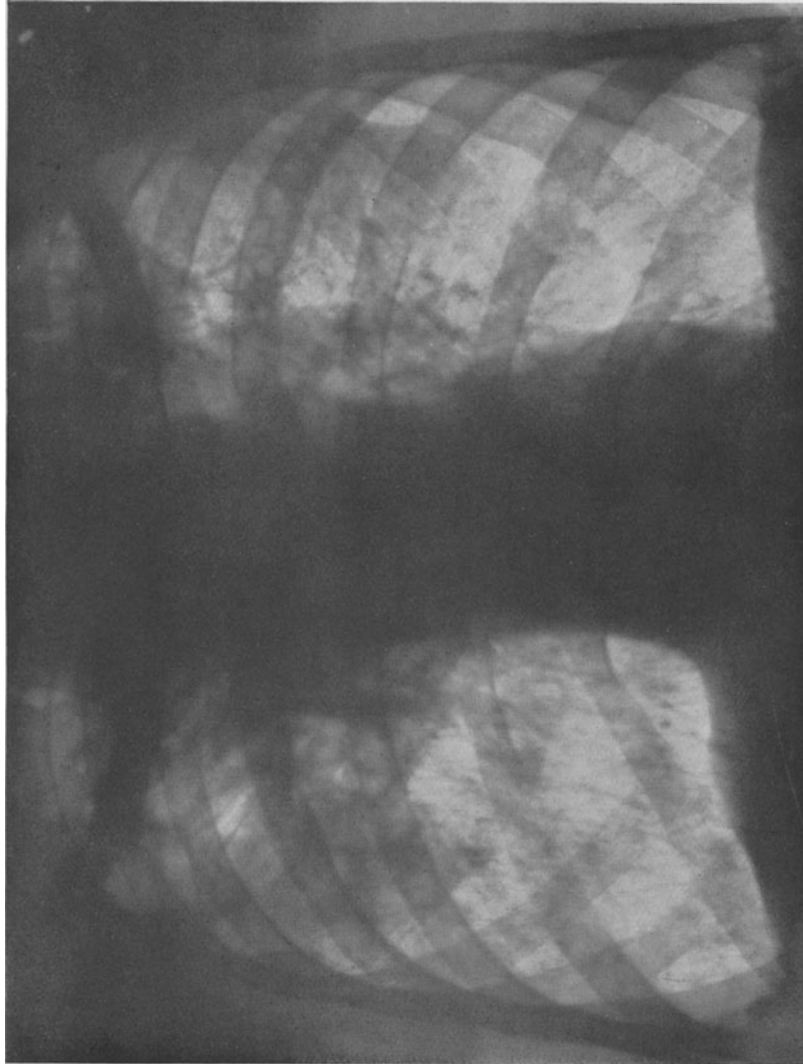


Bild 153.

Fall 36 (*Bild 154*).

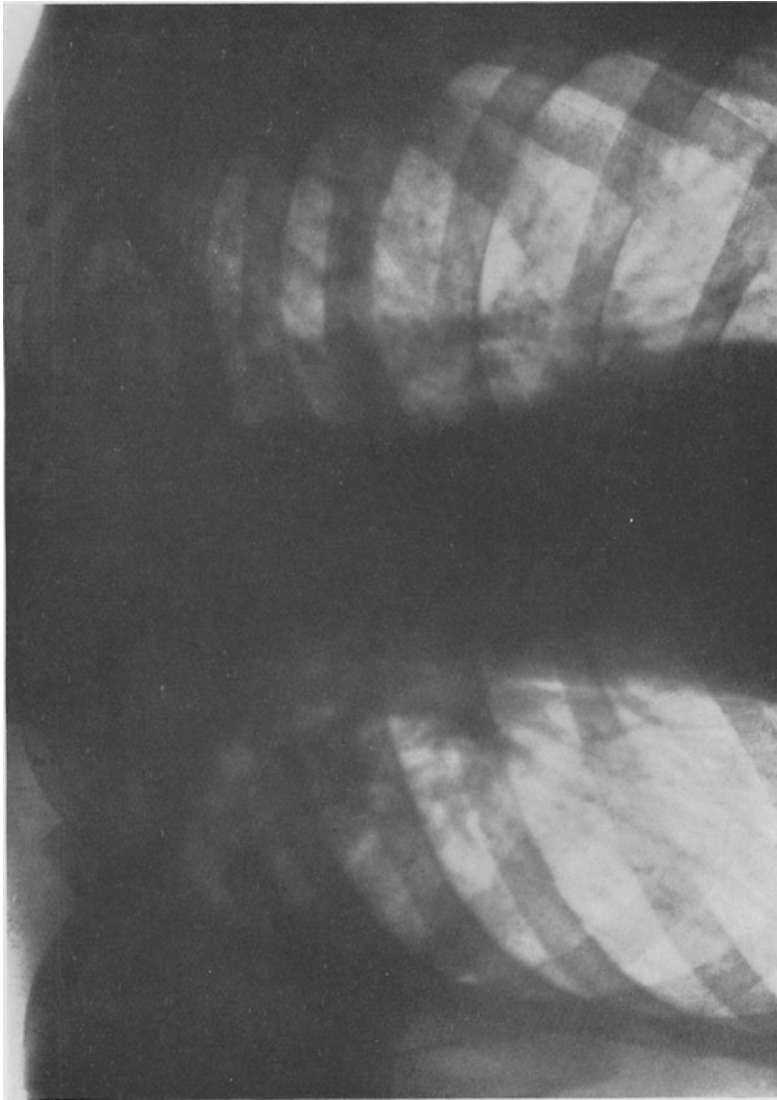


Bild 154.



Bild 156.

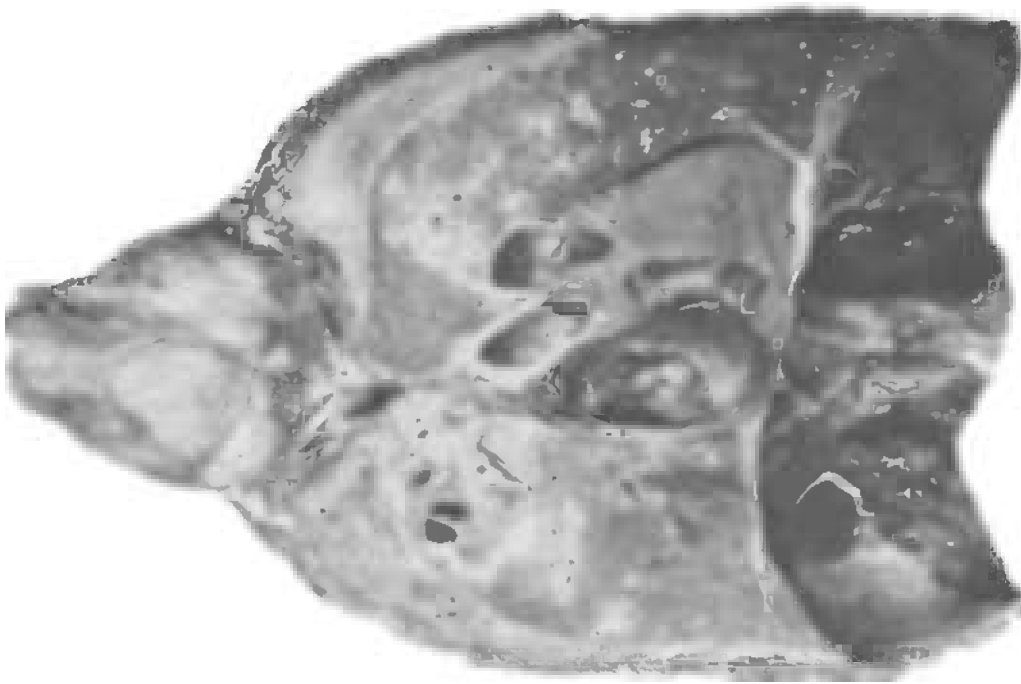


Bild 155.

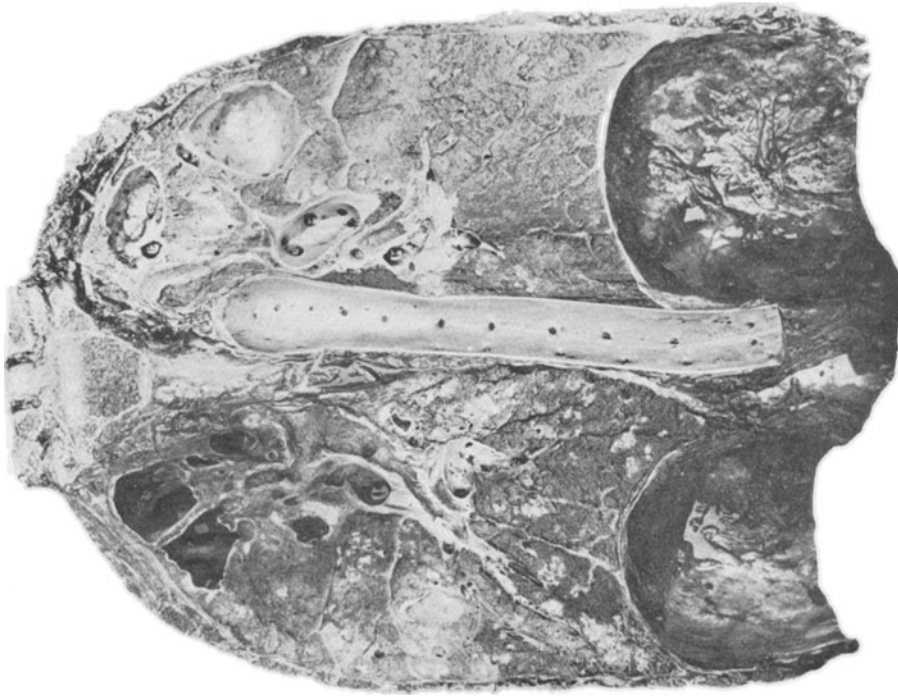
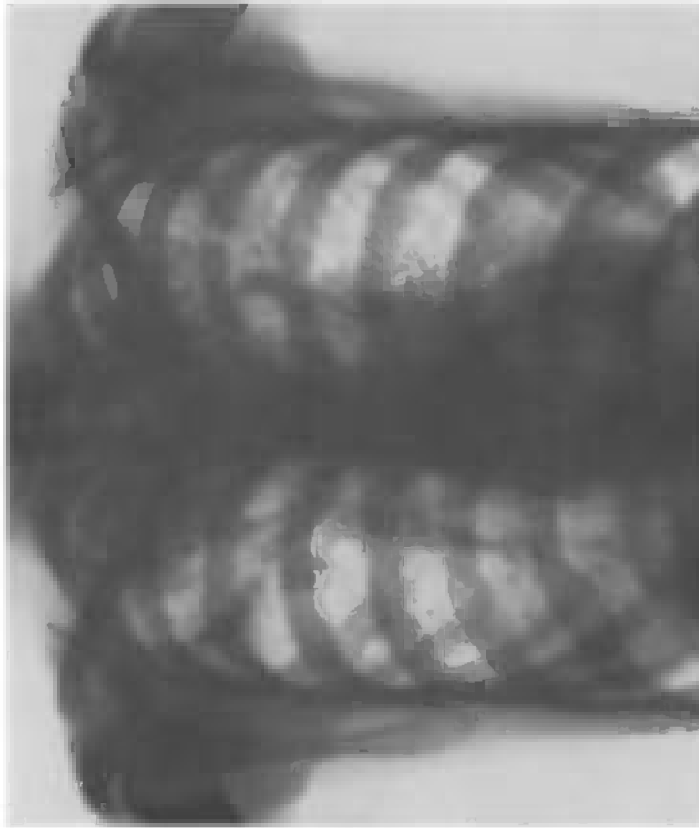


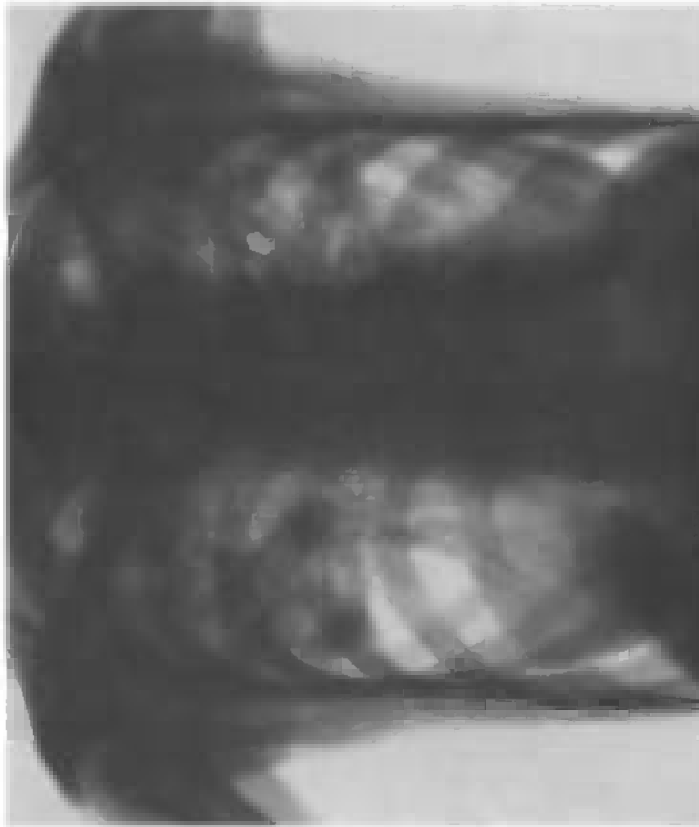
Bild 157.

Über die obere Hälfte beider Lungen ausgebreitete, vorwiegend lobulär-exsudative Pathose mit großen Höhlenbildungen in den oberen und seitlichen Teilen beider Lungen. Vereinzelt nodöse und nodös-indurierende Herde in den mittleren Teilen beider Lungen. Pleuraobliteration beiderseits, Emphysem in den basalen Teilen beider Lungen.

Fall 37 (*Bild 158—159*).



**Bild 159.**



**Bild 158.**

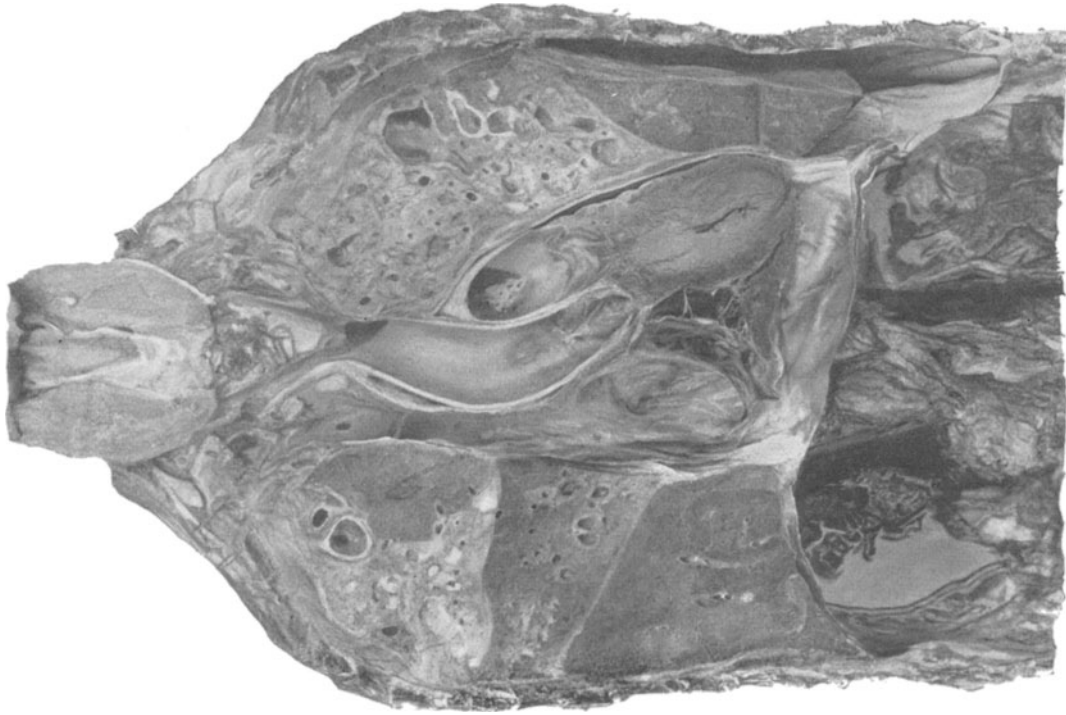


Bild 160.

Indurierend-zirrhotische Phthise beider Lungen mit grossen Höhlenbildungen. Exsudativ-käsige Herde zwischen den indurierten Herden. Emphysem der basalen Lungenteile mit erweiterten, gestreckten Gefässen.

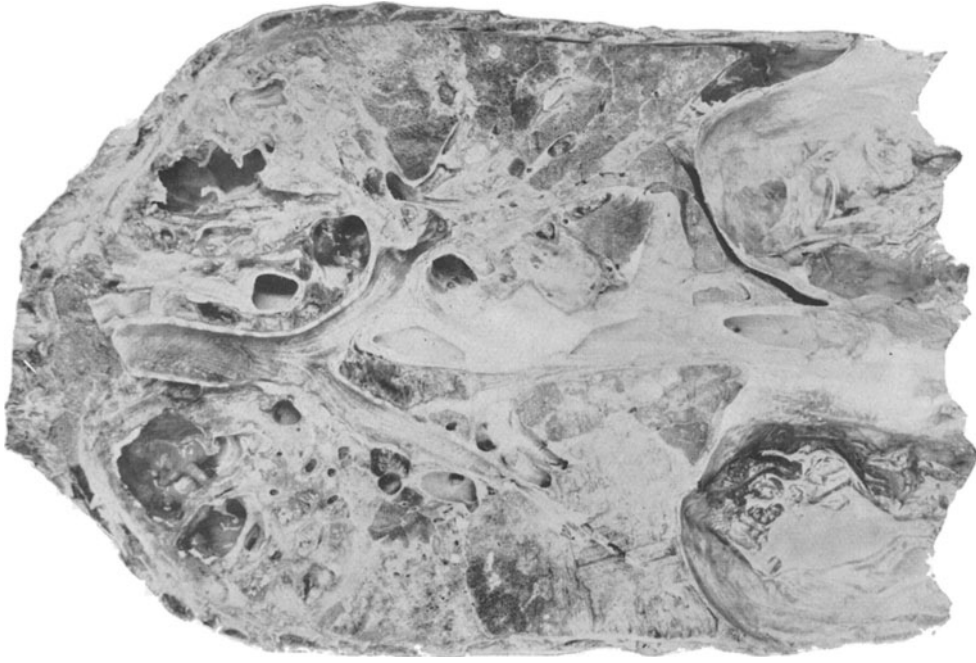


Bild 161.

Fall 38 (*Bild 162*).

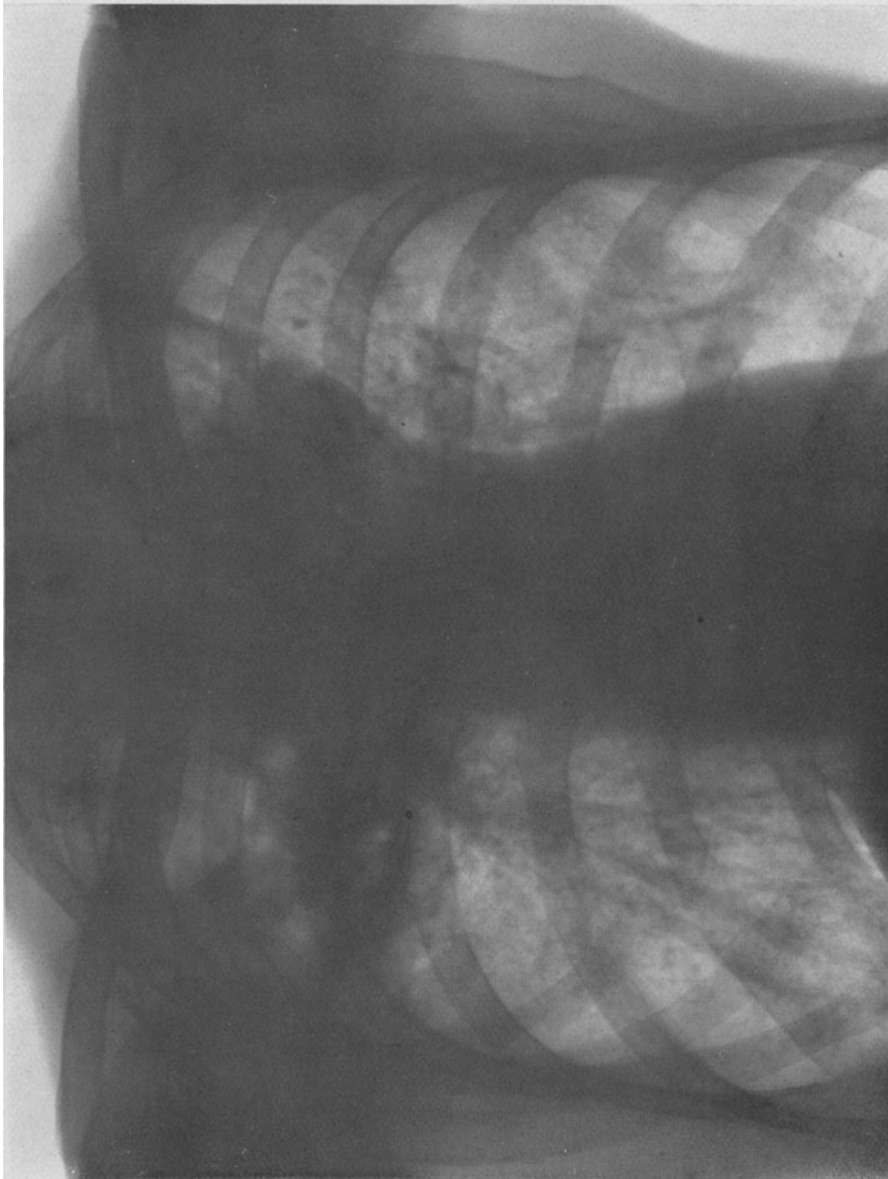


Bild 162.

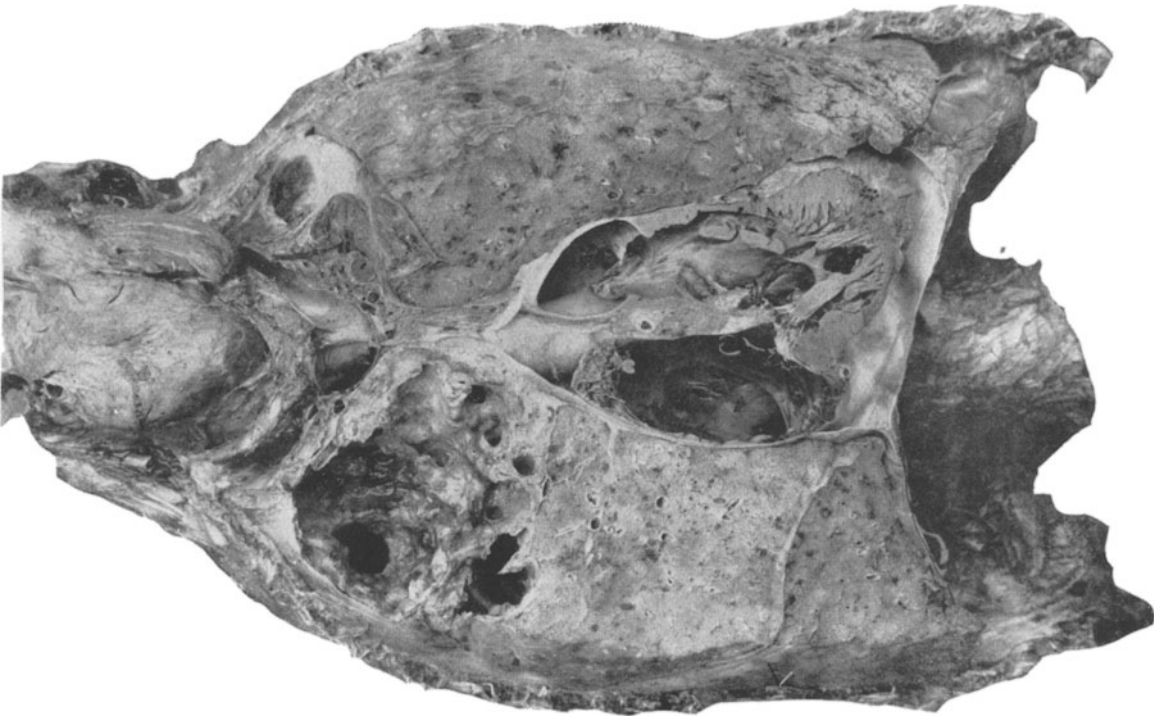


Bild 163.

Indurierend-zirrhotische Phthise der oberen Teile beider Lungen mit großen Höhlenbildungen. Emphysem der basalen Teile beiderseits mit erweiterten Gefäßen.

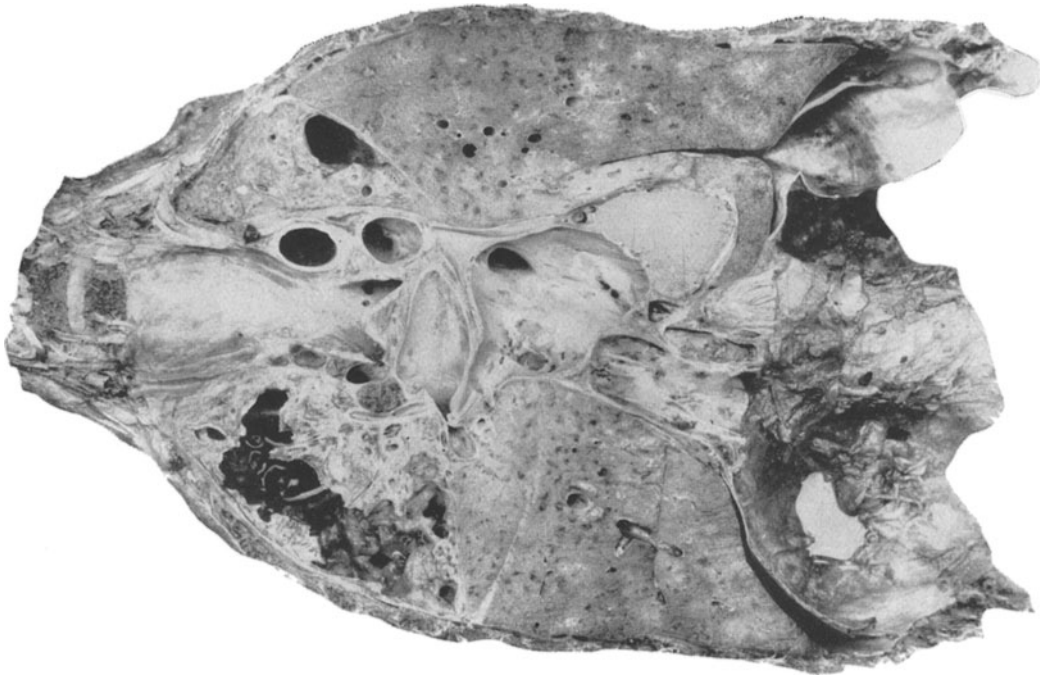


Bild 164.



Fall 39 (Bild 165—166).

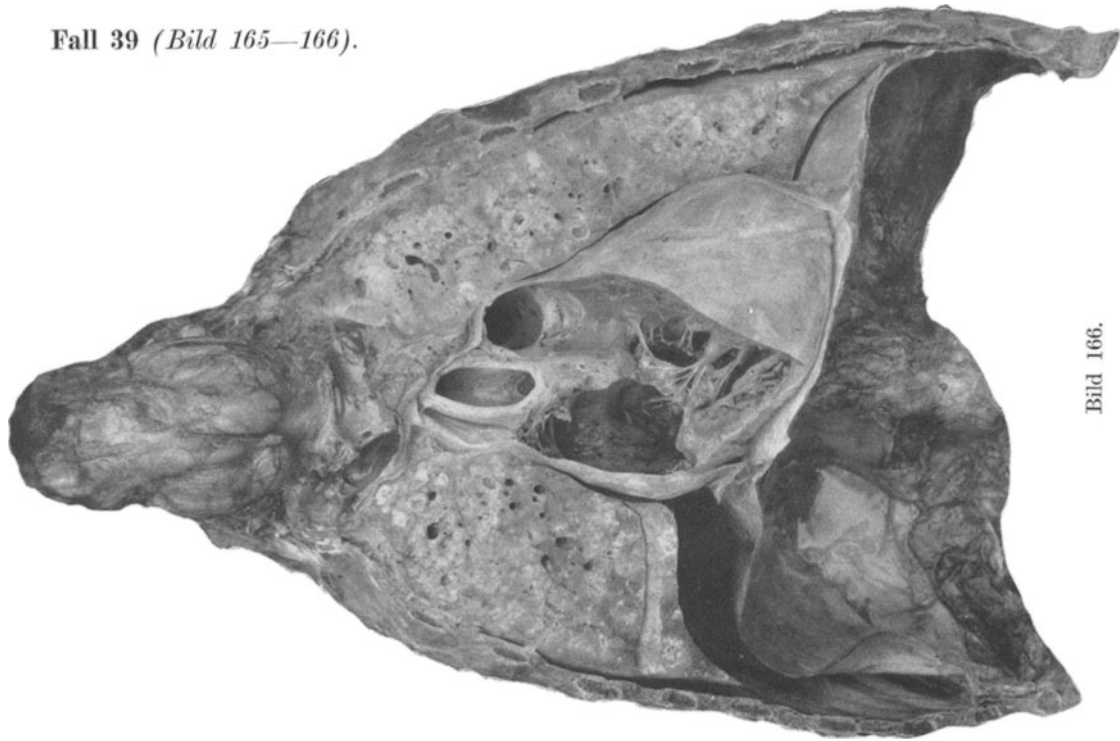


Bild 166.

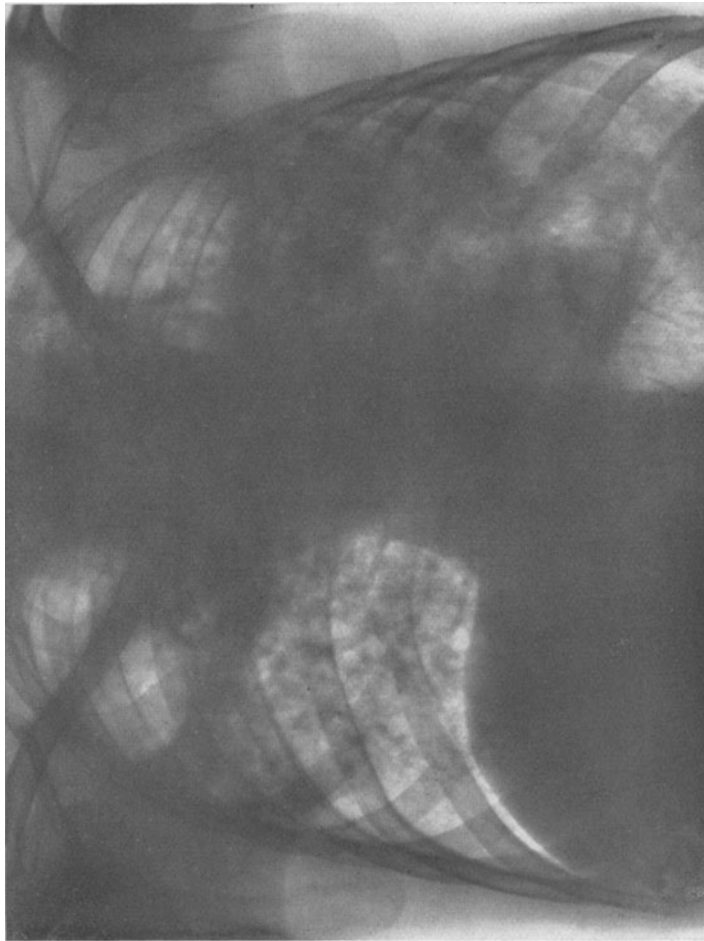


Bild 165.

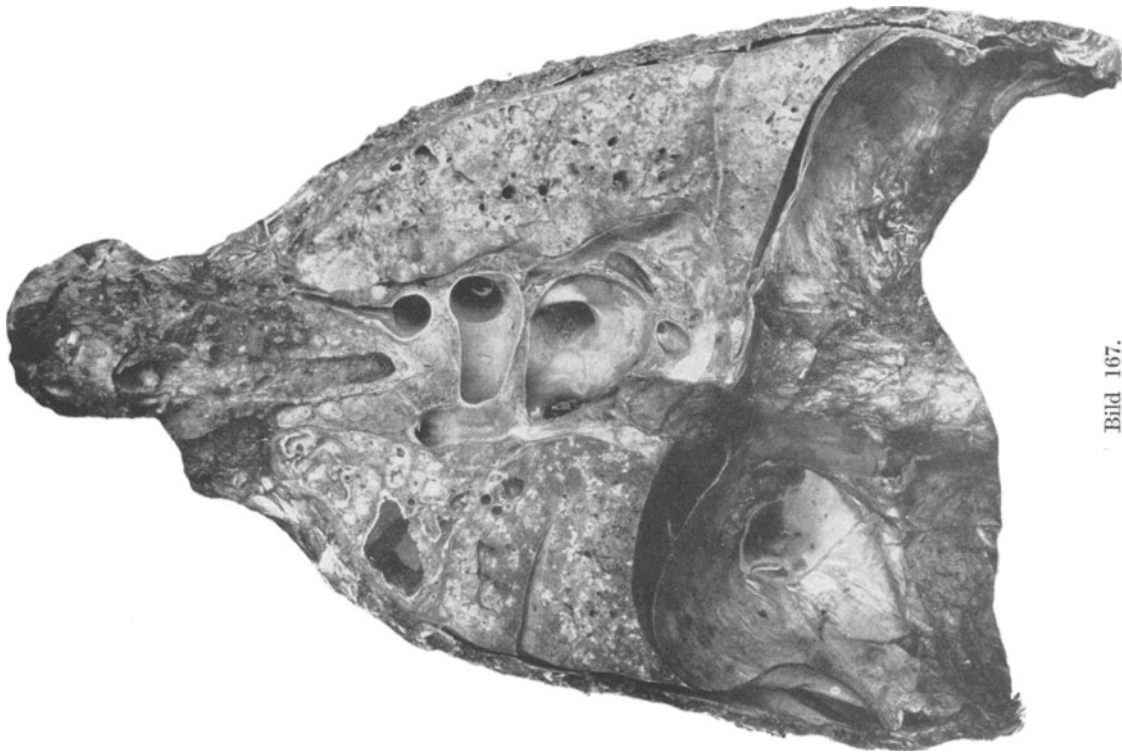


Bild 167.

Lobulär- bzw. lobär-exsudative Phthise der linken Lunge; große Höhlenbildung in den oberen Teilen. Lobulär-exsudative Phthise der oberen Teile der rechten Lunge mit großer Höhlenbildung. Nodöse und nodös-indurierende Herde in den mittleren und unteren Teilen der rechten Lunge.



Bild 168.

Fall 40 (*Bild 169*).

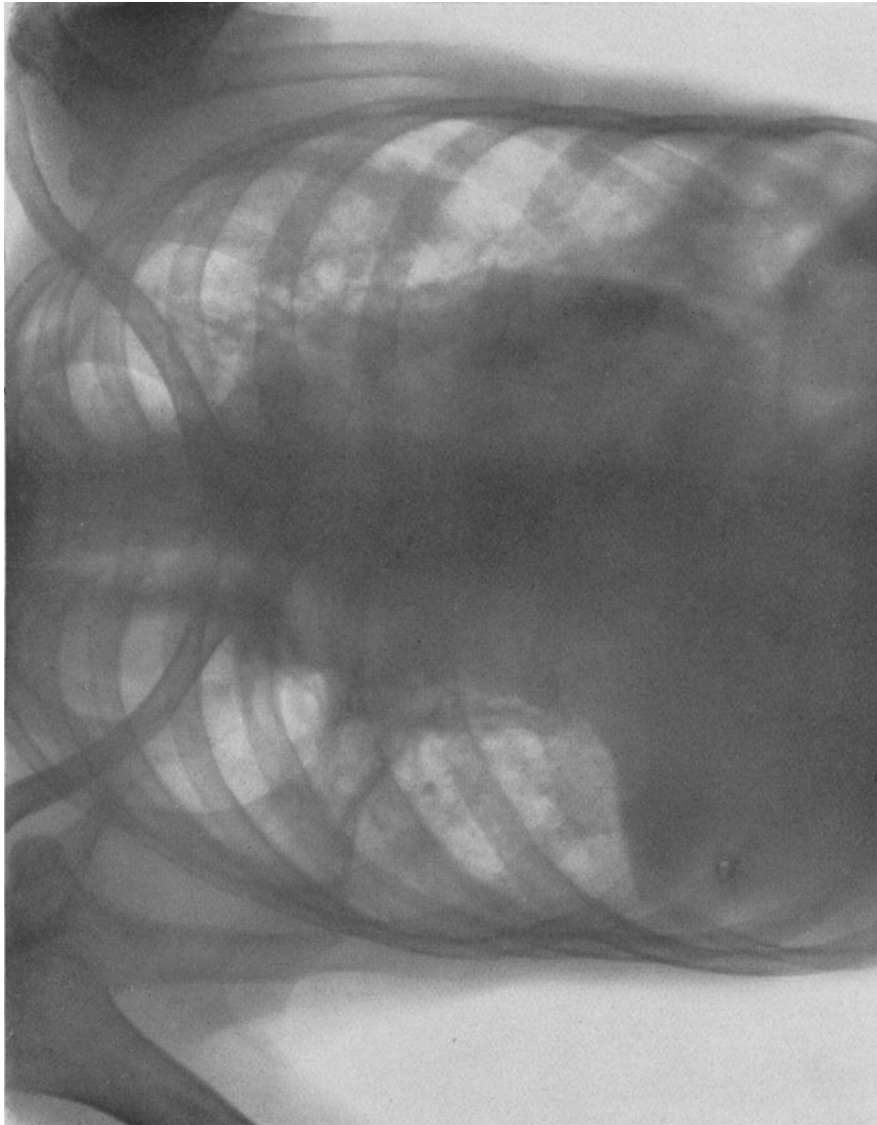


Bild 169.

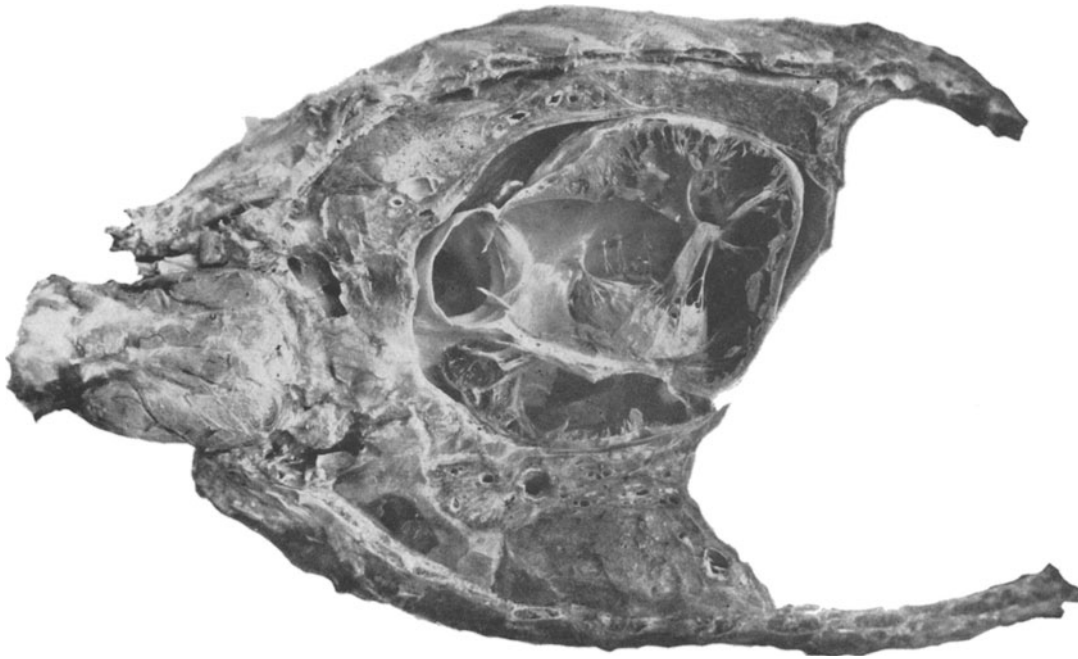


Bild 170.

Große, von fibrösem Gewebe umgebene Höhle in den oberen Teilen der rechten Lunge. Indurative Veränderungen in den vorderen und neben dem Herzen gelegenen Teilen der rechten Lunge. Kleine Höhle in der linken Lungenspitze. Indurative und zirrhotische Veränderungen in den oberen Teilen der linken Lunge. Frische exsudative Veränderungen in den basalen Teilen der linken Lunge.



Bild 171.

Fall 41 (Bild 172—173).

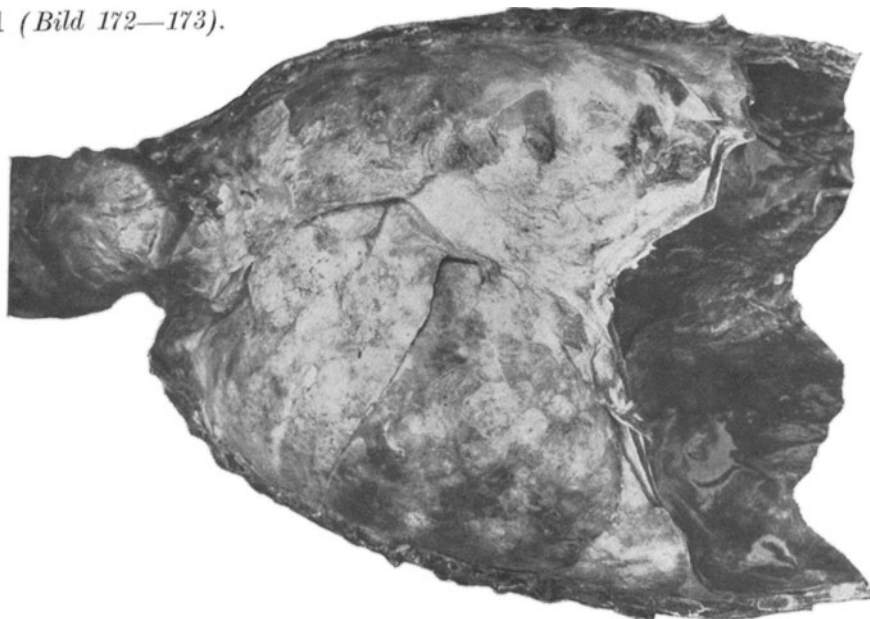


Bild 173.

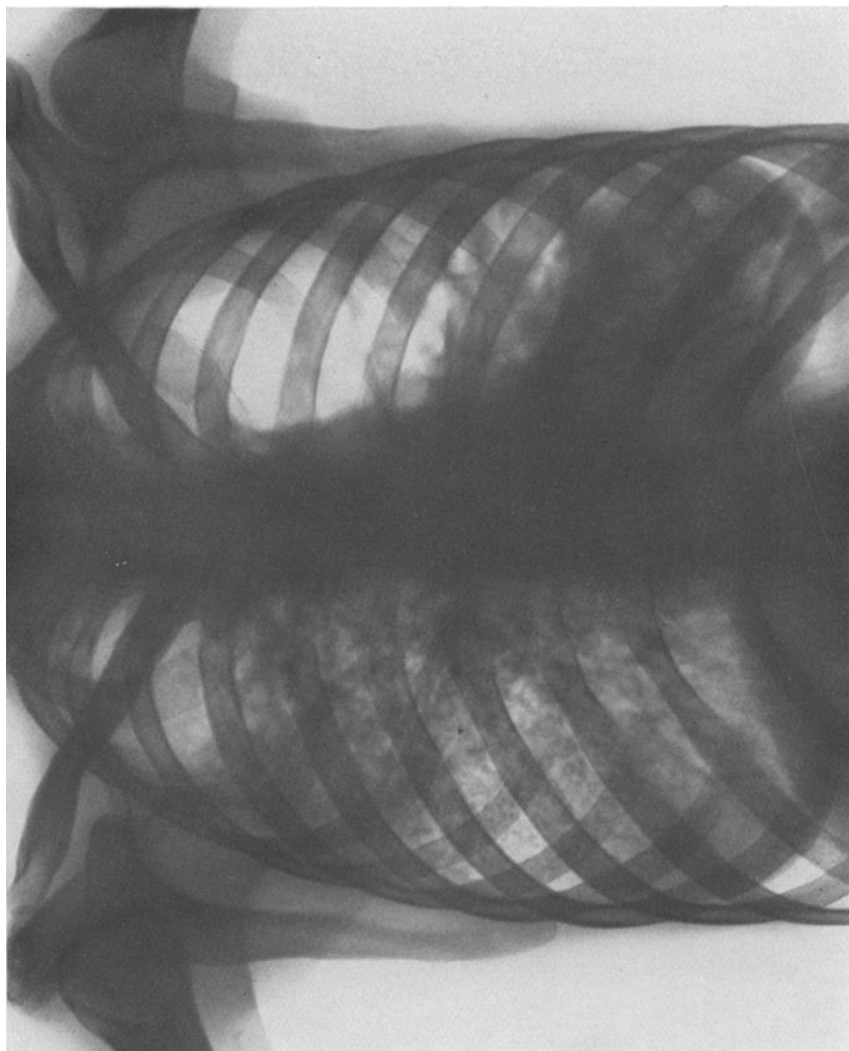


Bild 172.

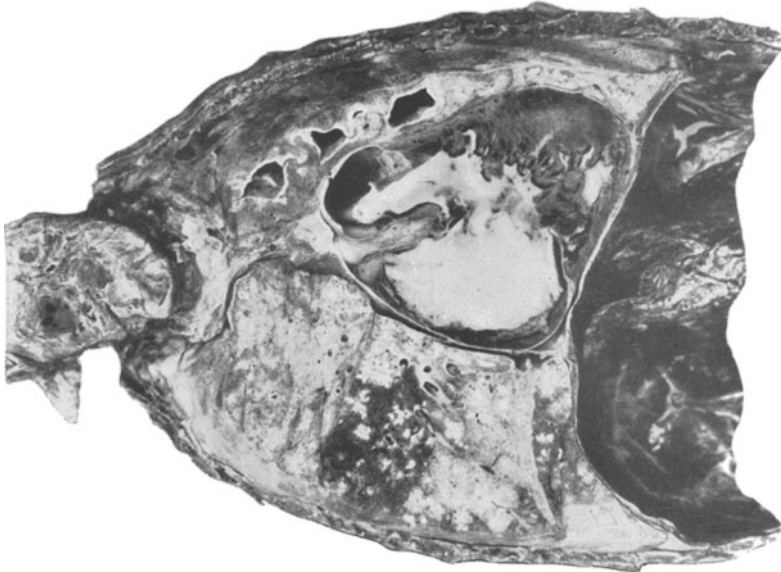


Bild 174.

Nodös-indurierende Phthise der ganzen rechten Lunge; Höhle in der Spitze. Große, über zwei Drittel der linken Lunge einnehmende Höhle der linken Lunge; Induration der basalen Lungenteile.



Bild 175.



Bild 176.

Fall 42 (*Bild 177*).

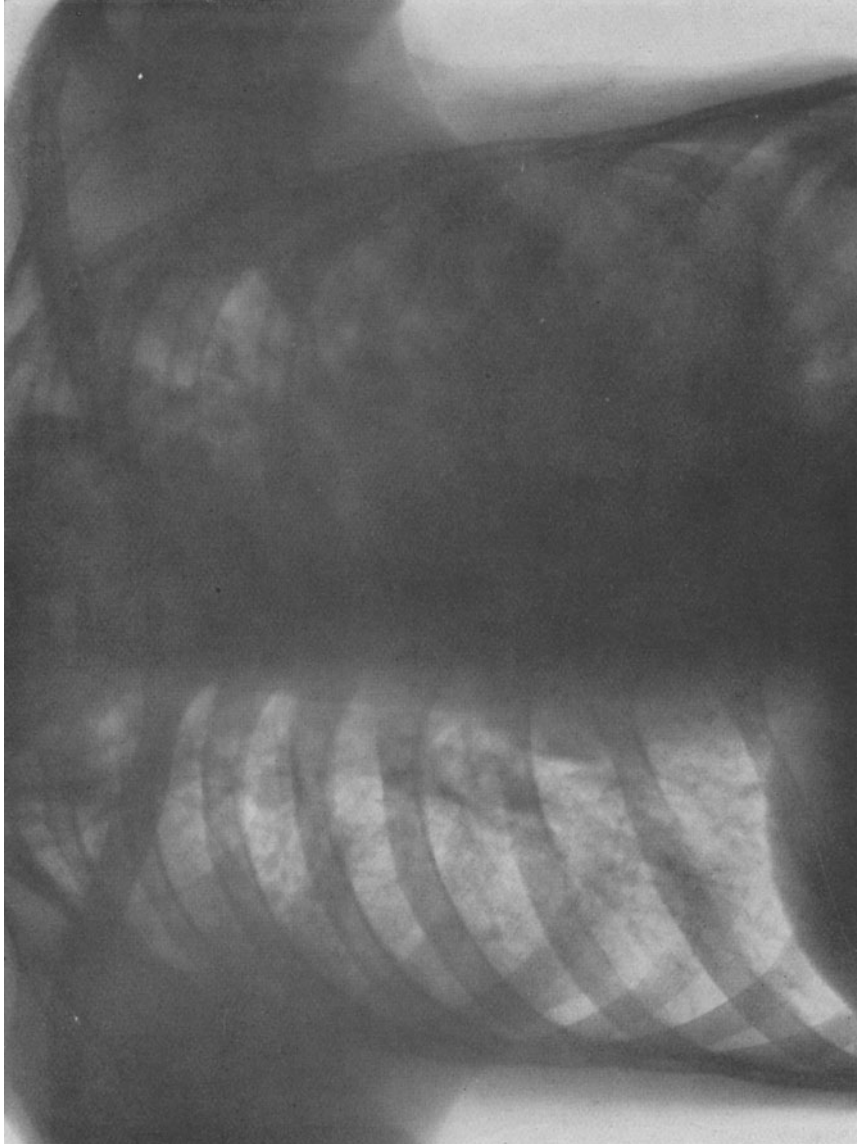


Bild 177.



Bild 178.

Lobär- bzw. lobulär-exsudative Phtihise der ganzen linken Lunge; große Höhlenbildungen in den oberen und mittleren Teilen. Schrumpfung der linken Thoraxseite infolge Pleuraobliteration. Nodös-indurierende Herde in den oberen Teilen, azinös-nodöse Herde in den mittleren Teilen der rechten Lunge.



Fall 43 (*Bild 179—180*).

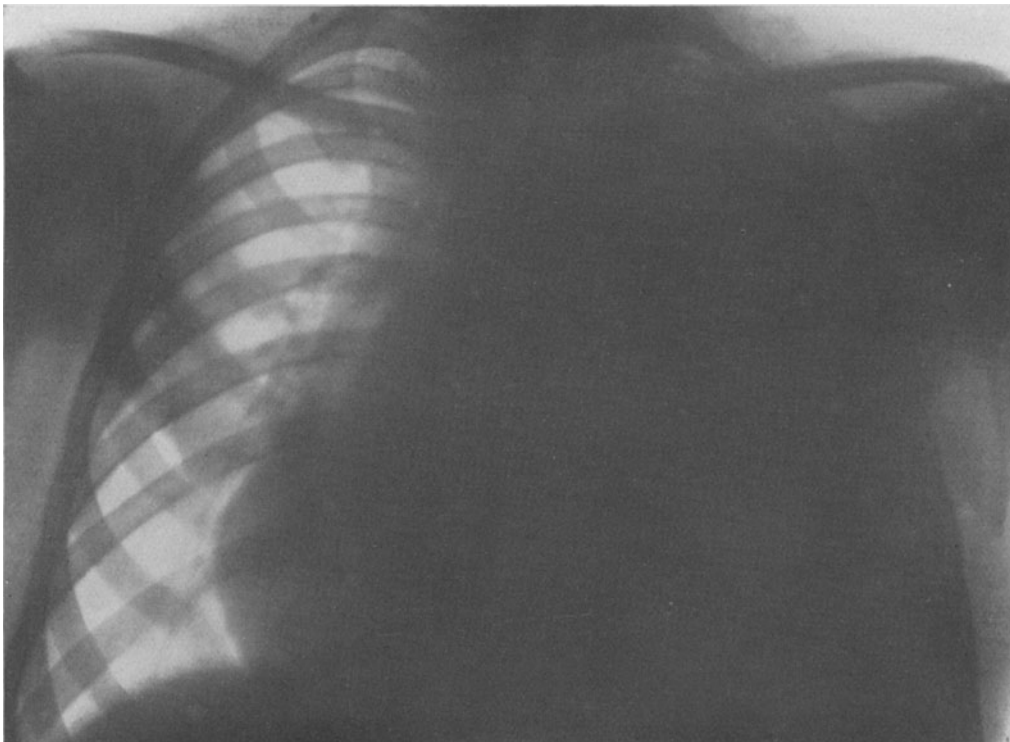


Bild 179.

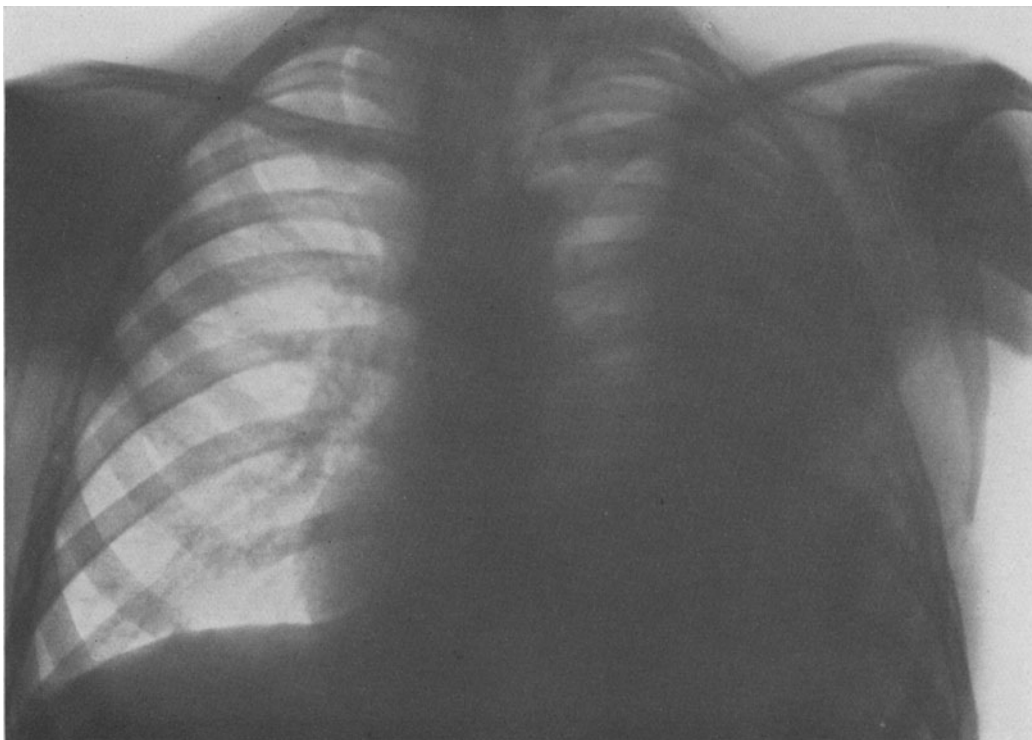


Bild 180.

Linksseitiger Pleuraerguß mit teilweiser Kompression der linken



Bild 181.

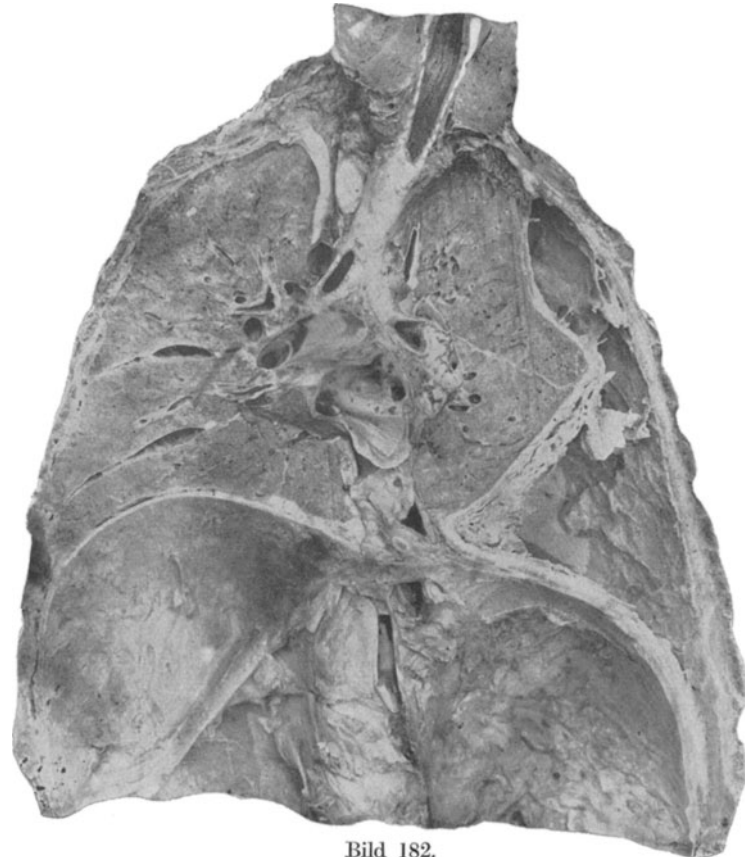


Bild 182.

Lunge. Geringe Rechtsverdrängung des Herzens.

Fall 44 (*Bild 183—184*).

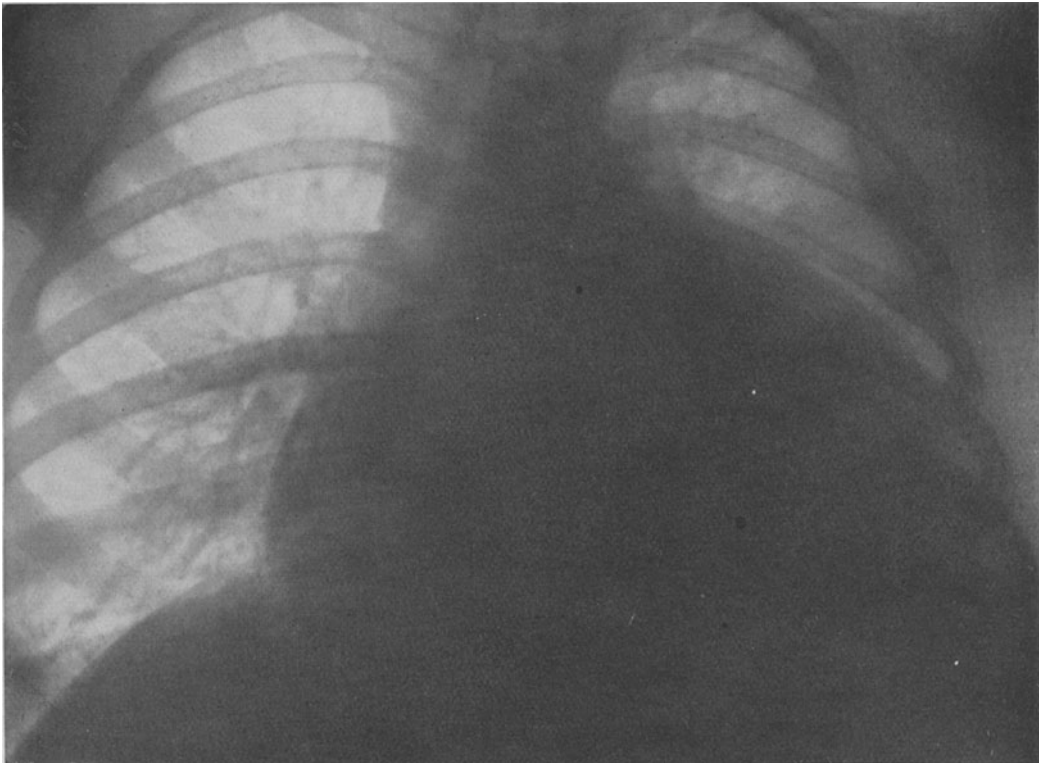


Bild 183.

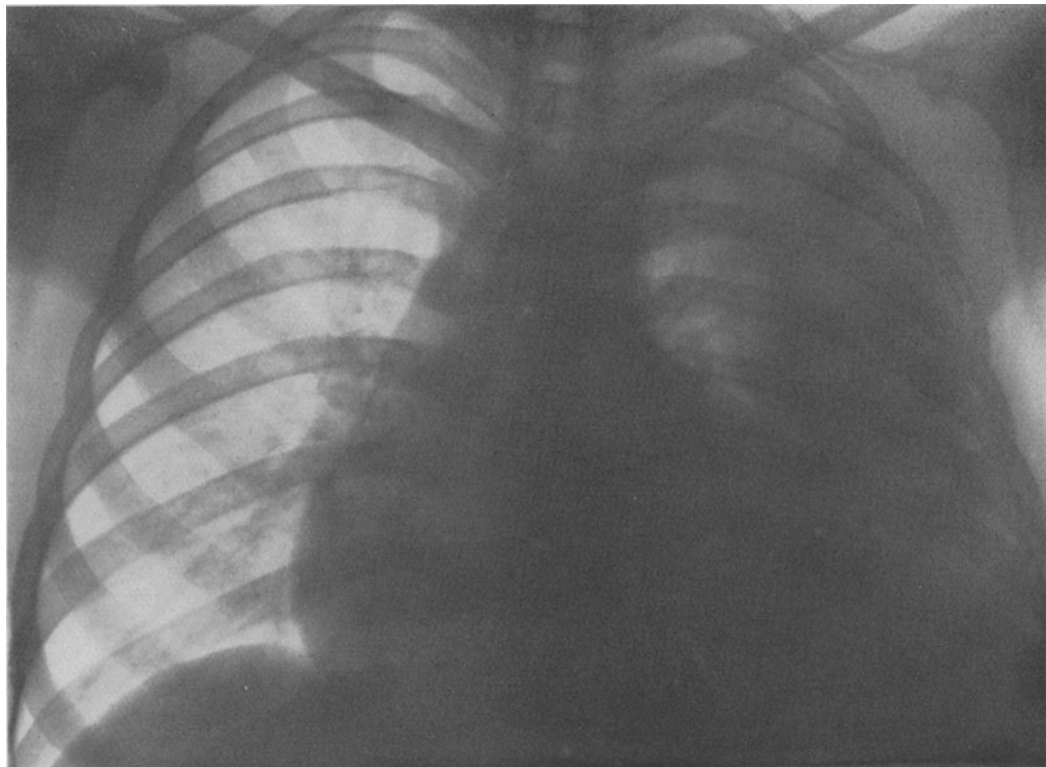


Bild 184.

Linksseitiger Pleuraerguß und Herzbeutelerguß,

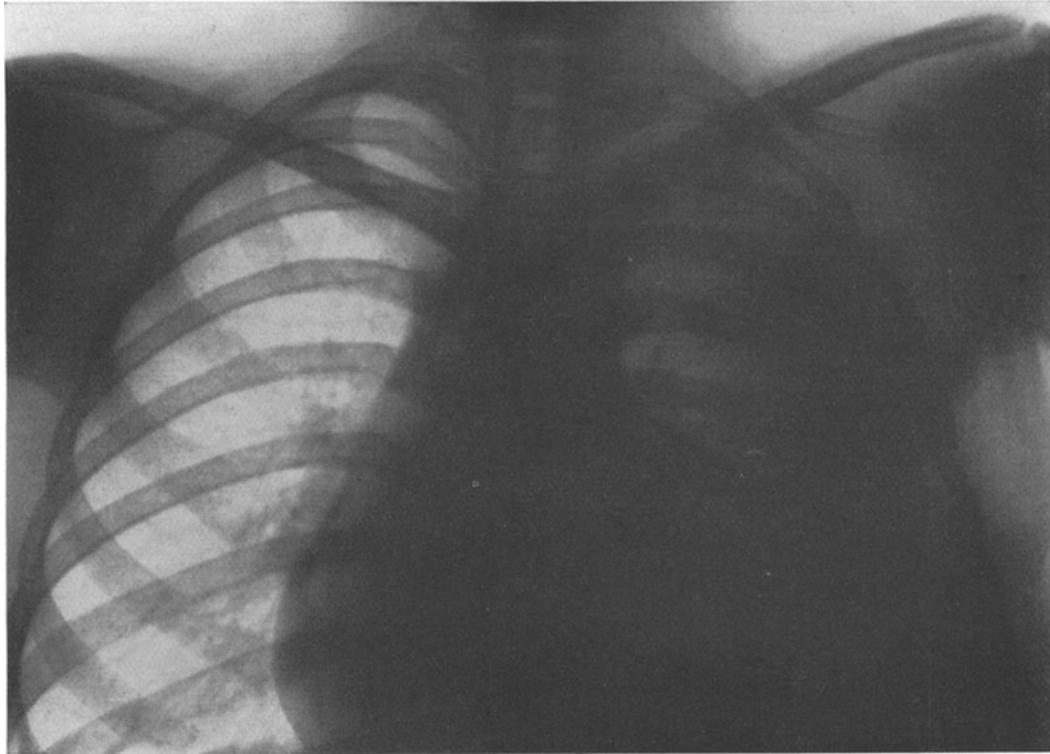


Bild 185.



Bild 186.

Bild 187.

Linksseitiger Pleuraerguß und Herzbeutelerguß.

**Fall 45** (*Bild 188*).

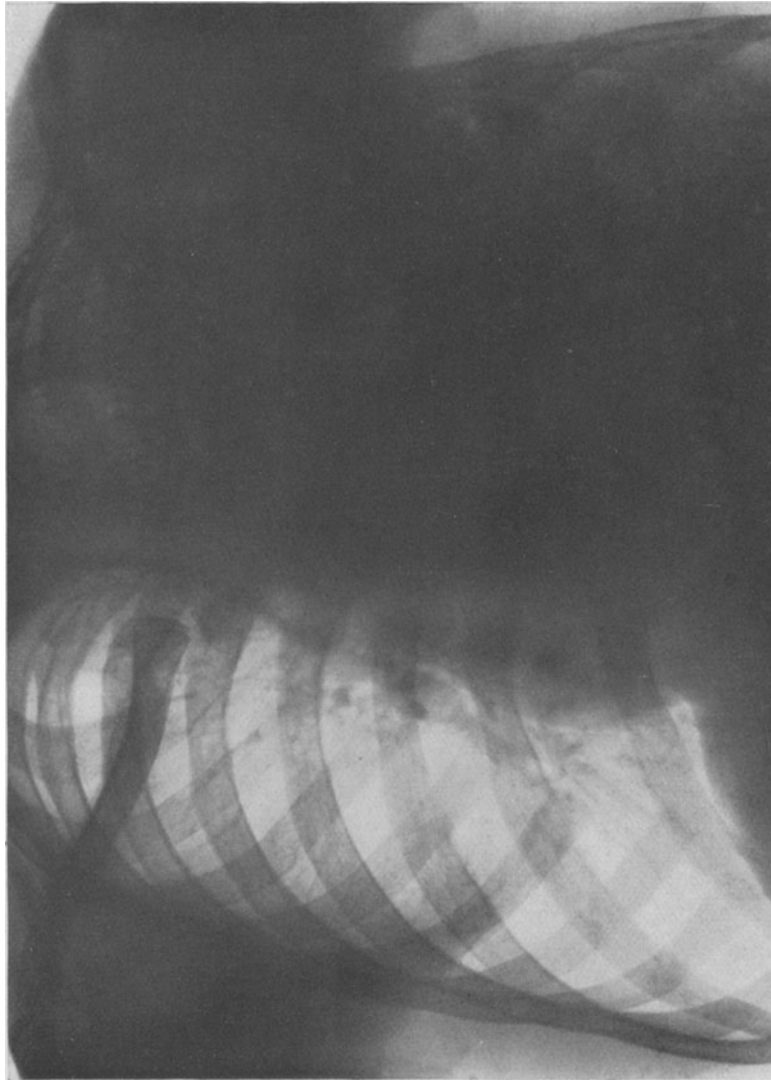


Bild 188.



Bild 190.

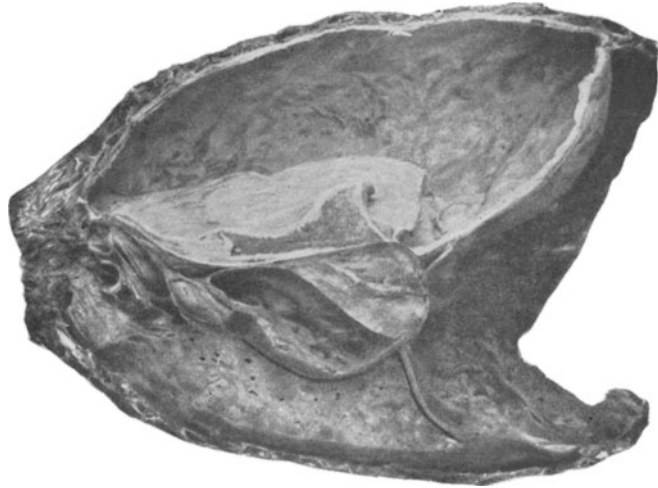


Bild 189.

Großer linksseitiger Pleuraerguß. Rechtsverdrängung des Mediastinums. Vereinzelt nodöse und nodös-indurierende Herde in der rechten Lunge.

Fall 46 (*Bild 191*).

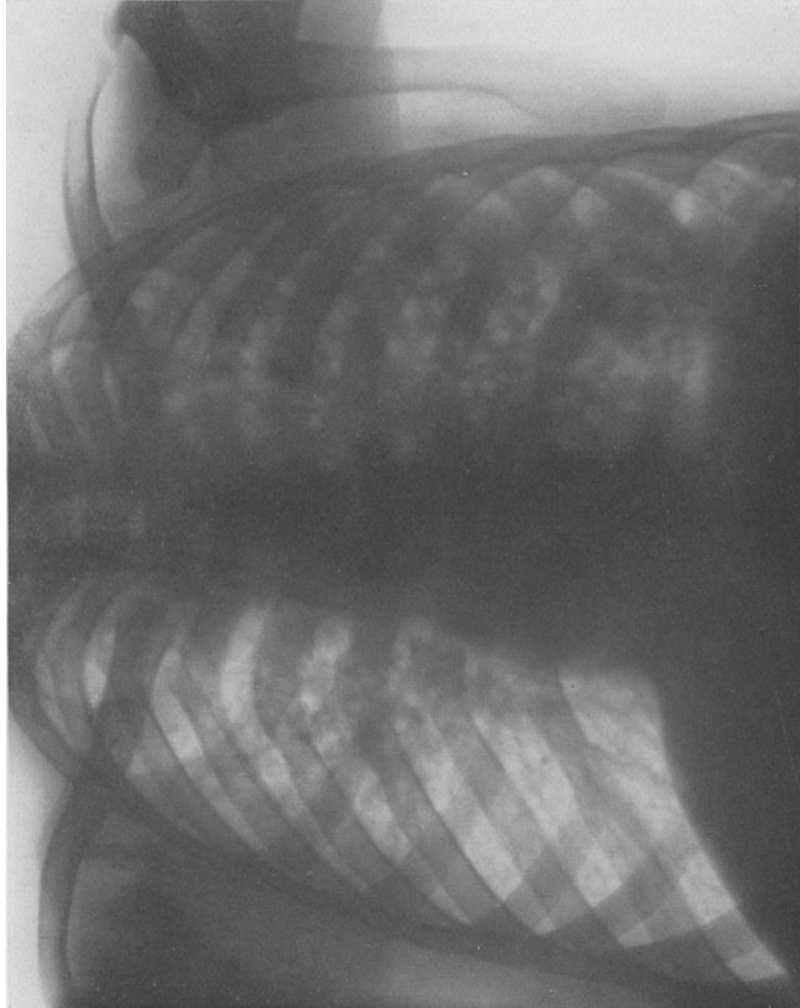


Bild 191.



Bild 193.

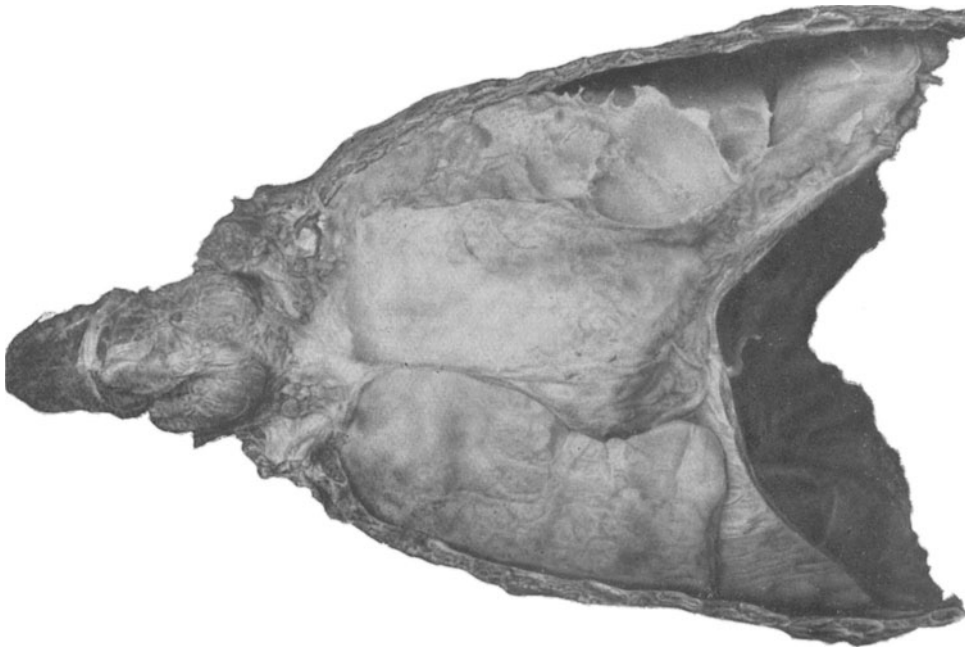


Bild 192.



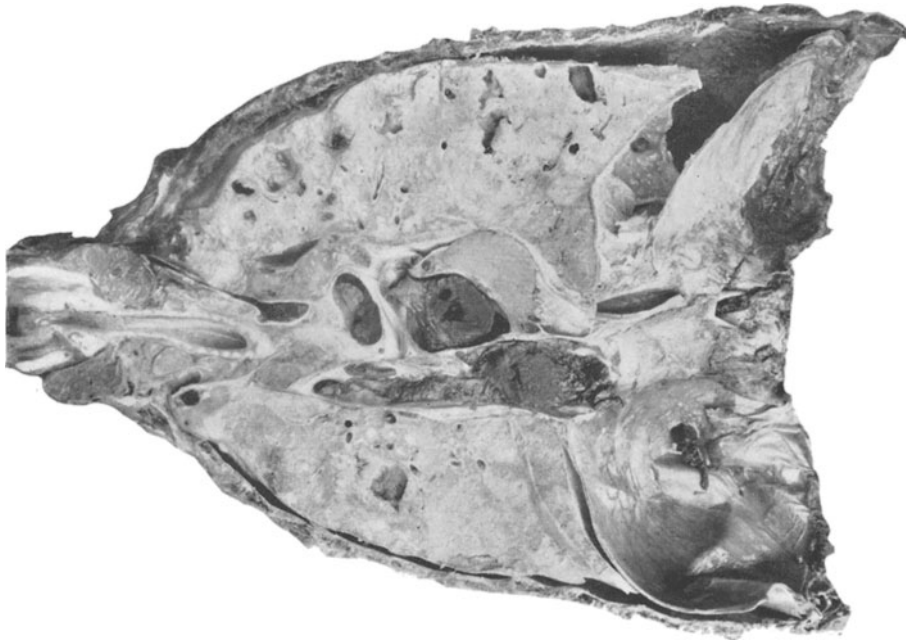


Bild 194.

Lobär-käsige Phthise (käsige Pneumonie) der ganzen linken Lunge. Zerfallshöhlen in den oberen und unteren Teilen der linken Lunge. Partiieller Pneumothorax links mit Rechtsverdrängung des Herzens. Zahlreiche nodöse und nodös-indurierte Herde in den oberen und mittleren Teilen der rechten Lunge. Kleine Zerfallshöhle. Schrumpfung der linken Brustkorbseite.

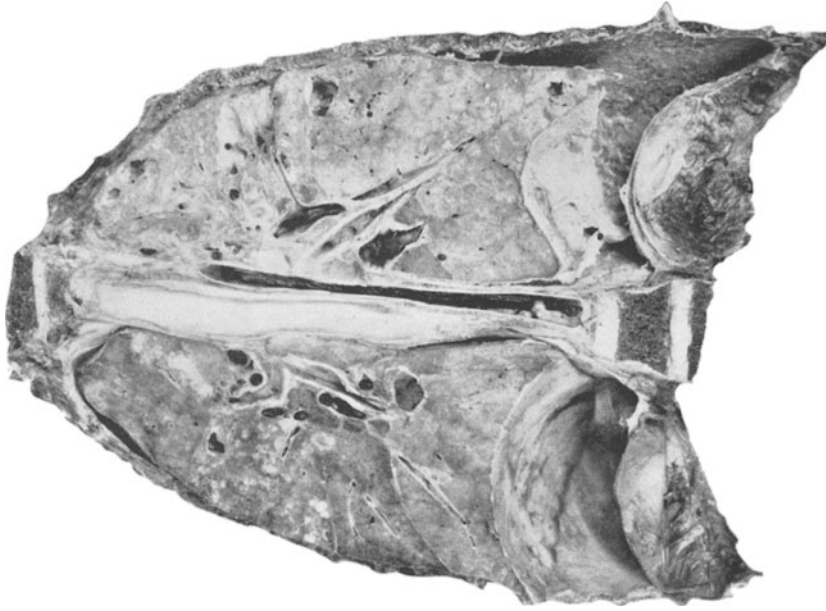


Bild 195.

Fall 47 (*Bild 196—197*).

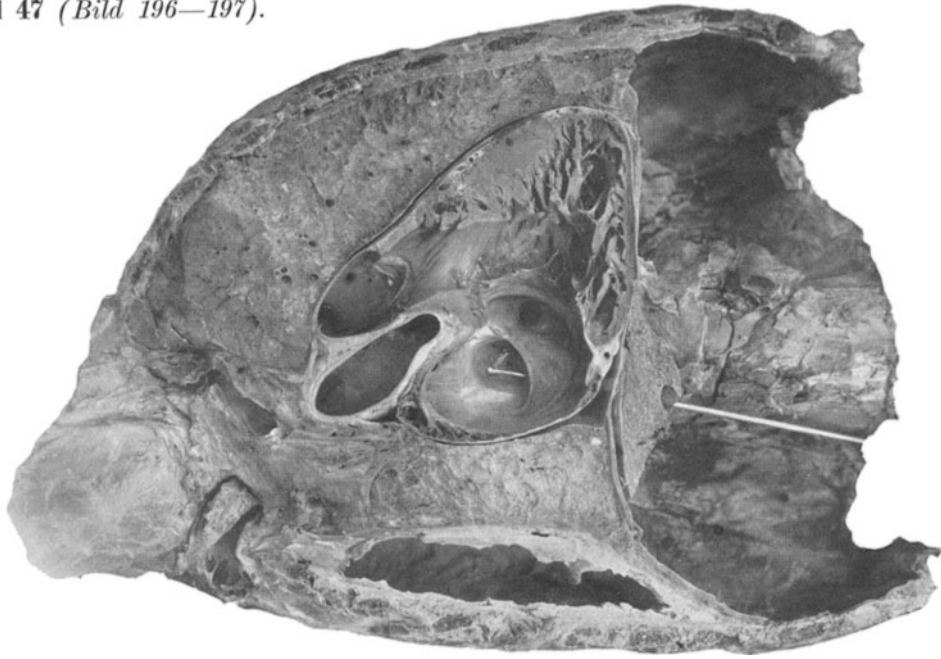


Bild 197.

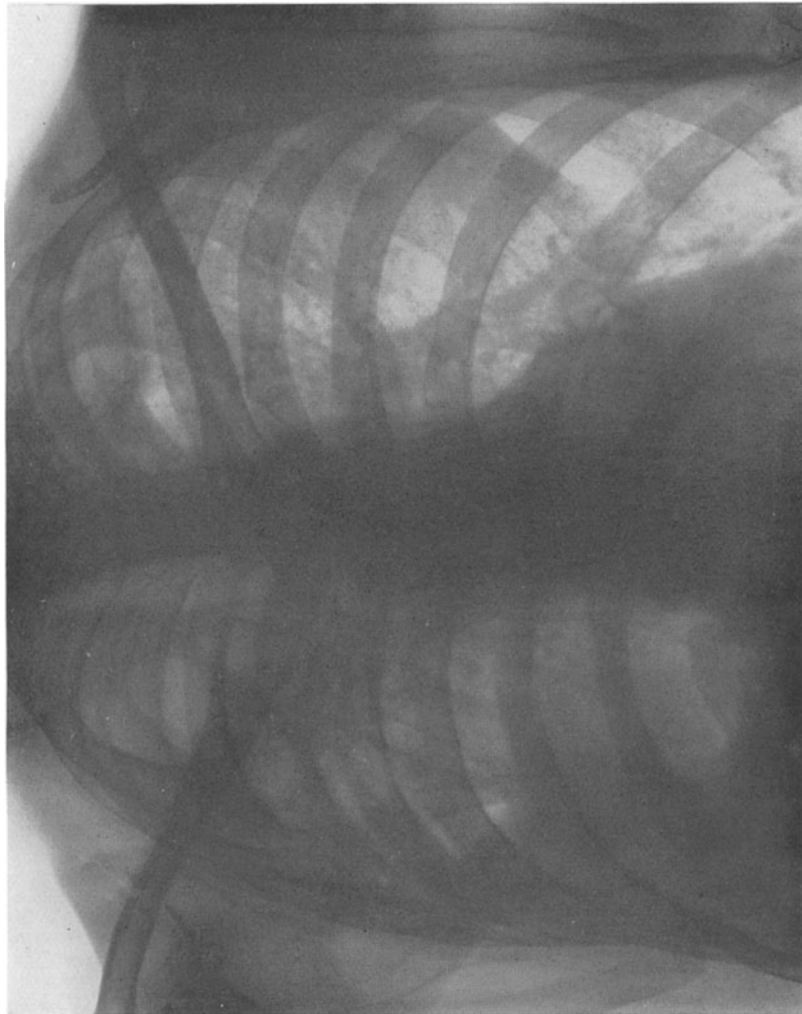


Bild 196.



Bild 198.  
Linksseitige nodös-indurierende Phthise mit Spitzenkaverne. Rechtsseitiger Pyopneumothorax.

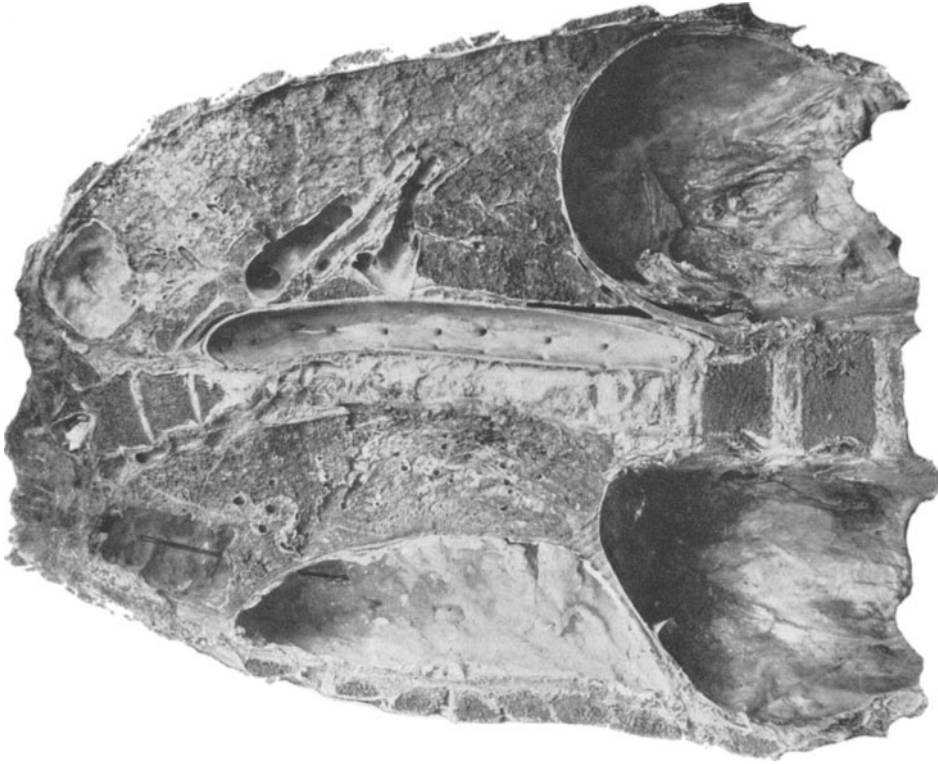


Bild 199.  
Rechtsseitiger Pyopneumothorax.

Fall 48 (*Bild 200—201*).



Bild 200.

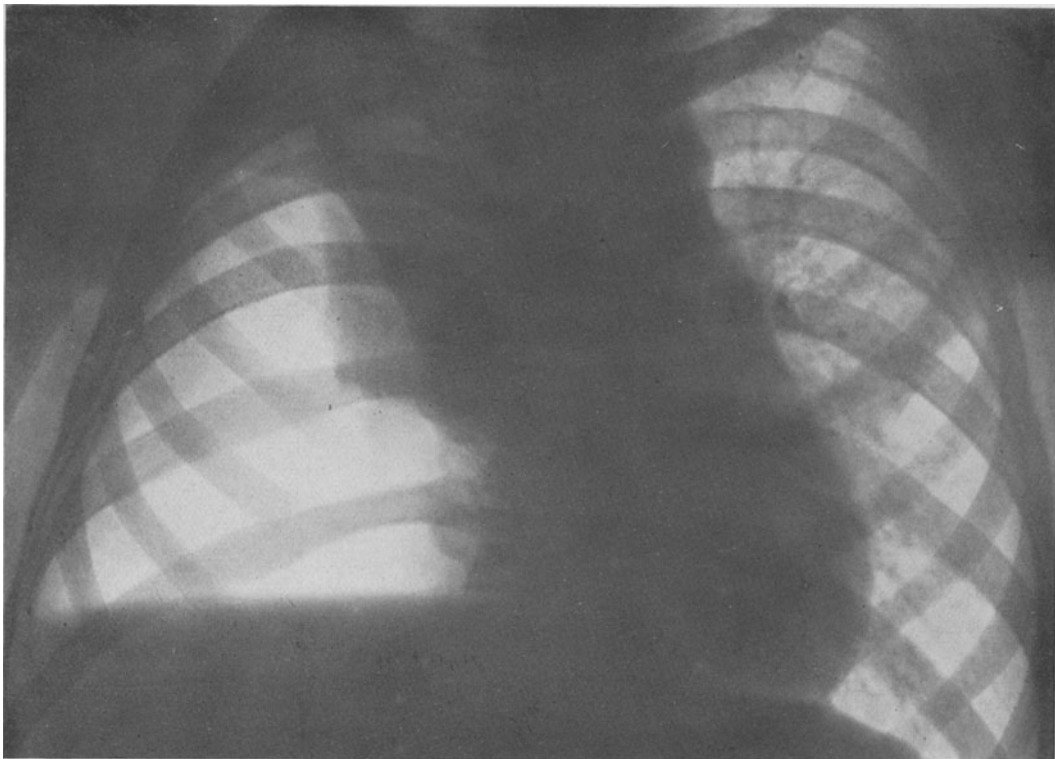


Bild 201.

Rechtsseitiger Pyopneumothorax. Starke Linksverlagerung von Herz und Mediastinum.



Bild 202.

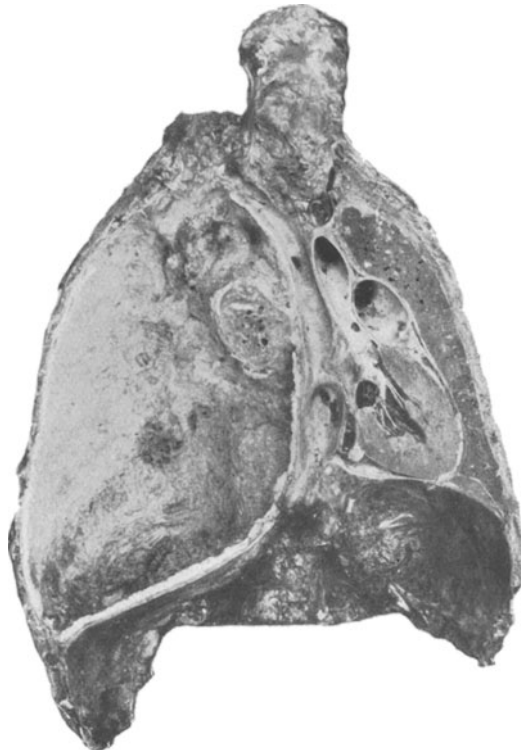
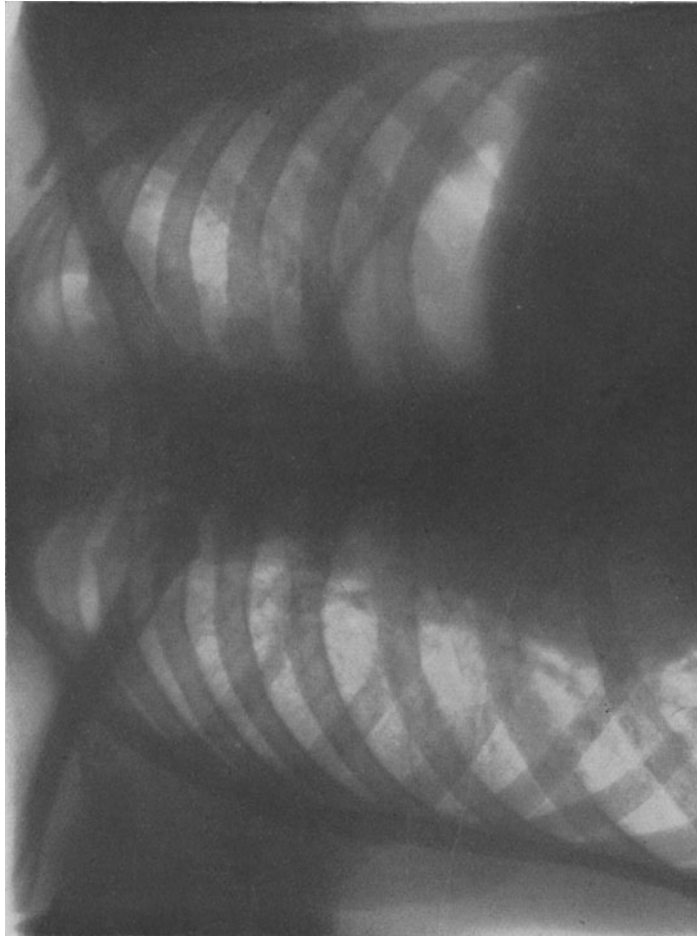


Bild 203.

Rechtsseitiger Pyopneumothorax. Starke Linksverlagerung von Herz und Mediastinum.

**Fall 49** (*Bild 204*).



**Bild 204.**

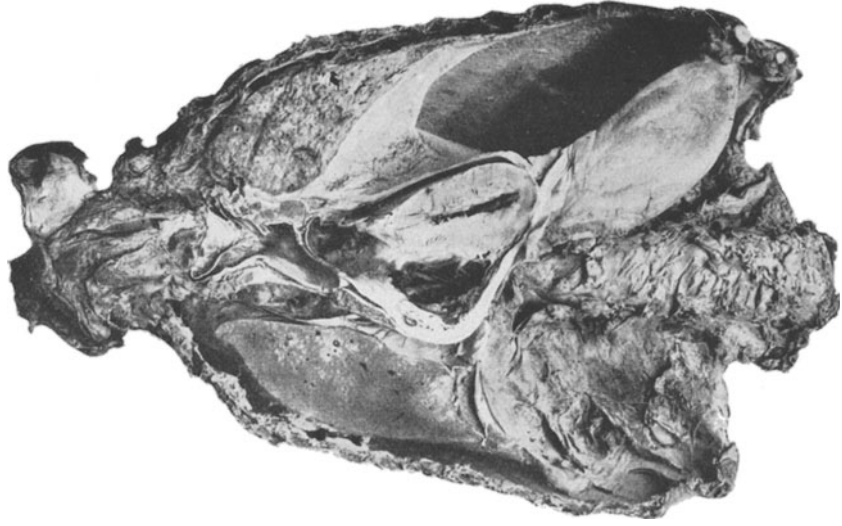


Bild 206.

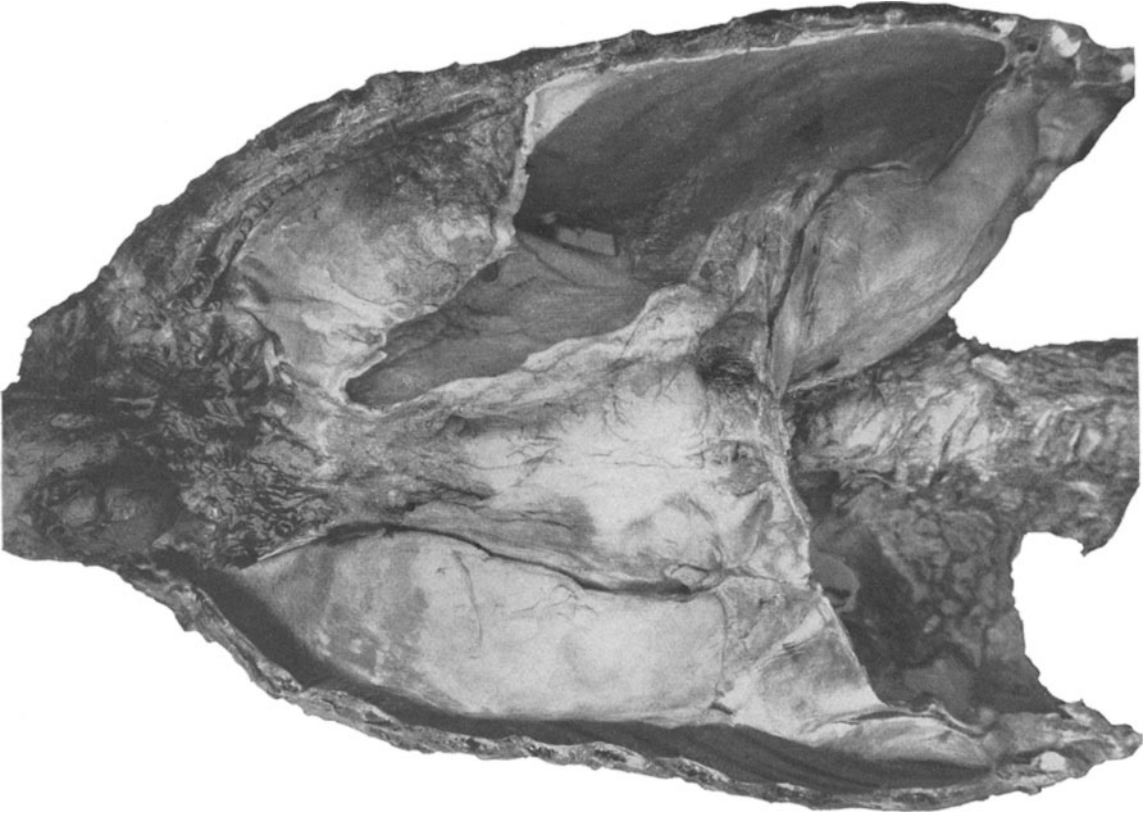


Bild 205.

Partieller linksseitiger Pneumothorax mit eitrigem Erguß. Rechtsverlagerung des Herzens.

Fall 50 (Bild 207—208).

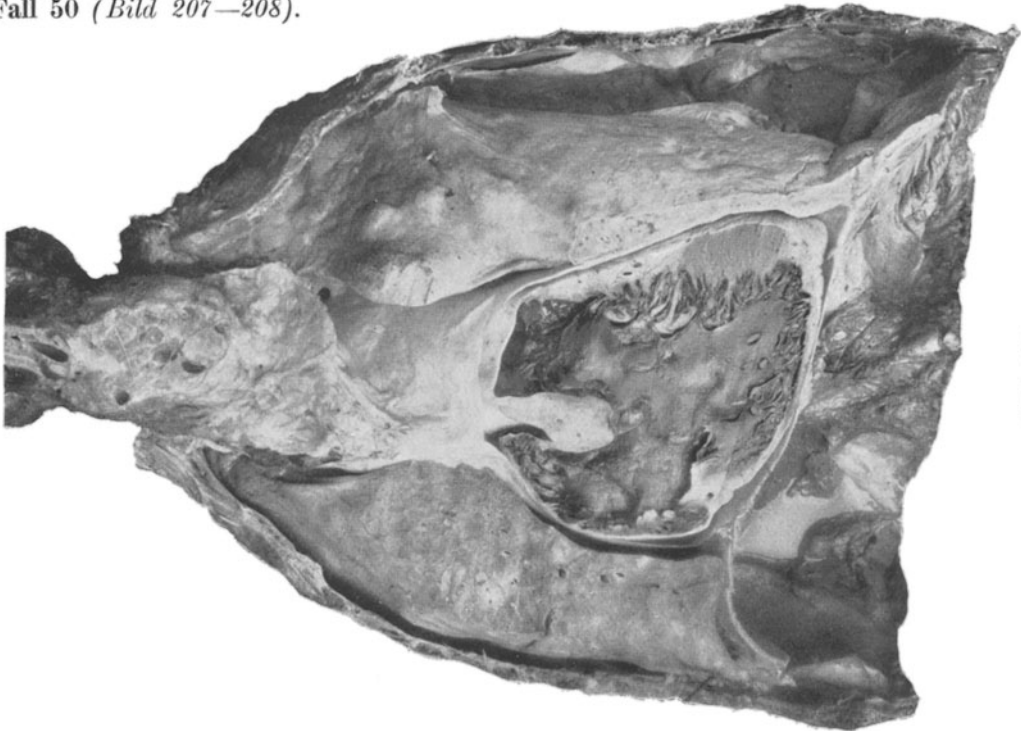


Bild 208.

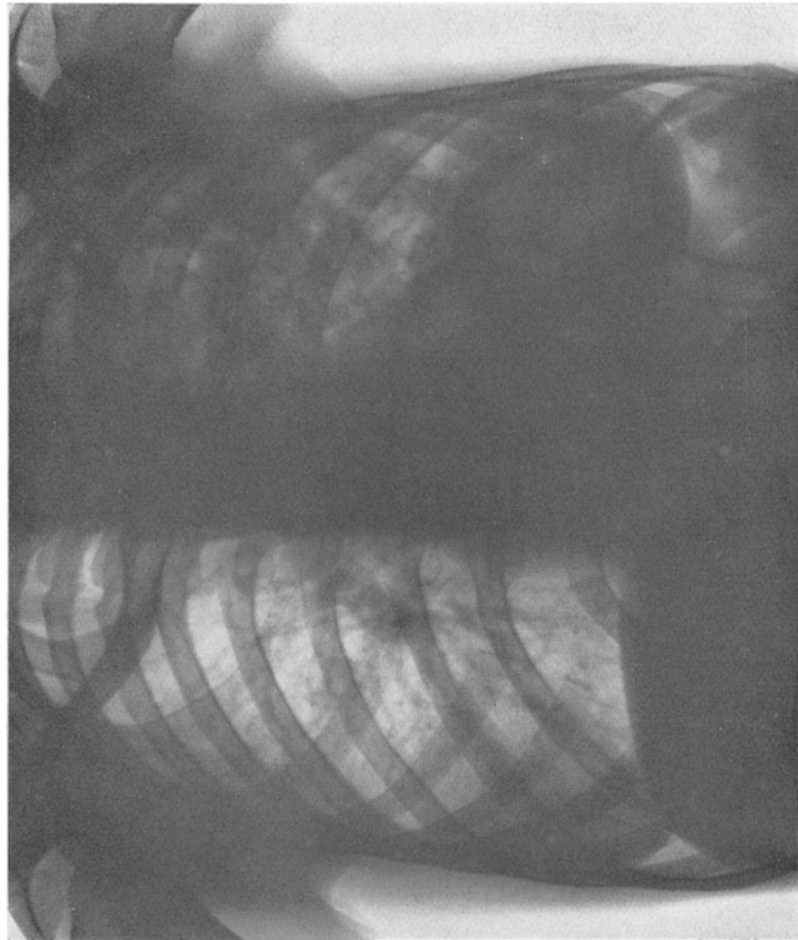


Bild 207.





Bild 209.

Lobär- bzw. lobulär-exsudative Phthise (käsig-pneumonie) in den oberen Teilen der linken Lunge mit kleinen Zerfallshöhlen in den Spitzenteilen. Vereinzelte nodös-indurierende Herde in den mittleren Teilen der rechten Lunge. Linksseitiger Pleuraerguß (auf dem Röntgenbilde nicht dargestellt).



Bild 210.

Fall 51 (*Bild 211*).

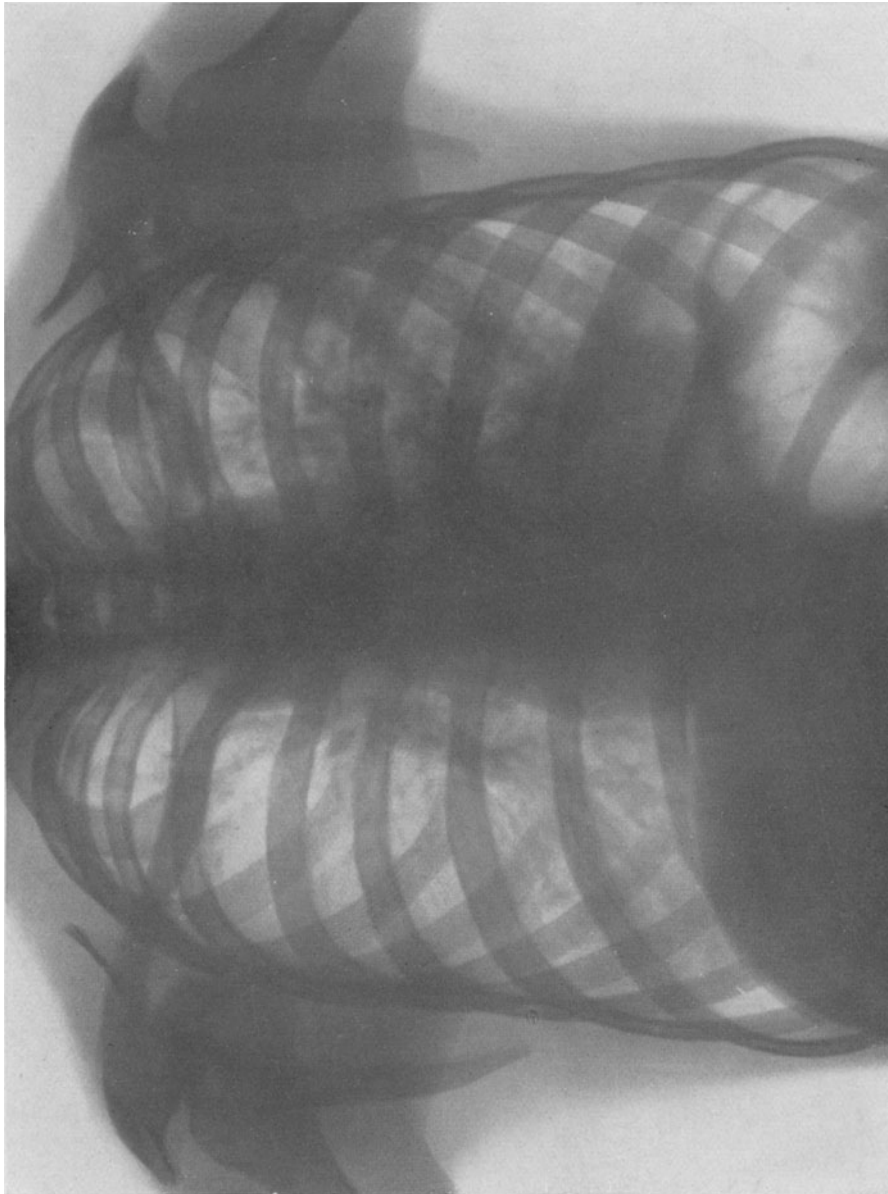


Bild 211.

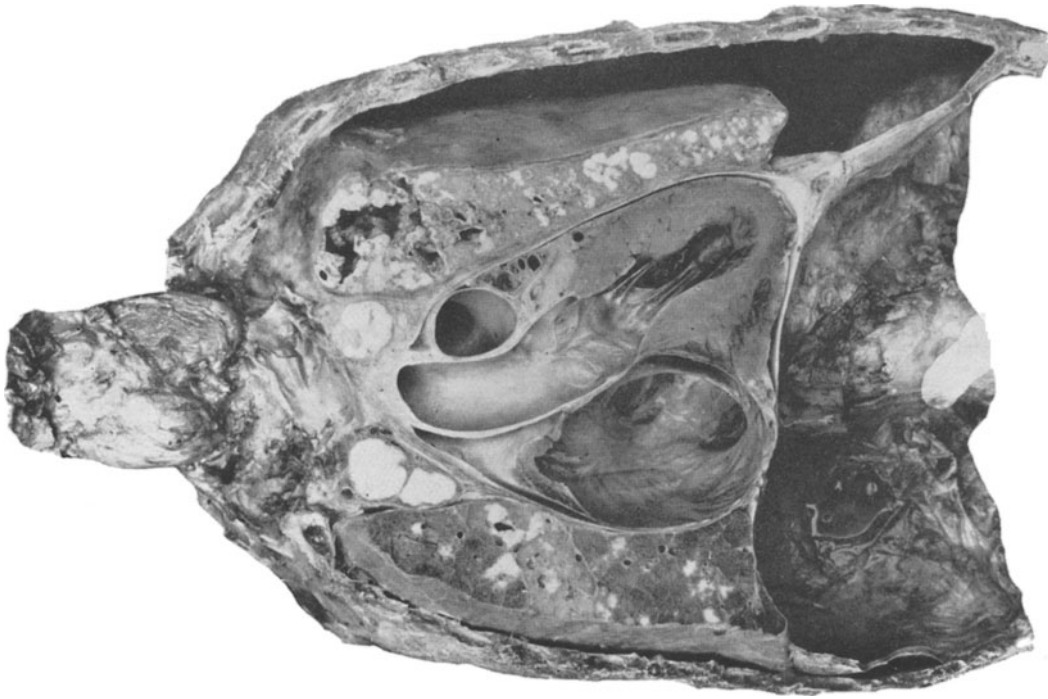


Bild 212.

Lobulär-exsudative Phtihise der ganzen linken Lunge. Höhlenbildungen in den oberen Teilen. Vereinzelte lobulär-exsudative Herde in den Spitzenteilen und in den unteren Teilen der rechten Lunge. Große paratracheale Lymphknotenpakete.

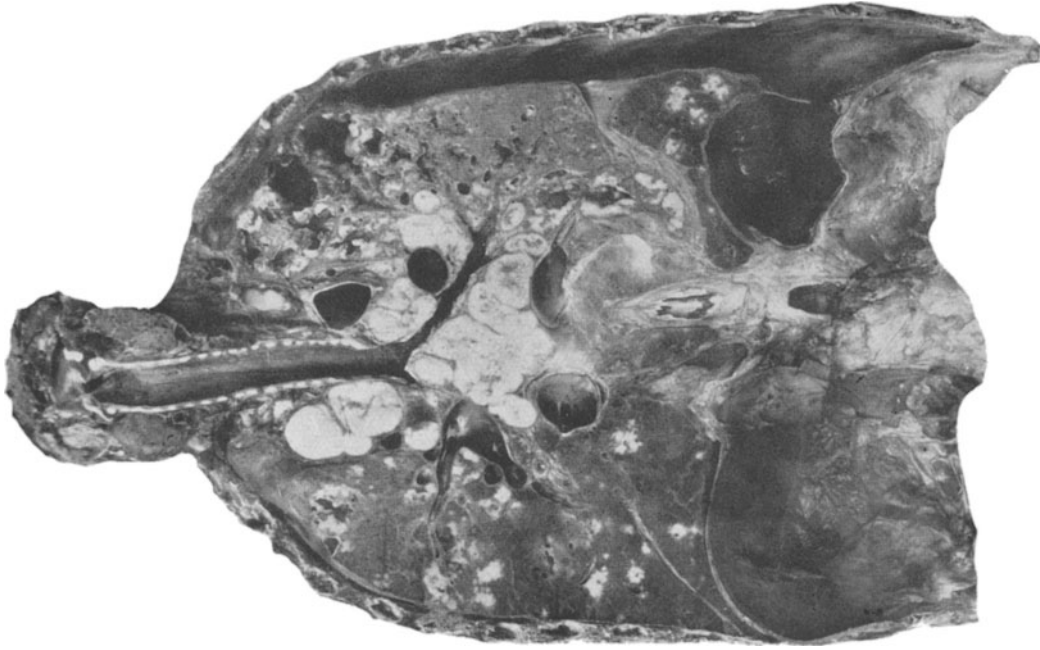


Bild 213.

Fall 52 (Bild 214—215).

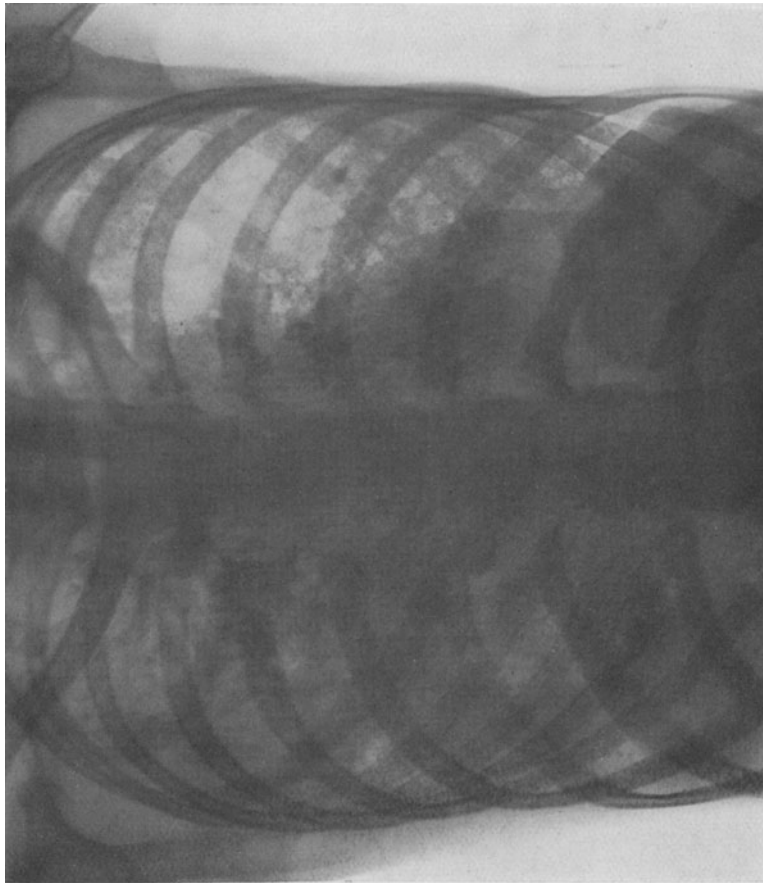


Bild 215.

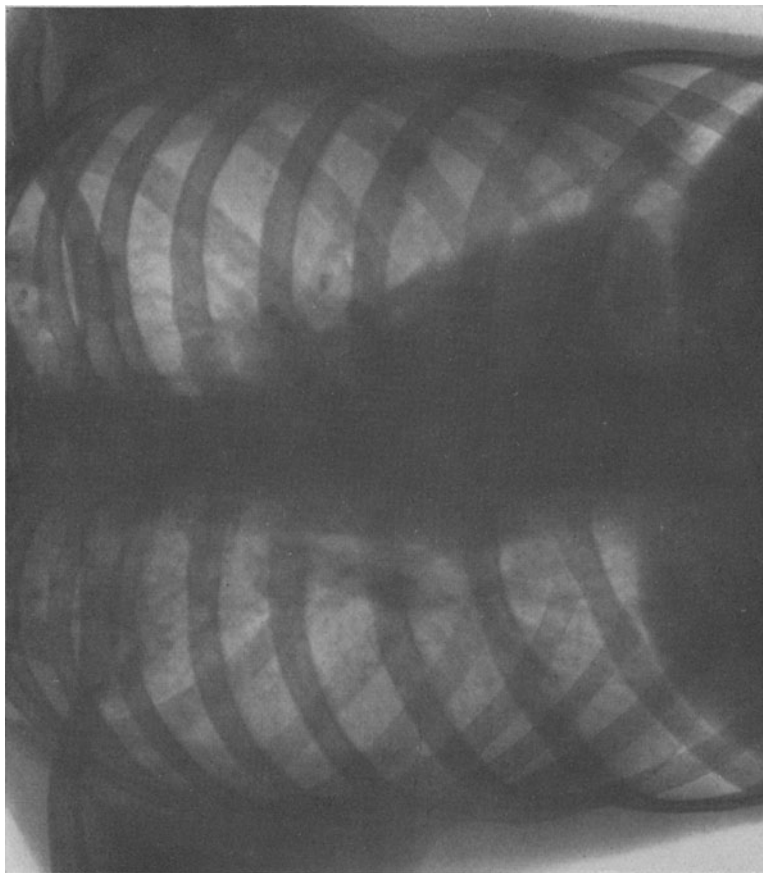


Bild 214.

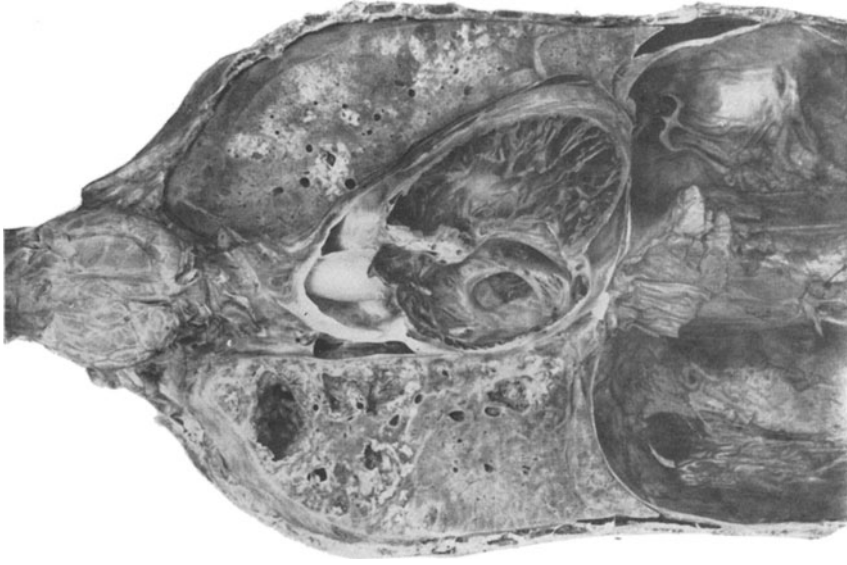


Bild 218.



Bild 217.



Bild 216.

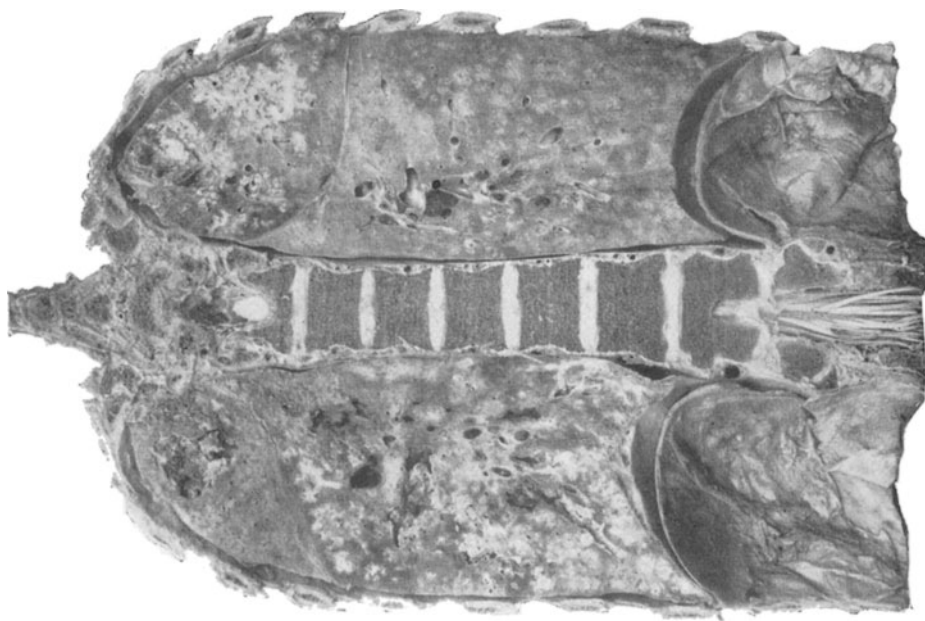


Bild 221.



Bild 220.

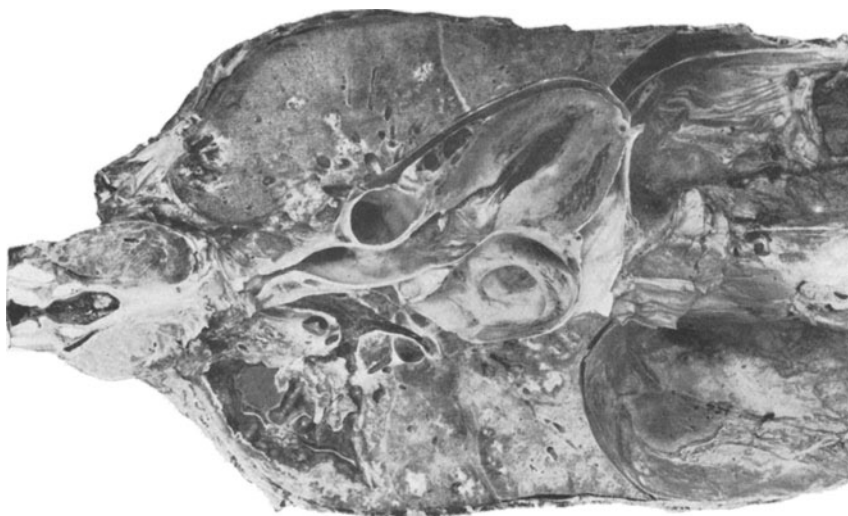
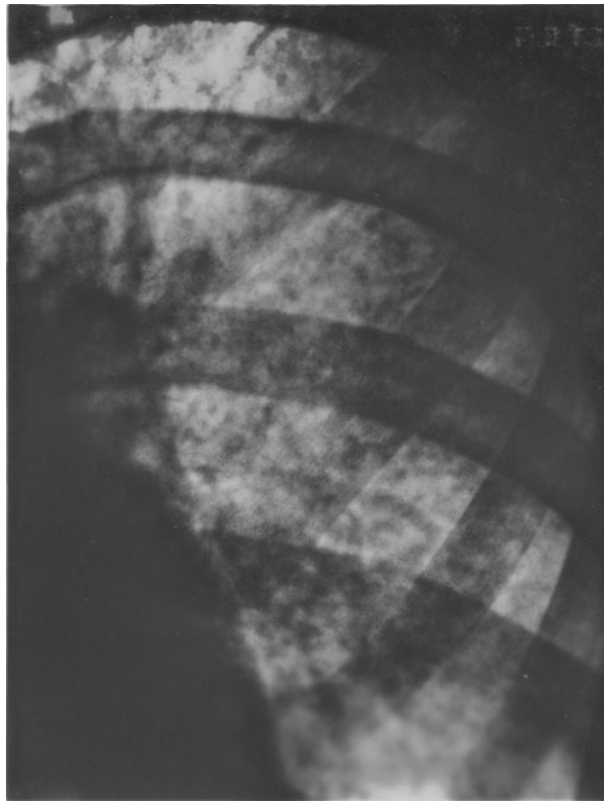
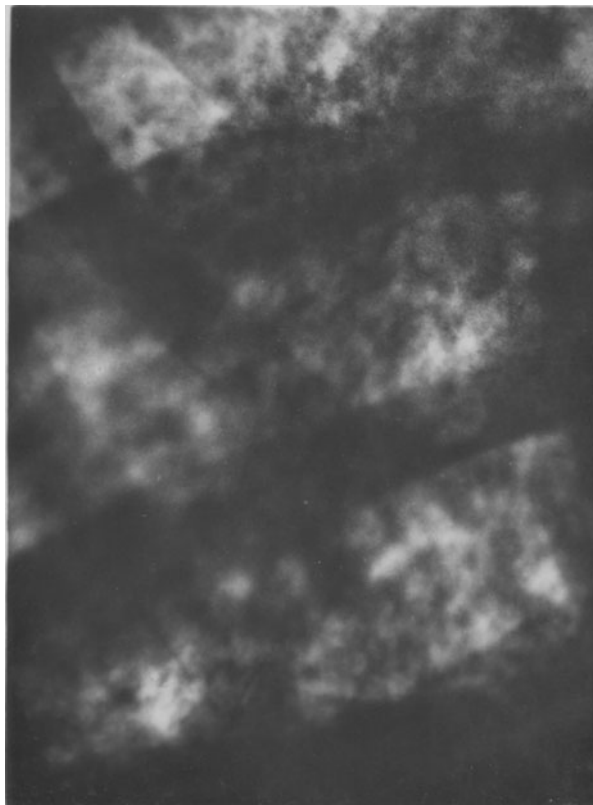


Bild 219.

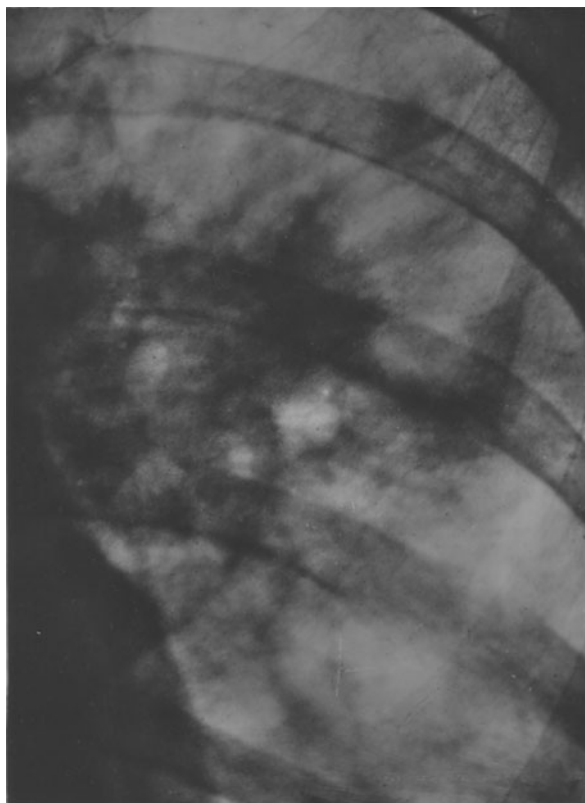
Käsige Phtihose der ganzen rechten Lunge. Großes System von Zerfallshöhlen in den oberen Teilen der rechten Lunge. Zerfallshöhlen in den Spitzenteilen der linken Lunge. Nodöse Herde in den oberen, mittleren und unteren Teilen der linken Lunge. Primärkomplex links.



Die produktive Herdbildung.

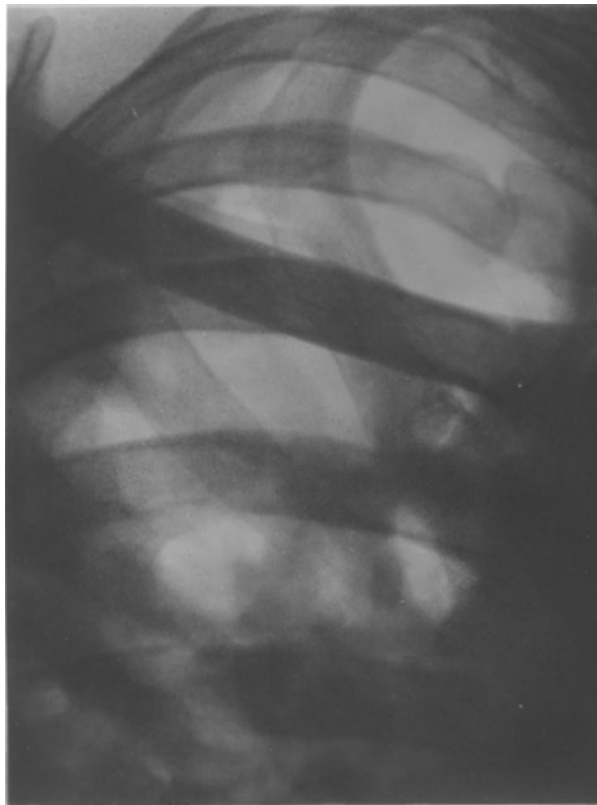


Die exsudativ-käsige Herdbildung.

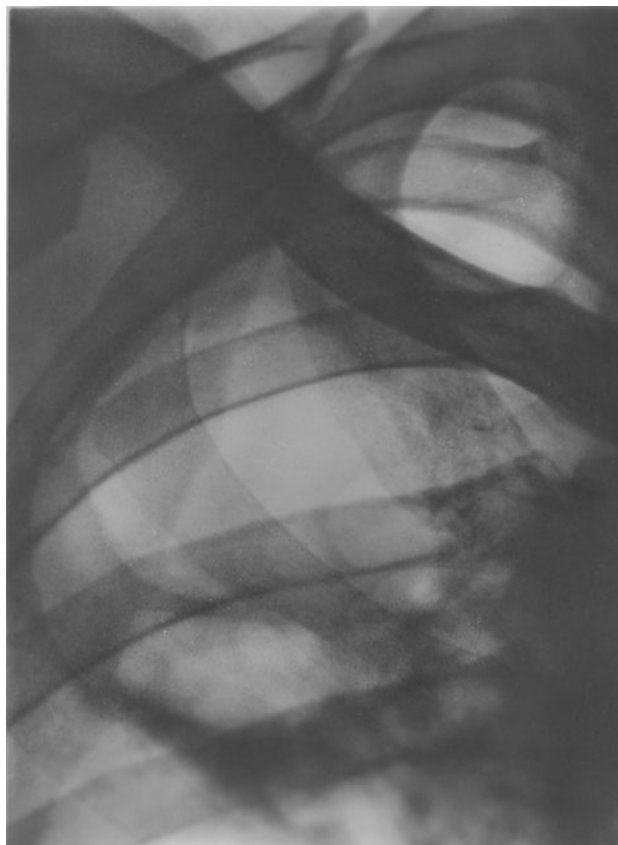


Der indurierte Herd und die Zirrhose.

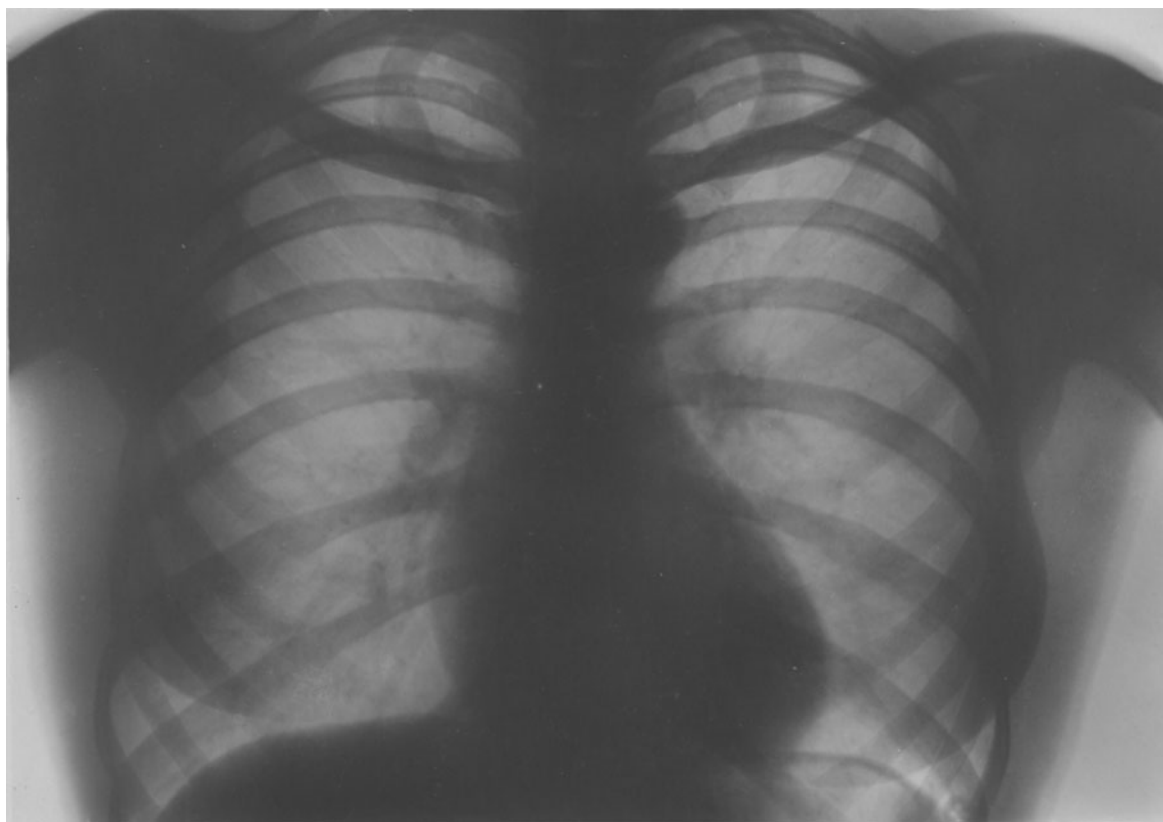




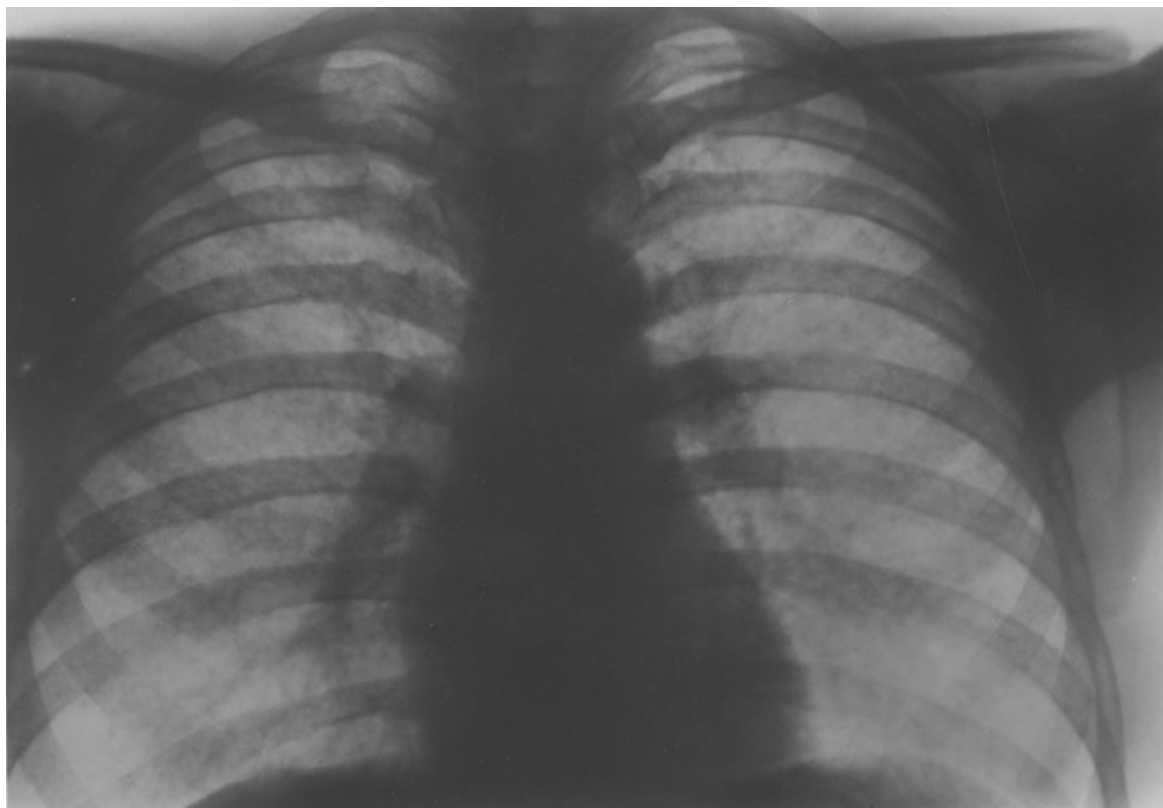
Die frisch entstandene Kaverne.



Die abgekapselte Kaverne.



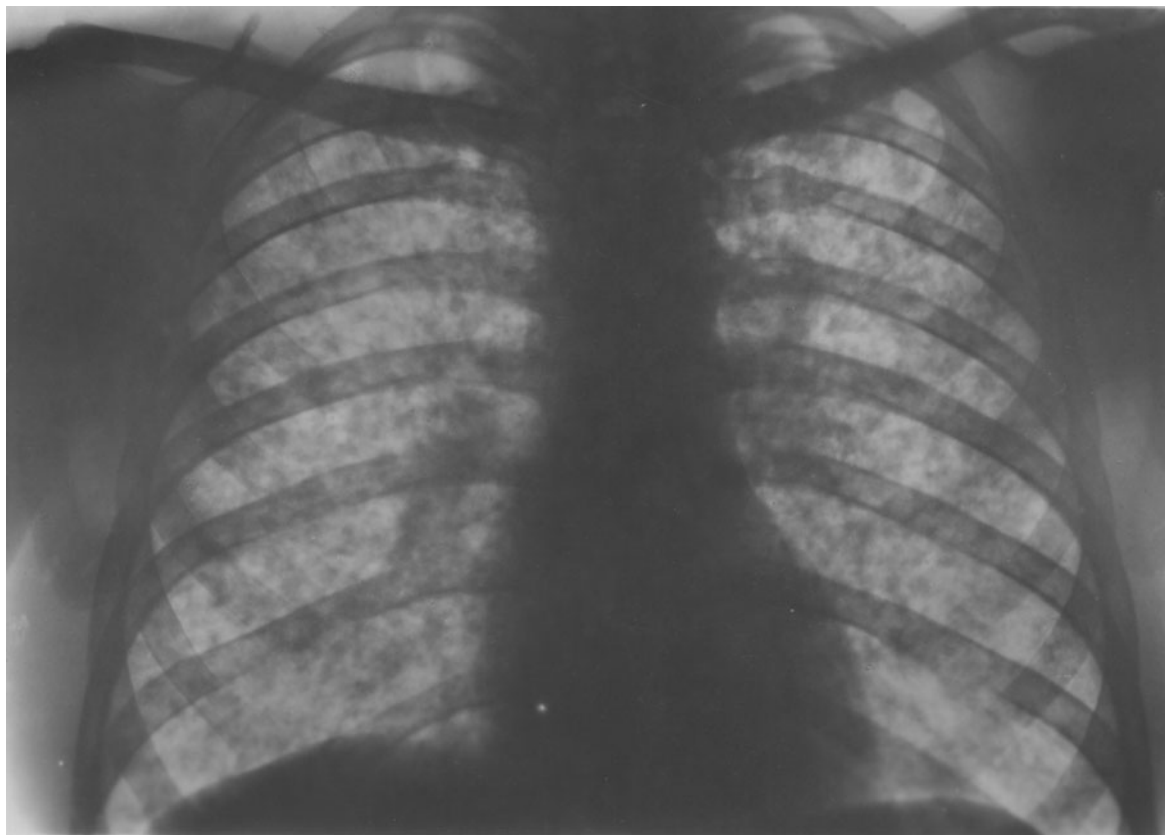
Normales Thoraxbild.



Hämatogen-disseminierte azinös-produktive Phthise (Miliartuberkulose). (Fall 1).



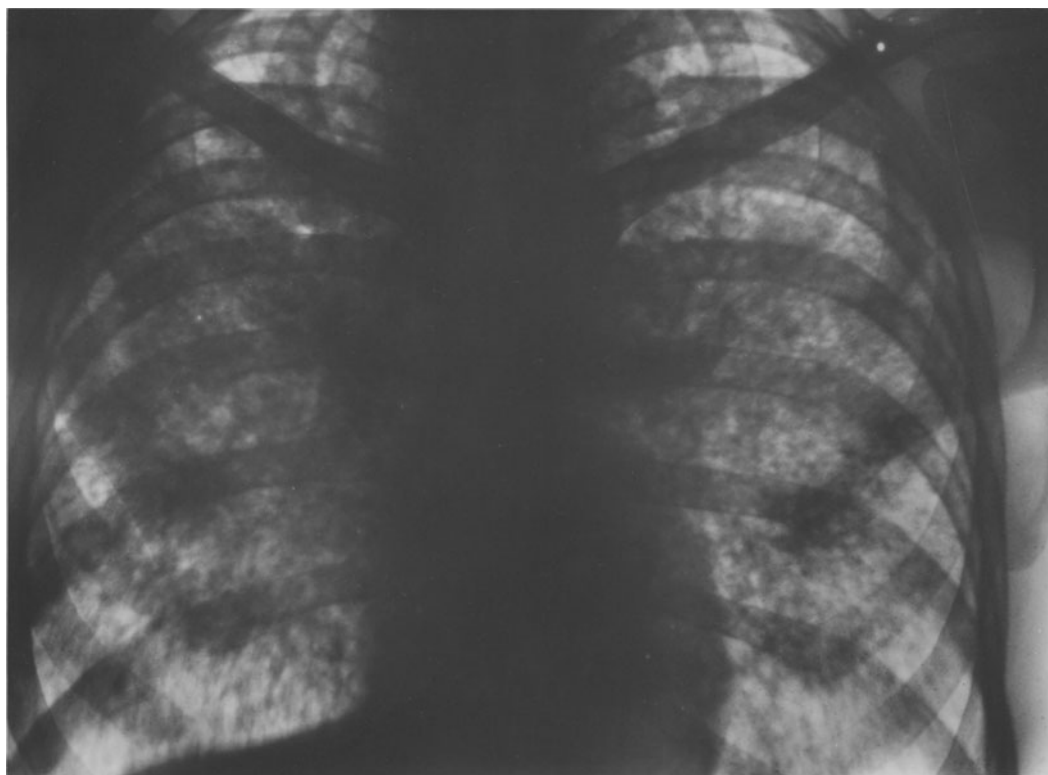
**Azino-nodöse und nodus-indurierende Phthise mit Höhlenbildungen. (Fall 2).**



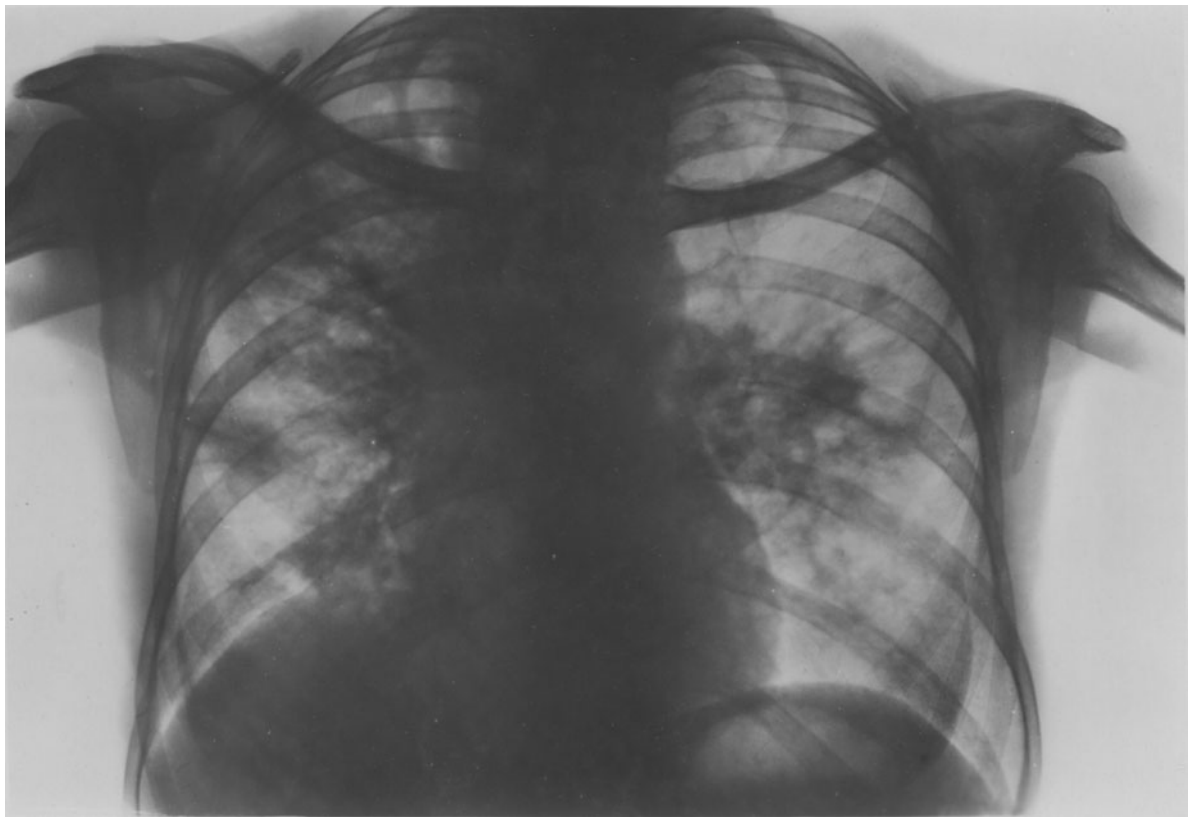
**Hämatogen-disseminierte produktiv-nodöse Phthise. (Fall 3).**



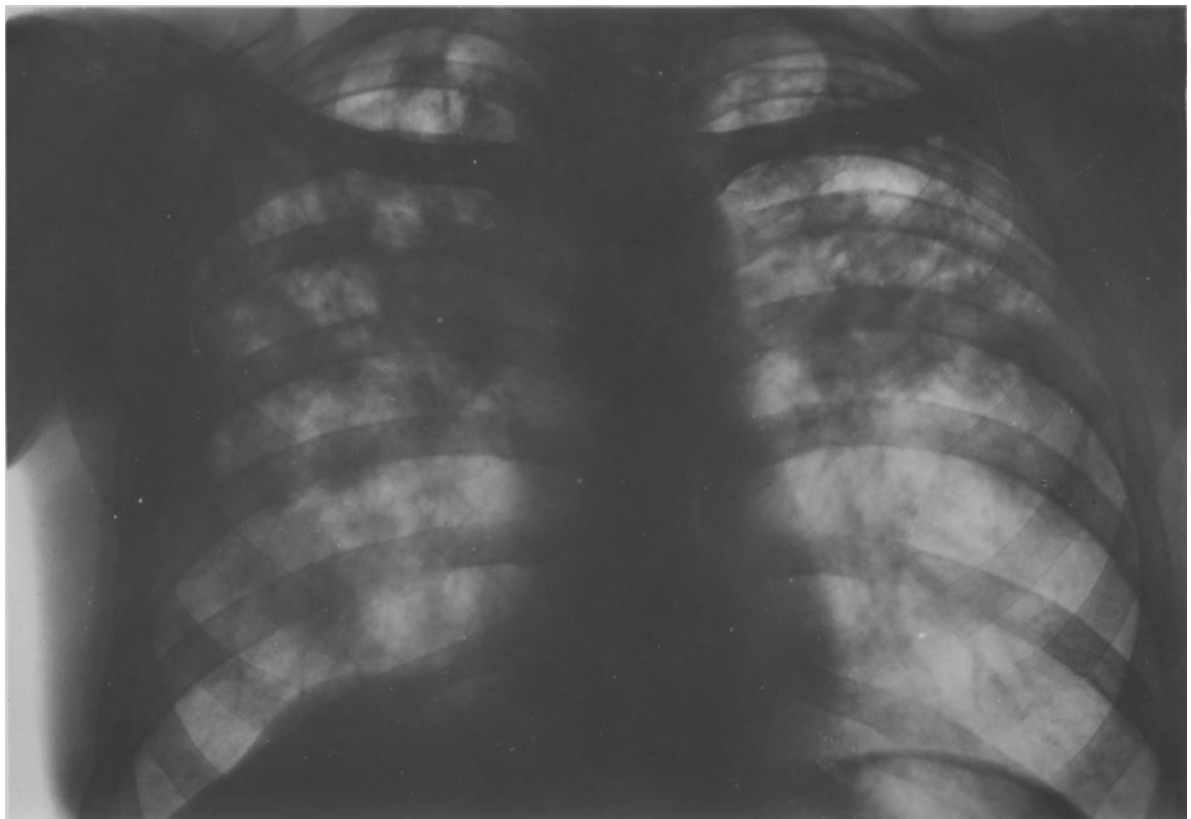
Lobulär-exsudative Phthise mit Kavernen beiderseits. (Fall 4).



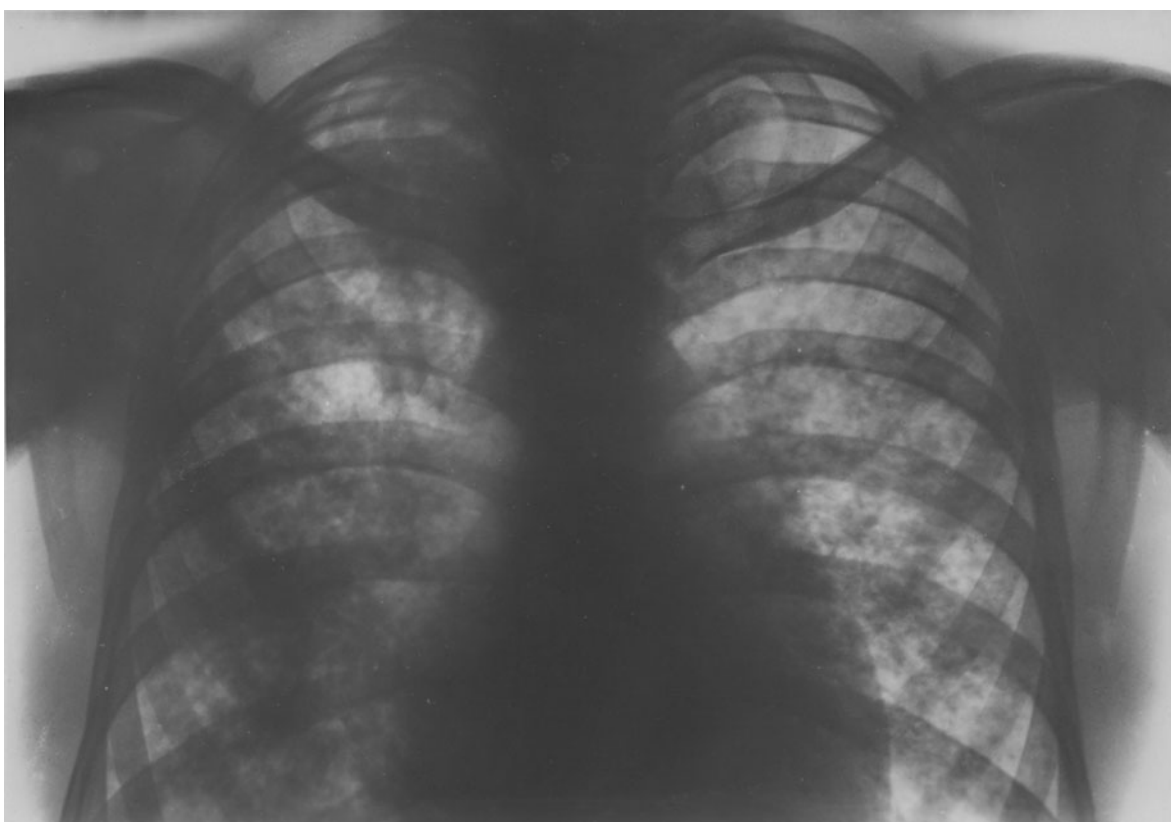
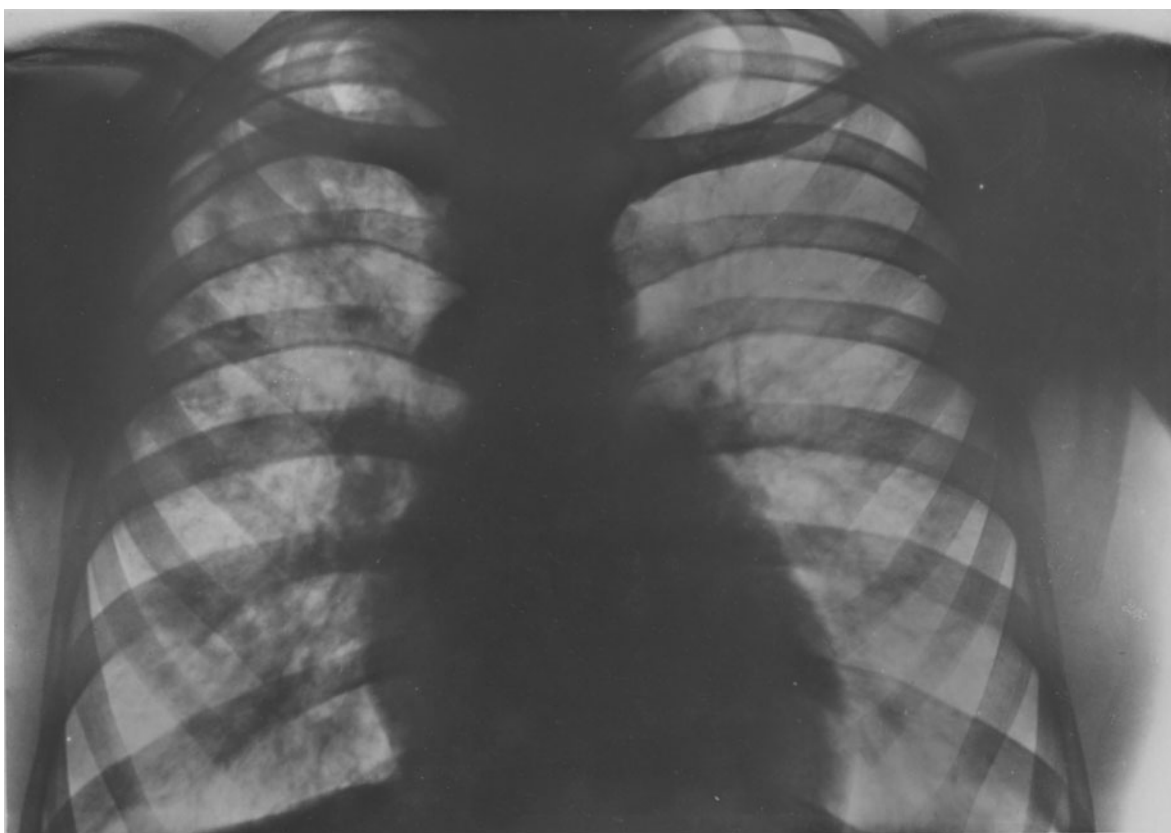
Hämatogen-disseminierte (vorwiegend) azinös-exsudative Phthise. (Fall 5).



Zirrotisch-kavernöse Phthise der rechten Lunge. Zirrotische Phthise der linken Lunge. (Fall 6)

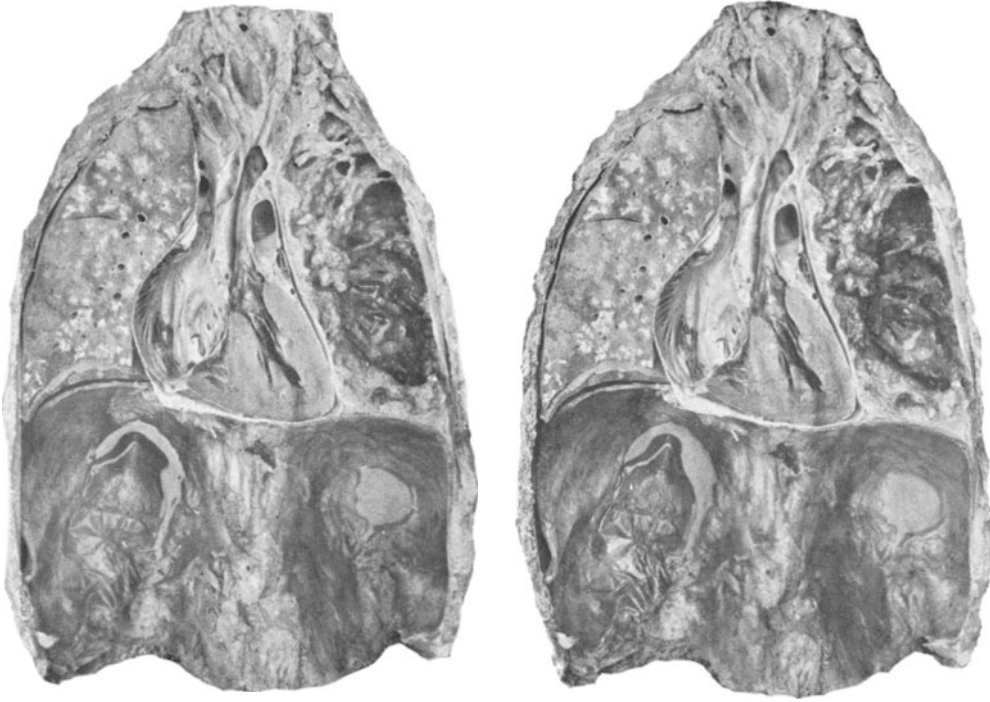


Indurierend-zirrotische Phthise beider Lungen, rechts mit Höhlenbildungen. (Fall 7).



**Rechtseitige lobulär-exsudative Phthise  
mit Höhlenbildung. Nodös-produktive Phthise der linken Lunge. (Fall 8).**

Zum Betrachten im Stereoskop.



Fall 42: Lobär- bzw. lobulär-exsudative Phthise der ganzen linken Lunge; völliger kavernöser Zerfall der linken Lunge. Schrumpfung der linken Thoraxseite infolge Pleuraobliteration. Nodös-indurierende Herde in den oberen, azinös-nodöse Herde in den mittleren Teilen der rechten Lunge.

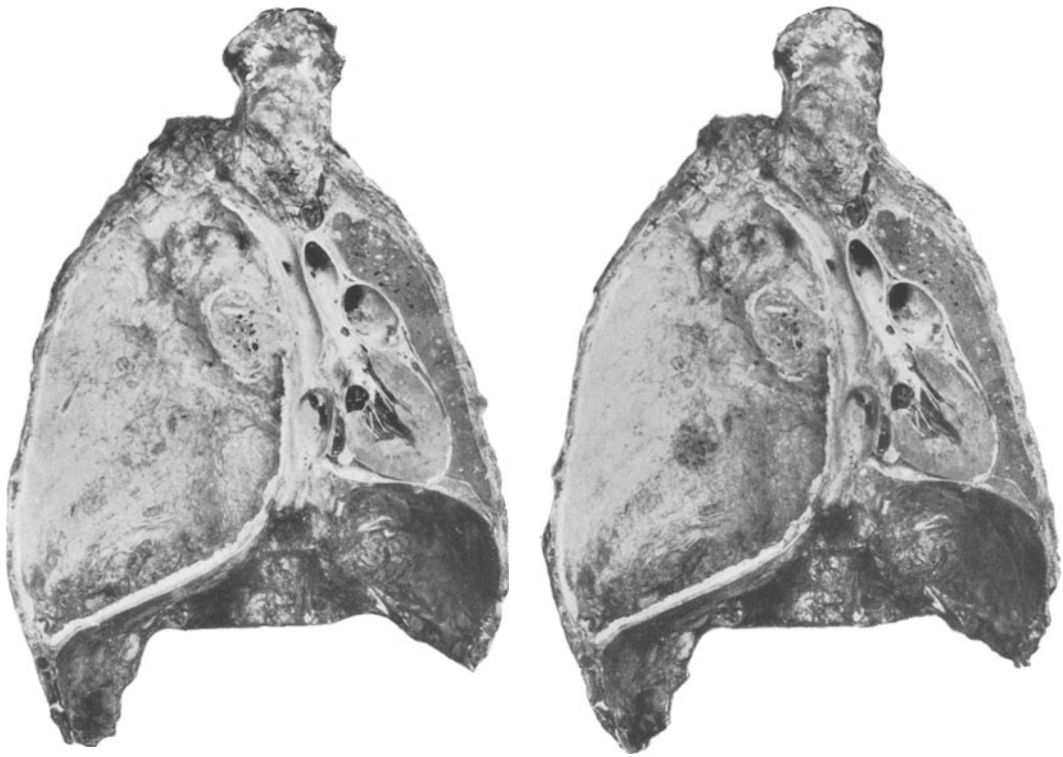
Zum Betrachten im Stereoskop.



Fall 44: Linksseitiger Pleura- und Herzbeutelerguß. Hämatogen-disseminierte tuberkuläre Phthise beider Lungen (Miliartuberkulose).

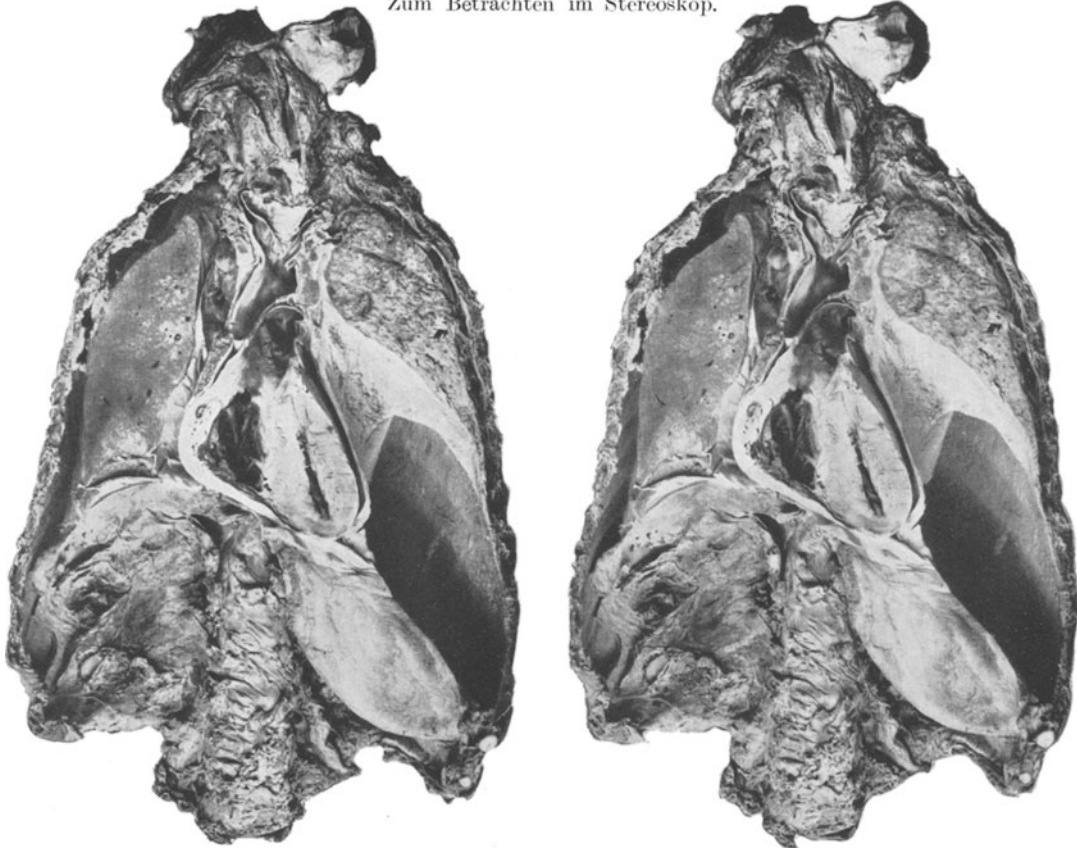


Zum Betrachten im Stereoskop.



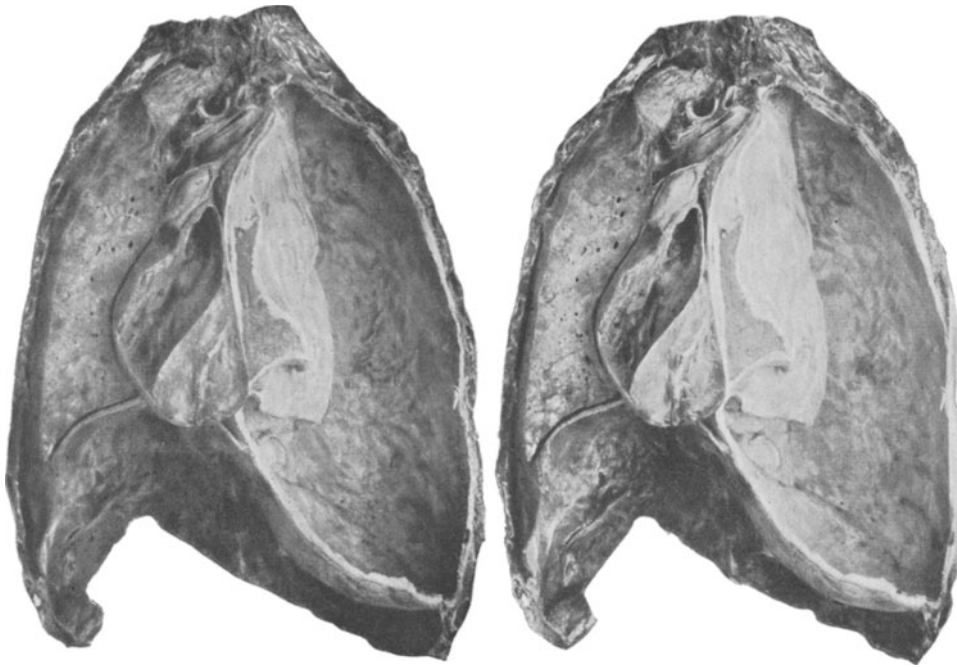
Fall 48: Rechtsseitiger Pyopneumothorax, hochgradige Erweiterung der rechten Brusthöhle. Starke Linksverlagerung von Herz und Mediastinum. Zwerchfeltiefstand rechts.

Zum Betrachten im Stereoskop.



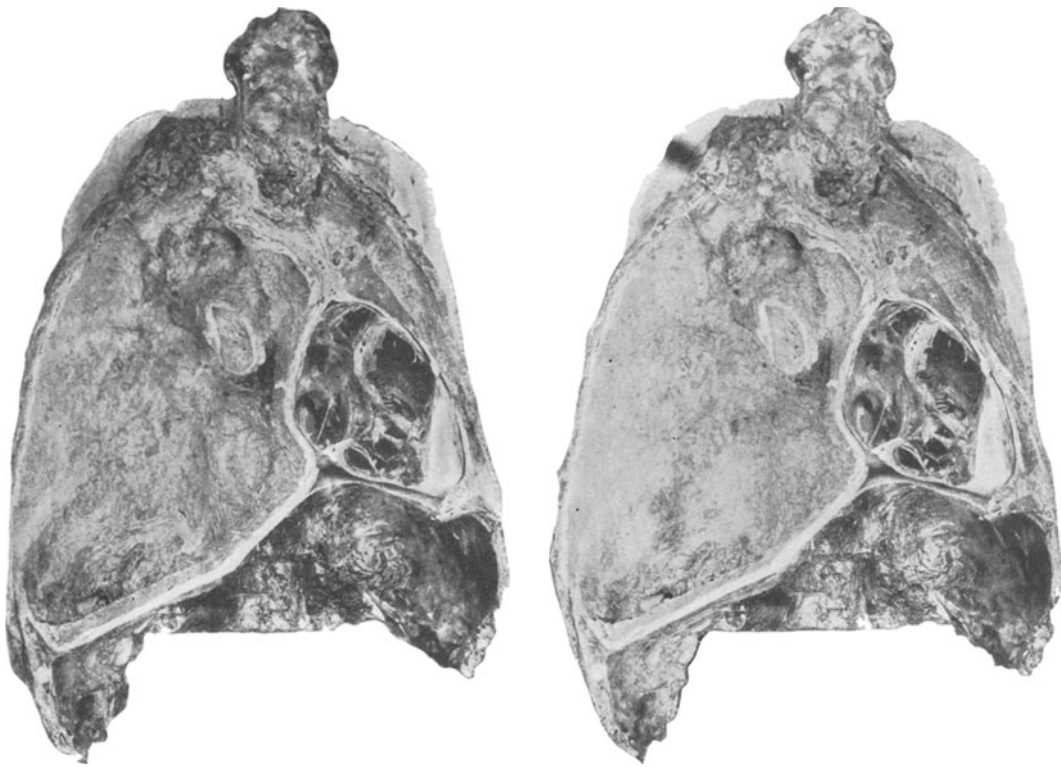
Fall 49: Partieller linksseitiger Pneumothorax mit Erguß. Erweiterung der linken Brusthöhle mit Zwerchfeltiefstand. Rechtsverlagerung des Herzens.

Zum Betrachten im Stereoskop.



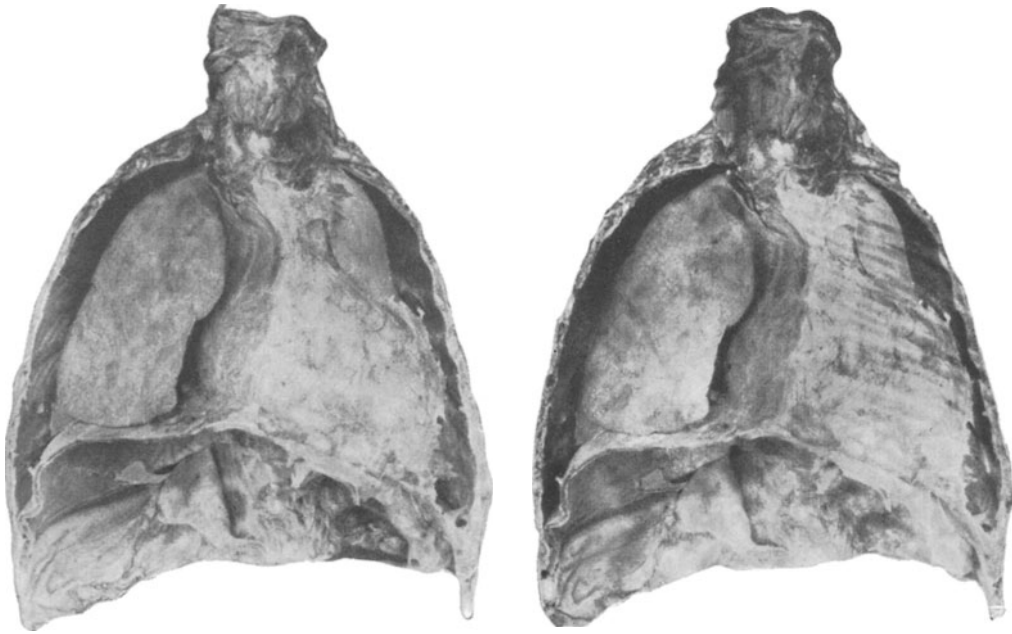
Fall 45: Großer linksseitiger Pleuraerguß. Rechtsverdrängung des Mediastinums mit Verlagerung und Drehung des Herzens. Starker Zwerchfeltiefstand links. Vereinzelt nodöse und nodös-indurierende Herde in der rechten Lunge.

Zum Betrachten im Stereoskop.



Fall 48: Rechtsseitiger Pyopneumothorax, hochgradige Erweiterung der rechten Brusthöhle. Starke Linksverlagerung von Herz und Mediastinum. Zwerchfeltiefstand rechts.

Zum Betrachten im Stereoskop.

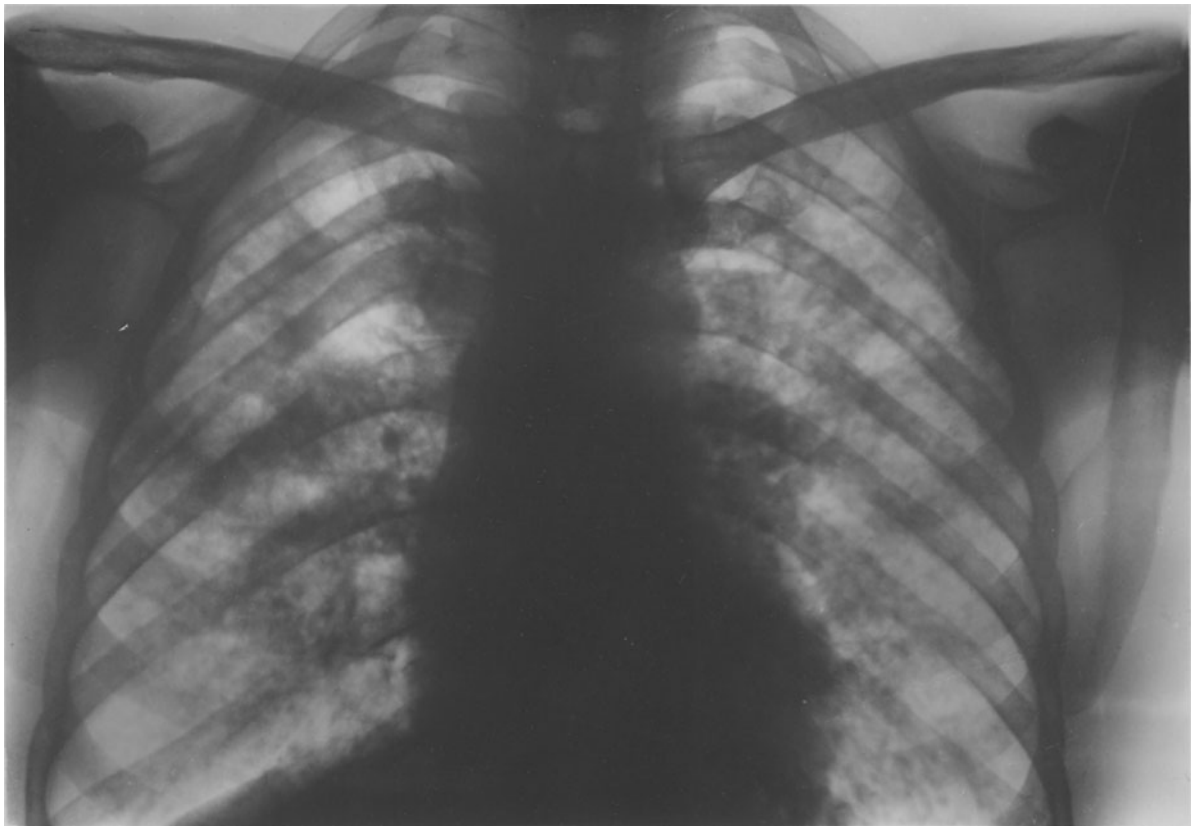


Fall 44: Linksseitiger Pleura- und Herzbeutelerguß. Hämato-gen-disseminierte tuberkuläre Phthise beider Lungen (Miliartuberkulose).

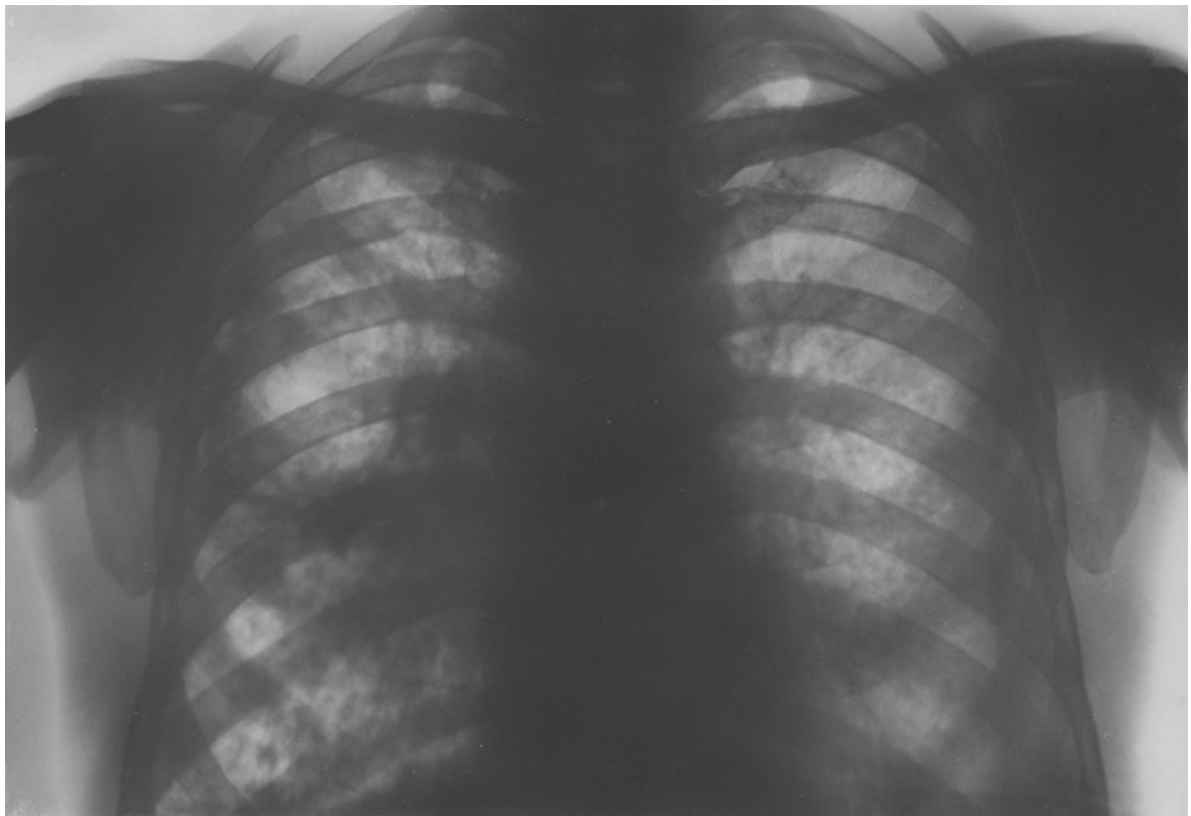
Zum Betrachten im Stereoskop.



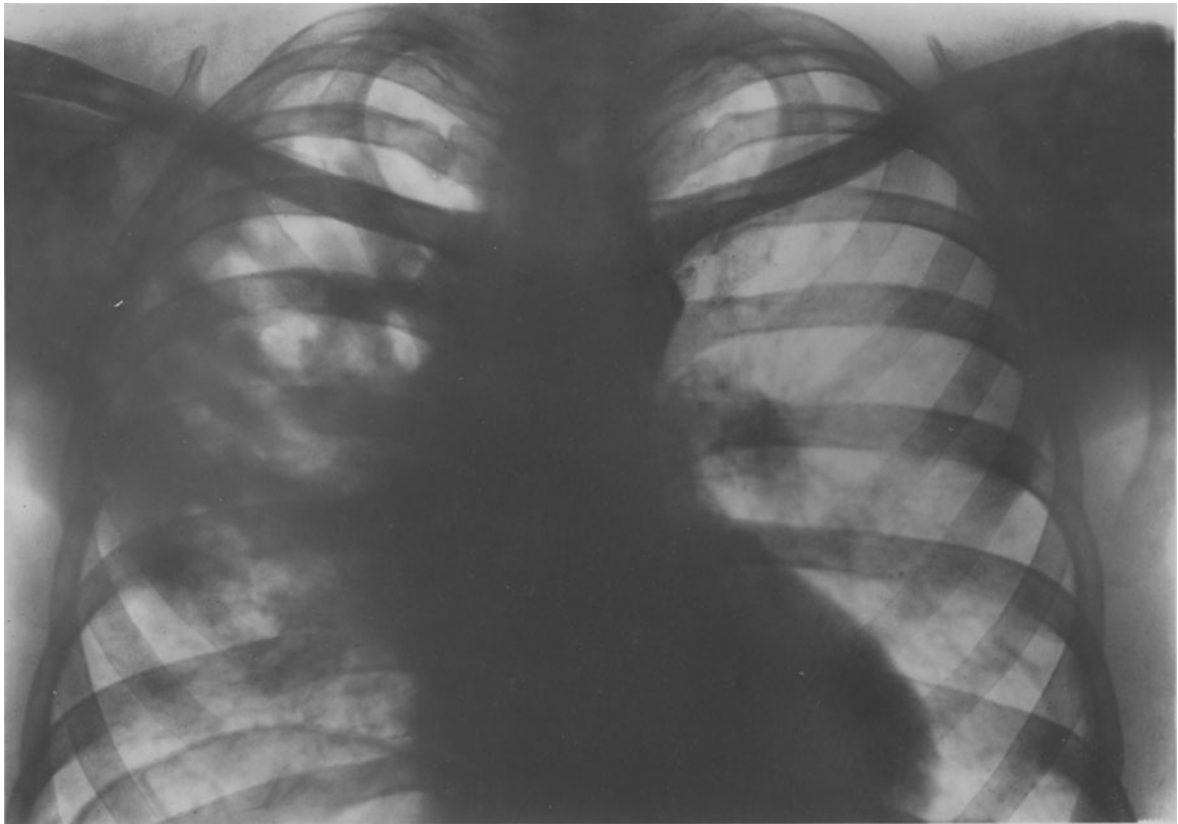
Fall 33: Lobär-käsige Phthise der ganzen linken Lunge mit ausgedehnten Zerfallshöhlen. Exsudativ-käsige und nodöse Herde rechts. Verlagerung des Herzens nach rechts.



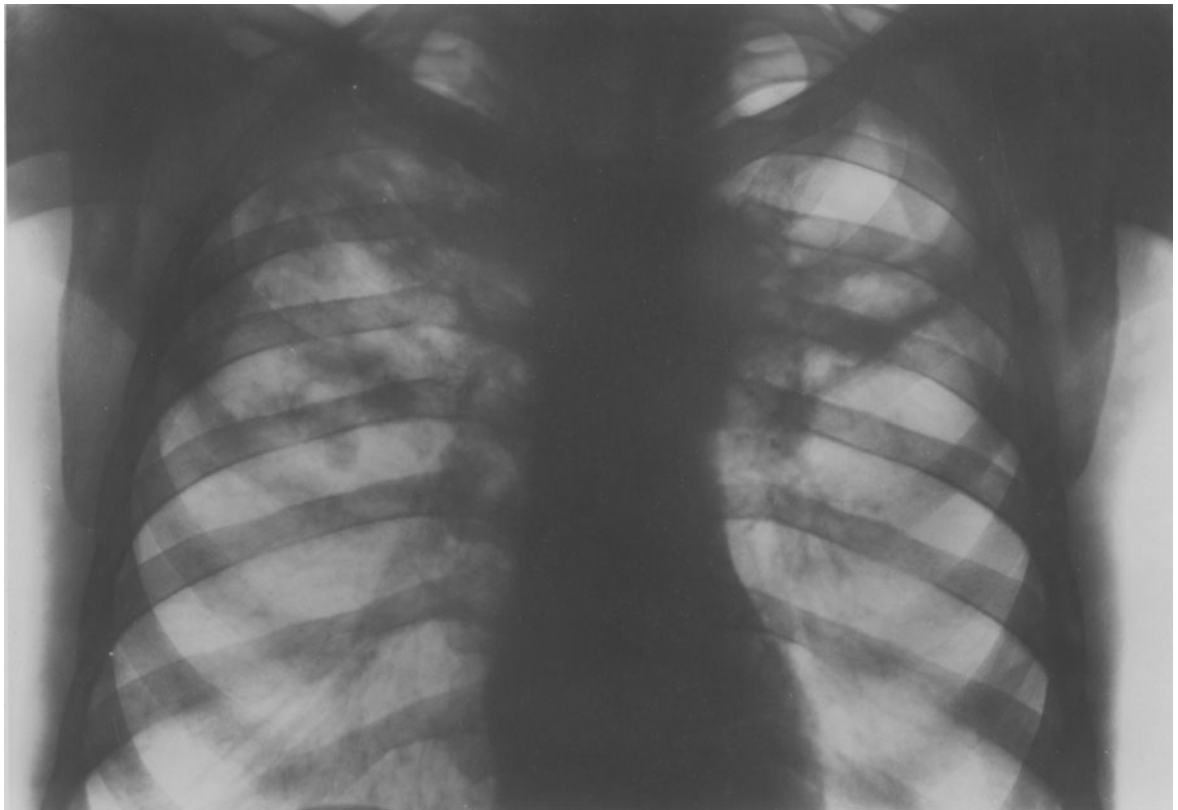
**Nodöse und indurierende Phthise beider Lungen mit Kavernen.  
Indurierend-zirrhatische Herde rechts. (Fall 9).**



**Lobulär-exsudative und nodös-indurierende Phthise rechts mit Kaverne. Vorwiegend nodöse Phthise links:  
Pleuraerguß. (Fall 10).**



Lobulär bzw. lobär-exsudative Phthise mit Höhlenbildung rechts. (Fall 11).



Vorwiegend lobulär-exsudative Phthise mit Höhlenbildung rechts. Abgekapselte Höhlenbildung, indurierte und verkäste Herde links. (Fall 12).